



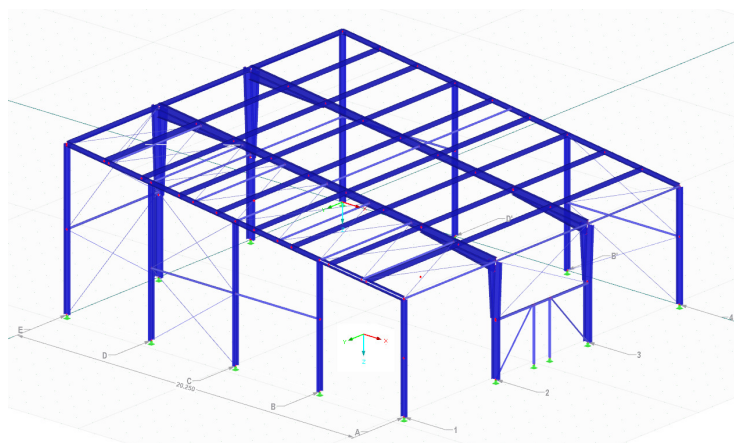
UNIHAL s. r. o
Třída T. Bati 1766
765 02 Otrokovice

DSP

STATICKÝ VÝPOČET OCELOVÉ KONSTRUKCE

AMZ Financial Group _ Brandýs nad Labem (17-05-51)

hala: 20,845 x 19,6 x 8,7



VYPRACOVAL: ING. JAKUB TRÁVNÍČEK

ZKONTROLOVAL: ING. PETR DVOŘÁK

V BRNĚ 25. 05. 2018

AMZ Financial Group s.r.o. _ Brandýs nad Labem (17-05-51)
DSP

HALA: 20,8 x 19,6 x 8,2

| | | | |
|----------------------|----------------------|------------|------------------|
| VYPRACOVAL: | ČÁST: | DATUM: | ZKONTROLOVAL: |
| ING. JAKUB TRÁVNÍČEK | STATICKÝ VÝPOČET: OK | 25.05.2018 | ING. PETR DVOŘÁK |

Obsah:

- Kapitola: 1. Vstupní informace a popis konstrukce
 2. Zatížení
 3. Protokol R-fem _MSÚ

1. Vstupní informace a popis konstrukce

1.a. Vstupní Informace

Stavba: hala 20,8x19,6x8,2
 Brandýs nad Labem prac. č. 525/23
 Dokumentace pro DSP

Investor: AMZ Ginancial Group s.r.o.
 Tyršova 640/31
 Brandýs nad Labem-Stará Boleslav - Brandýs nad Labem
 25001

Vypracoval: Ing. Jakub Trávníček
 UNIHAL s.r.o.
 Třída T. Bati 1766
 765 20 Otrokovice

Zkontroloval: Ing. Petr Dvořák
 Okrouhlá 20
 625 00 Brno
 ČKAIT 1001953

1.b. Popis konstrukce

Jedná se o návrh ocelové konstrukce (kce) zateplené haly s pultovou střechou o půdorysných rozměrech 20,8 x 19,6 m a sklonem střechy 8°. Hale je přistavěna ze dvou stran ke stávajícím objektům v ose D a v ose 1.

Příčnou tuhost v řadě rámu A/D zajišťují kloubové rámy o modulu 6,4 m na rozpětí 20,8m.

Podélnou tuhost zajišťuje ztužení v poli (A-B;) z kulatiny do kříže. Příčné rámy jsou v místě střešního ztužidla a ve vrcholech propojeny trubkou 101/3,2.

Střešní opláštění je ze sendvičových PUR panelů tl. 120/145. Stěnové opláštění je ze sendvičových Pur panelů tl. 100.

Montážní přípoje na příčli jsou šrouby jakosti 8.8 a 10.9. Kyvné stojky jsou šroubované šrouby jakosti 8.8. Kloubové kotvení je navrženo lepenými kotvami.

Požární odolnost ocelové konstrukce nebyla navržena.

Závěr:

Statické posouzení OK:

Konstrukce byly posouzeny na příslušné zatížení vlastní hmotnost OK, stálého zatížení, proměnného zatížení sněhem a větrem a technologii. Užitého zatížení kategorie H_ Nepřístupné střecha s výjimkou údržby a opravy. Stálého a užitého lávky rampy a zábradlí (viz kap. 2)

Pro statický výpočet OK bylo použito normy ČSN EN 1993-1-1 – Navrhování ocelových konstrukcí. Ocelová konstrukce musí být vyrobena, smontována a udržována dle ČSN EN 1090-2+A1.

Z hlediska bezpečnosti práce a ochrany zdraví při práci platí příslušná ustanovení vyhlášky č.192/2005 Sb., č. 591/2006 Sb., č. 309/2006 Sb., NV č. 148/2006 SB. atd. o bezpečnosti práce a technických zařízení při stavebních pracích a dalších související normy, zákony a předpisy, týkající se obsluhy strojů a zařízení. Za dodržování zodpovídá dodavatel.

Při provádění bude postupováno dle platných norem ČSN pro jednotlivé stavební práce. Důraz musí být kladen především na dodržování technických, technologických a jakostních předpisů (svařování ocelových kce, extrémní teploty a nadměrná vlhkost, atd ...)

Během všech fází výstavby musí být zajištěna stabilita budovaných konstrukcí.

VÝPOČTOVÉ PŘEDPOKLADY:

| | |
|--------------------------------|---|
| Třída provedení: | dle ČSN EN 1090-2, TAB. 14 a 15 – EXC2 |
| Použitá ocel: | S 235; S 355 |
| Sněhová oblast: | SO I; $S_k = 0,70 \text{ kN/m}^2$ |
| Větrná oblast: | Rychlost větru 25 m/s ; terén kat. III ; výška max. $H < 8,1 \text{ m}$ |
| Užitné zatížení nepř. Střechy: | Užitná kategorie H -> $0,75 \text{ kN/m}^2$ |
| Rozpětí: | 20 800 mm |
| Modul příčných vazeb: | 6 400 mm |
| Sklon střechy: | 8° |
| Spojovací šrouby: | ČSN EN ISO 4014; 4016; 4017; 4018 |
| Matice: | ČSN EN 4032 |
| Podložky 2x: | ČSN EN 7089 |
| Požadavky na kontrolu: | spoj. Mater. Je galvanicky pokoven Pro kontrolu a údržbu Ok platí: ČSN EN 1090-2+A1 a ČSN EN 73 2604 |

POUŽITÉ NORMY A LITERATURA:

| | |
|-------------------|--|
| ČSN EN 1090-2 : | Provádění ocelových konstrukcí a hliníkových konstrukcí – Část 2 : Technické požadavky na ocelové konstrukce |
| ČSN EN 1990 : | Zásady navrhování konstrukcí |
| ČSN EN 1991-1-1 : | Zatížení konstrukcí – Část 1-1 : Obecná zatížení - objemové tíhy, vlastní tíha, užitná zatížení |
| ČSN EN 1991-1-2 : | Zatížení konstrukcí – Část 1-2 : Obecná zatížení – zatížení konstrukcí vystavených účinkům požáru |
| ČSN EN 1991-1-3 : | Zatížení konstrukcí – Část 1-3 : Obecná zatížení - zatížení sněhem |
| ČSN EN 1991-1-4 : | Zatížení konstrukcí – Část 1-4 : Obecná zatížení - zatížení větrem |
| ČSN EN 1993-1-1 : | Navrhování ocelových konstrukcí – Část 1-1 : Obecná pravidla pro pozemní stavby |
| ČSN EN 1993-1-2 : | Navrhování ocelových konstrukcí – Část 1-2 : Obecná pravidla – Navrhování konstrukcí na účinky požáru |
| ČSN EN 1993-1-8 : | Navrhování ocelových konstrukcí – Část 1-8 : Navrhování styčníků |
| Studnička : | Ocelové konstrukce |
| Vraný : | Ocelové konstrukce – projekt haly |
| Melcher, Straka : | Konstrukce průmyslových budov |
| Wald, Sokol : | Navrhování styčníků |
| Wald a kol. : | Výpočet požární odolnosti stavebních konstrukcí |
| ČVUT : | Prokazování požární odolnosti statickým výpočtem |

Použitý software:

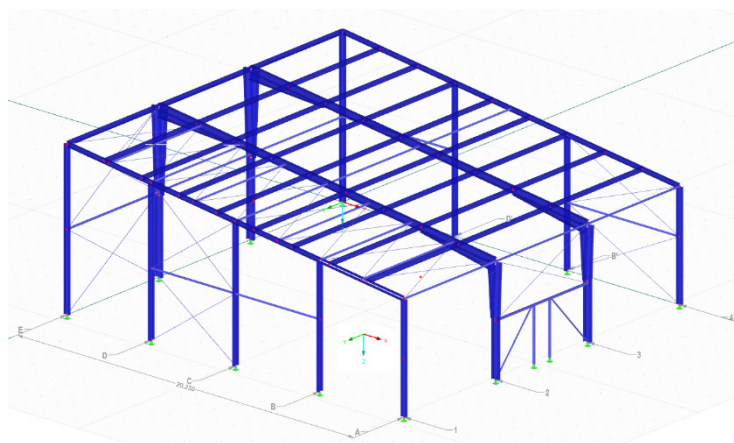
| | | |
|------------------|---|-----------------------------|
| Výpočtový systém | : | R-fem od společnosti Dlubal |
|------------------|---|-----------------------------|



STATICKÝ VÝPOČET OCELOVÉ KONSTRUKCE: 2. ZATÍŽENÍ

AMZ Financial Group _ Brandýs nad Labem (17-05-51)

hala: 20,845 x 19,6 x 8,7



2. ZATÍŽENÍ KCE

STÁLÉ ZATÍŽENÍ:

ZS. 1 Vlastní tíha kce

ZS.2 Ostatní stálé

| | | | | |
|------------------|----------------|----------|------|-------------------|
| | | kg/m | | Délka |
| zatížení příčle: | vaznicemi : | 232 Z 20 | 5.87 | 6.4 |
| | | 230 E 25 | 8.47 | 6.4 |
| | | | | kg/m ² |
| | střešní panel: | PIR 120 | | 20 |
| | | kg/m | | |
| zatížení sloupů: | paždíky | 0 | 0 | 0 |
| | | | | kg/m ² |
| | stěn. Panel | PIR 100 | | 20 |

TAB ZS.2

| | | | | | | | | |
|---------|----------|-------------------|-------|--------|--------|-----------------------|-----------------------|------------|
| příčel | | kg/m | délka | kg | G(mxs) | F(N) | F(KN) | "/2" kraj |
| VAZNICE | 232 Z 20 | 5.87 | 6.4 | 37.568 | 10 | 375.68 | 0.3757 | 0.19 |
| | 230 E 25 | 8.47 | 6.4 | 54.208 | 10 | 542.08 | 0.5421 | 0.27 |
| | | kg/m ² | | | | | | |
| | | | | | | F(KN/m ²) | | |
| panel | PIR 120 | 20 | | | 10 | 200 | 0.2 | |
| | | kg/m | délka | kg | G(mxs) | F(N) | F(KN) | |
| sloup | PAŽDÍK | 0 | 0 | 0 | 10 | 0 | 0 | 0.00 |
| | | kg/m ² | | | | | F(KN/m ²) | F(KN) |
| panel | PIR 100 | 20 | | | 10 | 200 | 0.2 | |
| | | | | | | zat. Šír. | | F(KN/m) |
| | | | | | | 6.4 | | 1.28 0.64 |
| | | | | | | výška | | F(KN) |
| | | | | | | 4.9 | | 6.272 3.14 |

PROMĚNNÉ ZATÍŽENÍ:

Zatížení sněhem _pult

Sněhová oblast : I

$$S_k = 0.7 \text{ kN/m}^2$$

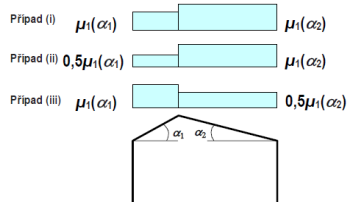
zatížení sněhem :

$$S = \mu \times C_e \times C_t \times S_k$$

$$C_e = 1 \text{ ...souč. expozice (normální krajina)}$$

$$C_t = 1 \text{ ... souč. tepelný}$$

$$\mu_1 = 0.8$$



$$\alpha = 10$$

$$0 < \alpha < 30$$

| | |
|------------------------------|-------------------------------------|
| úhel sklonu střechy α | $0^\circ \leq \alpha \leq 30^\circ$ |
| μ_1 | 0,8 |
| μ_2 | $0,8 + 0,8\alpha/30$ |

ZS. 3 zat. Sněhem Případ I:

$$S = \mu \times C_e \times C_t \times S_k$$

$$S = \mu \times C_e \times C_t \times S_k$$

$$\alpha_1 \quad S = 0.56 \text{ kN/m}^2$$

$$S = 0.56 \text{ kN/m}^2 \quad \alpha_2$$

ZS. 4 zat. Sněhem Případ II: Návěj

$$S = \mu \times C_e \times C_t \times S_k$$

γ Je objemová tíha sněhu

$$\gamma = 2 \text{ kN/m}^3$$

s omezením μ_2 :

$$0.8 \leq \mu_2 \leq 2.0$$

h Je výška překážky

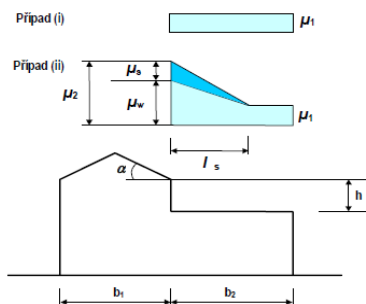
$$h = 5 \text{ m}$$

l_s Délka návěje

$$l_s = 2 \times h = 10 \text{ m}$$

s omezením delky l_s :

$$5 \text{ m} \leq l_s \leq 15 \text{ m}$$



$$\mu_2 = \frac{b_2 + b_1}{2H} \leq \frac{\gamma \times h}{S_k} = 4 \leq 14.286 \rightarrow \mu_2 = 2$$

$$b_2 = 20$$

$$b_1 = 20$$

$$S = \mu_2 \times C_e \times C_t \times S_k = 1.4 \text{ kN/m}^2 \quad l_s = 10 \text{ m}$$

Zatížení větrem

rozměry haly:

b= 20 m
d= 19 m
h=Z= 8.7 m

větrová oblast : II $v_{b,0} = 25$ m/s

kategorie terénu: III

$Z_{0,III} [m] = 0.3$ m

$Z_{min} [m] = 5$ m

Základní rychlost větru: $V_b = C_{dir} \times C_{season} \times v_{b,0}$

$C_{dir} = 1$ $V_b = 1 \times 1 \times 25 = 25$ m/s
 $C_{season} = 1$

součinitel terénu: k_r

$h=Z= 8.7$ m

$z_{min} < z < z_{max}$

$Z_{0,II} [m] = 0.05$

$$k_r = 0,19 \times \left(\frac{Z_0}{Z_{0,II}} \right)^{0,07} = 0.2154$$

$Z_{min} [m] = 2$

součinitel drsnosti terén: $C_r(z)$

$Z_{min} [m] = 200$

$$C_r(z) = k_r \times \ln \left(\frac{Z}{Z_0} \right) = 0.73$$

součinitel ortografie $C_0(z)$

$$C_0(z) = 1 \quad \dots \text{Dop hodnota}$$

Střední rychlost větru $V_m(z)$:

$$V_m(z) = C_r(z) \times C_0(z) \times V_b$$

$$V_m(z) = 0.73 \times 1 \times 25$$

$$V_m(z) = 18.132 \text{ m/s}$$

Turbulence větru:

$$I_v(z) = \frac{k_1}{C_0(z) \times \ln \left(\frac{Z}{Z_0} \right)} = \frac{1}{1 \times 3.367} = 0.297$$

Maximální dynamický tlak

$\rho = 1.25$ kg/m³

$$q_p(z) = [1 + 7 \times I_v(z)] \times 0.5 \times \rho \times V_m^2(z) =$$

$$q_p(z) = [1 + 7 \times 0.297] \times 0.5 \times 1.25 \times 18.132^2$$

$$q_p(z) = 632.64 \text{ N}$$

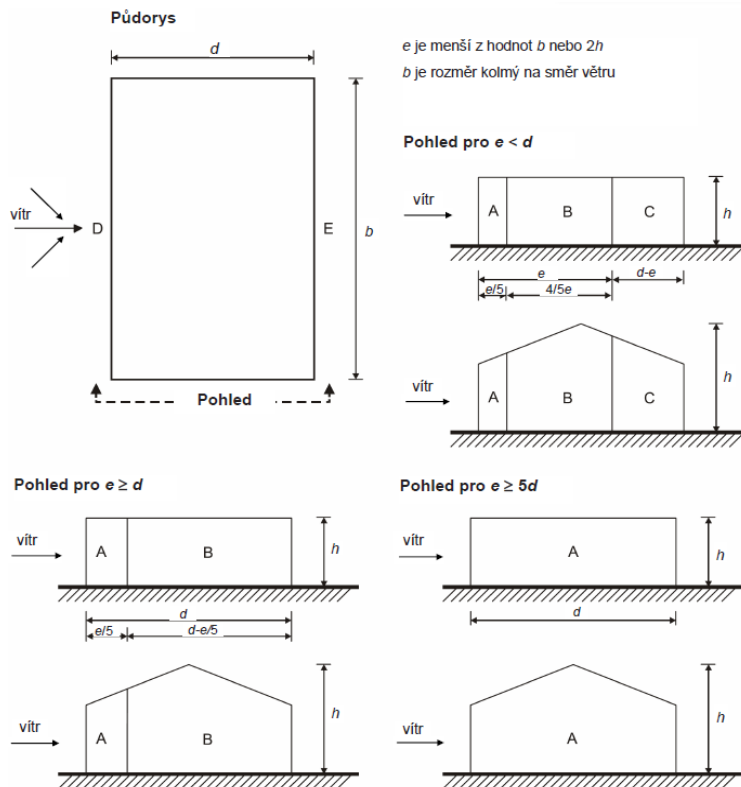
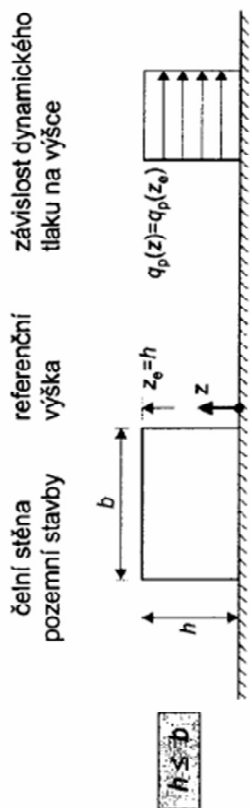
$$q_p(z) = 0.6326 \text{ kN}$$

ZS. 6-9 Vitr příčný 0=180°

Tlak větru na povrchy od příčného větru:

$$w_e = q_p(Z_e) \times C_{pe,10}$$

C_{pe} Součinitel vnějšího tlaku dle kap. 7



$h=Z=$ 8.7 m
 $b=$ 19 m
 $h < b$ vyhovuje

$e=$ menší z b nebo $2h$
 $e=$ 17.4

$e/5=$ 3.48 m
 $d-e=$ 2.6 m
 $d-(e/5)=$ 16.52 m

Pohled pro $e > d$: neuvažuj tento pohled

Pohled pro $e < d$: uvažuj pohled

sedlové střechy $\alpha > 5^\circ$

| oblast | A | | B | | C | | D | | E | |
|-------------|-------------|------------|-------------|------------|-------------|------------|-------------|------------|-------------|------------|
| h/d | $C_{pe,10}$ | $C_{pe,1}$ | $C_{pe,10}$ | $C_{pe,1}$ | $C_{pe,10}$ | $C_{pe,1}$ | $C_{pe,10}$ | $C_{pe,1}$ | $C_{pe,10}$ | $C_{pe,1}$ |
| 5 | -1.2 | -1.4 | -0.8 | -1.1 | -0.5 | | 0.8 | 1 | -0.7 | |
| 1 | -1.2 | -1.4 | -1.4 | -1.1 | -0.5 | | 0.8 | 1 | -0.5 | |
| ≤ 0.25 | -1.2 | -1.4 | -0.8 | -1.1 | -0.5 | | 0.7 | 1 | -0.3 | |

Vnější tlak na stěny: $w_e = q_p(z_e) \times C_{pe,10}$

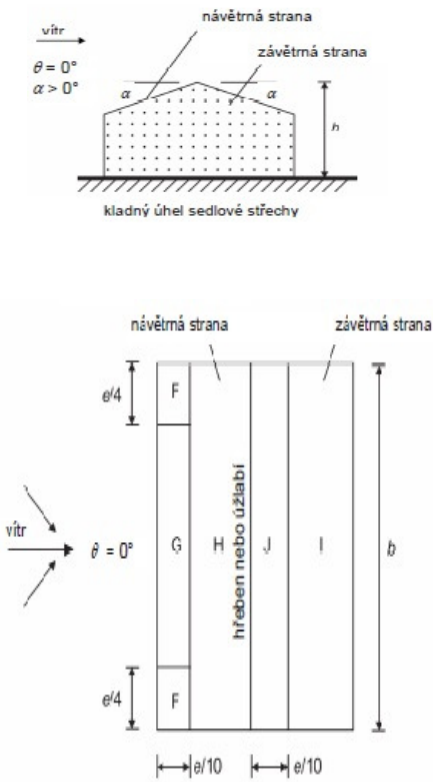
| | $q_{pe}(z_e)$ [kN/m ²] | $C_{pe,10}$ | w_e [kN/m ²] | |
|-----------|---------------------------------------|-------------|-------------------------------|----------------|
| $w_{e,A}$ | 0.6326 | -1.2 | -0.7592 | $w_{e,A}$ SÁNÍ |
| $w_{e,B}$ | 0.6326 | -1.4 | -0.8857 | $w_{e,B}$ SÁNÍ |
| $w_{e,C}$ | 0.6326 | -0.5 | -0.3163 | |
| $w_{e,D}$ | 0.6326 | 0.8 | 0.5061 | $w_{e,D}$ TLAK |
| $w_{e,E}$ | 0.6326 | -0.5 | -0.3163 | $w_{e,E}$ SÁNÍ |

| směr větru $\Theta=0=_{pult}$ | | | | | | | | | | |
|-------------------------------|-------------|------------|-------------|------------|-------------|------------|-------------|------------|-------------|------------|
| uhel | F | | G | | H | | J | | I | |
| | $C_{pe.10}$ | $C_{pe.1}$ | $C_{pe.10}$ | $C_{pe.1}$ | $C_{pe.10}$ | $C_{pe.1}$ | $C_{pe.10}$ | $C_{pe.1}$ | $C_{pe.10}$ | $C_{pe.1}$ |
| 8 | 0.044 | | 0.044 | | 0.044 | | 0 | | 0 | |
| | -1.524 | | -1.112 | | -0.534 | | | | | |

| ZS4 | $q_{pe}(z_e)$ [kN/m ²] | $C_{pe,10}$ | w_e [kN/m ²] | |
|-----------|---------------------------------------|-------------|-------------------------------|----------------|
| $w_{e,F}$ | 0.6326 | 0.044 | 0.0278 | $w_{e,F}$ TLAK |
| $w_{e,G}$ | 0.6326 | 0.044 | 0.0278 | $w_{e,G}$ TLAK |
| $w_{e,H}$ | 0.6326 | 0.044 | 0.0278 | $w_{e,H}$ TLAK |
| $w_{e,J}$ | 0.6326 | 0 | 0 | $w_{e,J}$ TLAK |
| $w_{e,I}$ | 0.6326 | 0 | 0 | $w_{e,I}$ TLAK |

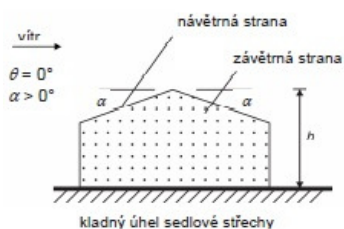
| ZS5 | $q_{pe}(z_e)$ [kN/m ²] | $C_{pe,10}$ | w_e [kN/m ²] | |
|-----------|---------------------------------------|-------------|-------------------------------|----------------|
| $w_{e,F}$ | 0.6326 | -1.524 | -0.9641 | $w_{e,F}$ SÁNÍ |
| $w_{e,G}$ | 0.6326 | -1.112 | -0.7035 | $w_{e,G}$ SÁNÍ |
| $w_{e,H}$ | 0.6326 | -0.534 | -0.3378 | $w_{e,H}$ SÁNÍ |
| $w_{e,J}$ | 0.6326 | 0 | 0 | $w_{e,J}$ TLAK |
| $w_{e,I}$ | 0.6326 | 0 | 0 | $w_{e,I}$ TLAK |

INTERPOLACE



| směr větru $\Theta=1800=_\text{pult}$ | | | | | | | | | | |
|---------------------------------------|-------------|------------|-------------|------------|-------------|------------|-------------|------------|-------------|------------|
| uhel | F | | G | | H | | J | | I | |
| | $C_{pe,10}$ | $C_{pe,1}$ | $C_{pe,10}$ | $C_{pe,1}$ | $C_{pe,10}$ | $C_{pe,1}$ | $C_{pe,10}$ | $C_{pe,1}$ | $C_{pe,10}$ | $C_{pe,1}$ |
| 8 | 0 | | 0 | | 0 | | 0 | | 0 | |
| | -2.344 | | -1.3 | | -0.822 | | | | | |

INTERPOLACE



| ZS6 | $q_{pe}(ze)$ [kN/m2] | $C_{pe,10}$ | w_e [kN/m2] | | | | |
|-----------|-------------------------|-------------|------------------|--|---|-----------|------|
| $w_{e,F}$ | 0.6326 | | 0 | | 0 | $w_{e,F}$ | TLAK |
| $w_{e,G}$ | 0.6326 | | 0 | | 0 | $w_{e,G}$ | TLAK |
| $w_{e,H}$ | 0.6326 | | 0 | | 0 | $w_{e,H}$ | TLAK |
| $w_{e,J}$ | 0.6326 | | 0 | | 0 | $w_{e,H}$ | TLAK |
| $w_{e,I}$ | 0.6326 | | 0 | | 0 | $w_{e,H}$ | TLAK |

| ZS7 | $q_{pe}(ze)$ [kN/m2] | $C_{pe,10}$ | w_e [kN/m2] | | | | |
|-----------|-------------------------|-------------|------------------|--|---------|-----------|------|
| $w_{e,F}$ | 0.6326 | | -2.344 | | -1.4829 | $w_{e,F}$ | SÁNÍ |
| $w_{e,G}$ | 0.6326 | | -1.3 | | -0.8224 | $w_{e,G}$ | SÁNÍ |
| $w_{e,H}$ | 0.6326 | | -0.822 | | -0.52 | $w_{e,H}$ | SÁNÍ |
| $w_{e,J}$ | 0.6326 | | 0 | | 0 | $w_{e,H}$ | TLAK |
| $w_{e,I}$ | 0.6326 | | 0 | | 0 | $w_{e,H}$ | TLAK |

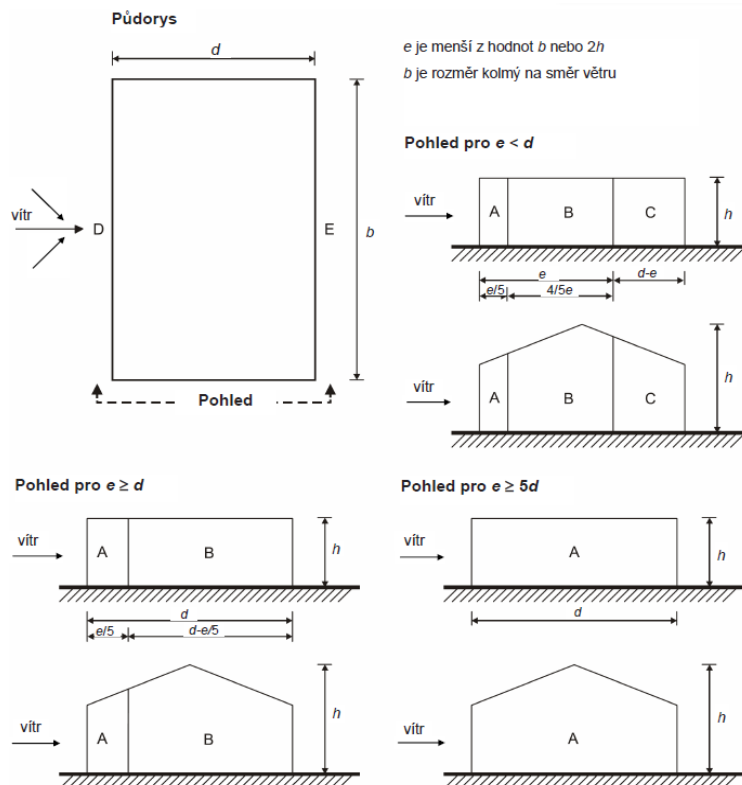
ZS.10-13 Vítr podélný 90°-270

$$w_e = q_p(Z_e) \times C_{pe,10}$$

Tlak větru na povrchy od příčného větru:

$$w_e = q_p(Z_e) \times C_{pe,10}$$

C_{pe} Součinitel vnějšího tlaku dle kap. 7



$h=Z=$ 8.7 m
 $b=$ 20 m
 $h < b$ vyhovuje

$e=$ menší z b nebo $2h$
 $e=$ 17.4

$e/5=$ 3.48 m
 $d-e=$ 2.6 m
 $d-(e/5)=$ 15.52 m

$d=$ 19
 $2h=$ 17.4
 $h/d=$ 0.435

Pohled pro $e > d$: neuvažuj tento pohled

Pohled pro $e < d$: uvážuj pohled

pultové střechy $\alpha > 5^\circ$

| oblast | A | | B | | C | | D | | E | |
|-------------|-------------|------------|-------------|------------|-------------|------------|-------------|------------|-------------|------------|
| h/d | $C_{pe,10}$ | $C_{pe,1}$ | $C_{pe,10}$ | $C_{pe,1}$ | $C_{pe,10}$ | $C_{pe,1}$ | $C_{pe,10}$ | $C_{pe,1}$ | $C_{pe,10}$ | $C_{pe,1}$ |
| 5 | -1.2 | -1.4 | -0.8 | -1.1 | -0.5 | | 0.8 | 1 | -0.7 | |
| 1 | -1.2 | -1.4 | -1.4 | -1.1 | -0.5 | | 0.8 | 1 | -0.5 | |
| ≤ 0.25 | -1.2 | -1.4 | -0.8 | -1.1 | -0.5 | | 0.7 | 1 | -0.3 | |

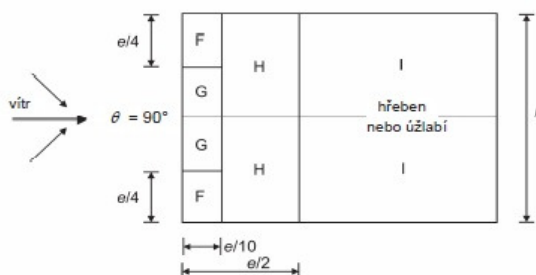
Vnější tlak na stěny: $w_e = q_p(z_e) \times C_{pe,10}$

| | $q_{pe}(z_e)$ [kN/m ²] | | $C_{pe,10}$ | | w_e [kN/m ²] | | |
|-----------|---------------------------------------|--|-------------|--|-------------------------------|-----------|------|
| $w_{e,A}$ | 0.6326 | | -1.2 | | -0.7592 | $w_{e,A}$ | SÁNÍ |
| $w_{e,B}$ | 0.6326 | | -1.4 | | -0.8857 | $w_{e,B}$ | SÁNÍ |
| $w_{e,C}$ | 0 | | -0.5 | | 0 | | |
| $w_{e,D}$ | 0.6326 | | 0.8 | | 0.5061 | $w_{e,D}$ | TLAK |
| $w_{e,E}$ | 0.6326 | | -0.5 | | -0.3163 | $w_{e,E}$ | SÁNÍ |

| směr větru $\Theta=90^\circ$ | | | | | | | | | | |
|------------------------------|-------------|------------|-------------|------------|-------------|------------|-------------|------------|-------------|------------|
| uhel | Fup | | Flow | | G | | H | | I | |
| | $C_{pe,10}$ | $C_{pe,1}$ | $C_{pe,10}$ | $C_{pe,1}$ | $C_{pe,10}$ | $C_{pe,1}$ | $C_{pe,10}$ | $C_{pe,1}$ | $C_{pe,10}$ | $C_{pe,1}$ |
| 8 | 0 | | 0 | | 0 | | 0 | | 0 | |
| | -2.166 | | -2.166 | | -1.822 | | -0.644 | | -0.544 | |

Vnější tlak na střeche směr větru $\Theta=90^\circ$

| | $q_{pe}(z_e)$ [kN/m ²] | | $C_{pe,10}$ | | w_e [kN/m ²] | | |
|--------------|---------------------------------------|--|-------------|--|-------------------------------|--------------|------|
| $w_{e,Fup}$ | 0.6326 | | -2.166 | | -1.3703 | $w_{e,Fup}$ | SÁNÍ |
| $w_{e,Flow}$ | 0.6326 | | -2.166 | | -1.3703 | $w_{e,Flow}$ | SÁNÍ |
| $w_{e,G}$ | 0.6326 | | -1.822 | | -1.1527 | $w_{e,G}$ | SÁNÍ |
| $w_{e,H}$ | 0.6326 | | -0.644 | | -0.4074 | $w_{e,H}$ | SÁNÍ |
| $w_{e,I}$ | 0.6326 | | -0.544 | | -0.3442 | $w_{e,I}$ | SÁNÍ |



c) Směr větru $\Theta = 90^\circ$

ZS. 10. Užité zatížení kategorie H: údržba střechy

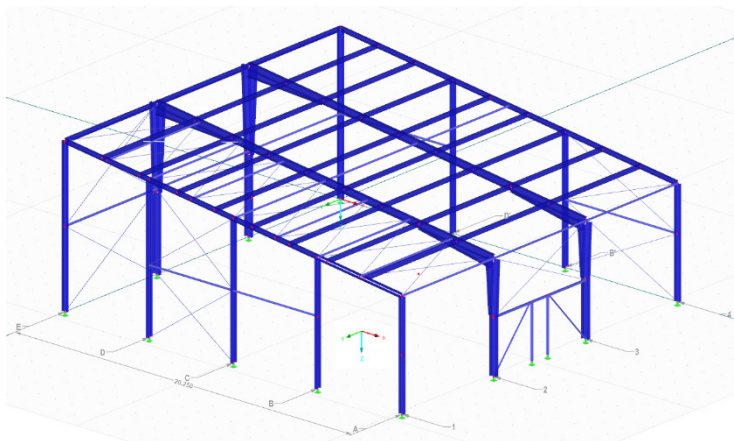
$q_k = 0.75$ kN/ na 10m²
nebo
 $q_k = 0.4$ kN/ m² Doporučená hodnota

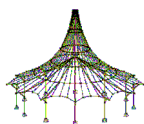


STATICKÝ VÝPOČET OCELOVÉ KONSTRUKCE: 3. R _ fem _MSÚ

AMZ Financial Group _ Brandýs nad Labem (17-05-51)

hala: 20,845 x 19,6 x 8,7





Projekt: Model: AMZ Group 17-05-51

Datum: 25.05.2018

Statický výpočet

PROJEKT

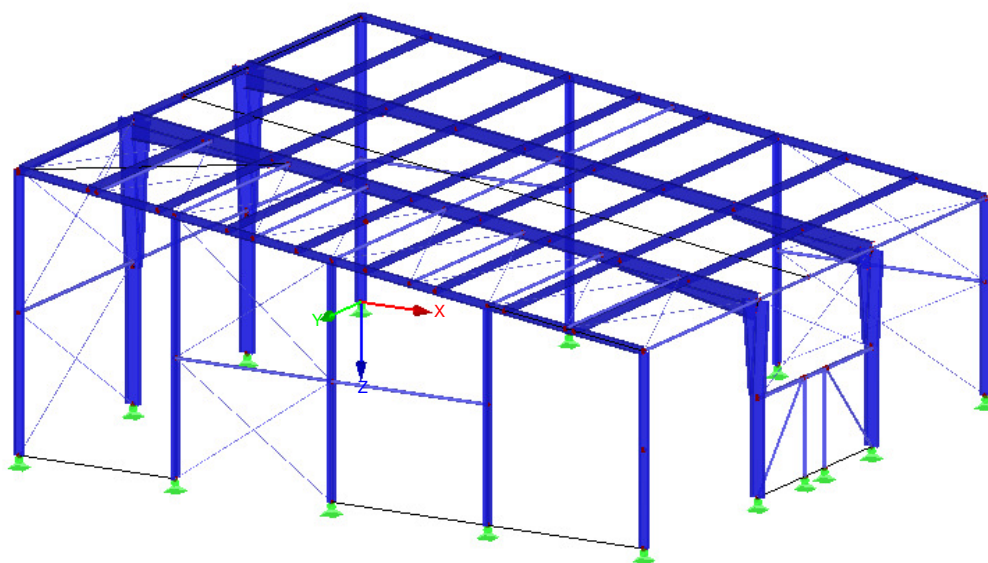
**AMZ Financial Group
Brandýs nad Labem 17-05-51**

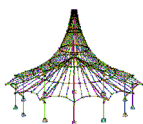
INVESTOR

ZHOTOVITEL

Unihal s.r.o.

Izometrie





Projekt:

Model: AMZ Group 17-05-51

Datum: 25.05.2018

■ MODEL - ZÁKLADNÍ ÚDAJE

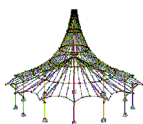
| | | | |
|--|--------|--|--|
| | Obecné | Název modelu | : AMZ Group 17-05-51 |
| | | Typ modelu | : 3D |
| | | Kladný směr globální osy Z | : Dolů |
| | | Klasifikace zatěžovacích stavů a kombinací | : Podle normy: EN 1990 Národní příloha: ČSN - Česká Republika |
| | | <input checked="" type="checkbox"/> Automaticky vytvořit kombinace | : <input checked="" type="checkbox"/> Kombinace zatížení |

■ 2.1 ZATĚŽOVACÍ STAVY

| Zatěž. stav | Označení zatěž. stavu | EN 1990 ČSN Kategorie účinků | Vlastní tíha - Součinitel ve směru | | | |
|-------------|-----------------------|---|-------------------------------------|-------|-------|-------|
| | | | Aktivní | X | Y | Z |
| ZS1 | Vlastní tíha | Stálé | <input checked="" type="checkbox"/> | 0.000 | 0.000 | 1.000 |
| ZS2 | ostatní stálé | Stálé | <input type="checkbox"/> | | | |
| ZS3 | Sníh I | Sníh ($H \leq 1000$ m n.m.) | <input type="checkbox"/> | | | |
| ZS4 | Sníh I+navěš | Sníh ($H \leq 1000$ m n.m.) | <input type="checkbox"/> | | | |
| ZS5 | Sníh III | Sníh ($H \leq 1000$ m n.m.) | <input type="checkbox"/> | | | |
| ZS6 | Vítr příčný 0 | Vítr | <input type="checkbox"/> | | | |
| ZS7 | Vítr příčný 0- | Vítr | <input type="checkbox"/> | | | |
| ZS8 | Vítr příčný 180 | Vítr | <input type="checkbox"/> | | | |
| ZS9 | Vítr příčný 180- | Vítr | <input type="checkbox"/> | | | |
| ZS10 | Vítr podélný 90 | Vítr | <input type="checkbox"/> | | | |
| ZS11 | Vítr podélný 90- | Vítr | <input type="checkbox"/> | | | |
| ZS12 | Vítr podélný 270 | Vítr | <input type="checkbox"/> | | | |
| ZS13 | Vítr podélný 270- | Vítr | <input type="checkbox"/> | | | |
| ZS14 | Údržba kategorie H | Užitná zatížení - kategorie H: střechy nepřístupné s výjimkou běžné údržby a oprav | <input type="checkbox"/> | | | |

■ 2.1.1 ZATĚŽOVACÍ STAVY - PARAMETRY VÝPOČTU

| Zatěž. stav | Označení zatěž. stavu | Parametry výpočtu | |
|-------------|-----------------------|---|---|
| | | Způsob výpočtu | |
| ZS1 | Vlastní tíha | Metoda pro řešení systému nelineárních algebraických rovnic | : <input checked="" type="radio"/> Teorie I. řádu (geometrický lineární výpočet) : <input checked="" type="radio"/> Newton-Raphson |
| ZS2 | ostatní stálé | Způsob výpočtu | : <input checked="" type="radio"/> Teorie I. řádu (geometrický lineární výpočet) |
| | | Metoda pro řešení systému nelineárních algebraických rovnic | : <input checked="" type="radio"/> Newton-Raphson |
| ZS3 | Sníh I | Způsob výpočtu | : <input checked="" type="radio"/> Teorie I. řádu (geometrický lineární výpočet) |
| | | Metoda pro řešení systému nelineárních algebraických rovnic | : <input checked="" type="radio"/> Newton-Raphson |
| ZS4 | Sníh I+navěš | Způsob výpočtu | : <input checked="" type="radio"/> Teorie I. řádu (geometrický lineární výpočet) |
| | | Metoda pro řešení systému nelineárních algebraických rovnic | : <input checked="" type="radio"/> Newton-Raphson |
| ZS5 | Sníh III | Způsob výpočtu | : <input checked="" type="radio"/> Teorie I. řádu (geometrický lineární výpočet) |
| | | Metoda pro řešení systému nelineárních algebraických rovnic | : <input checked="" type="radio"/> Newton-Raphson |
| ZS6 | Vítr příčný 0 | Způsob výpočtu | : <input checked="" type="radio"/> Teorie I. řádu (geometrický lineární výpočet) |
| | | Metoda pro řešení systému nelineárních algebraických rovnic | : <input checked="" type="radio"/> Newton-Raphson |
| ZS7 | Vítr příčný 0- | Způsob výpočtu | : <input checked="" type="radio"/> Teorie I. řádu (geometrický lineární výpočet) |
| | | Metoda pro řešení systému nelineárních algebraických rovnic | : <input checked="" type="radio"/> Newton-Raphson |
| ZS8 | Vítr příčný 180 | Způsob výpočtu | : <input checked="" type="radio"/> Teorie I. řádu (geometrický lineární výpočet) |
| | | Metoda pro řešení systému nelineárních algebraických rovnic | : <input checked="" type="radio"/> Newton-Raphson |
| ZS9 | Vítr příčný 180- | Způsob výpočtu | : <input checked="" type="radio"/> Teorie I. řádu (geometrický lineární výpočet) |
| | | Metoda pro řešení systému nelineárních algebraických rovnic | : <input checked="" type="radio"/> Newton-Raphson |
| ZS10 | Vítr podélný 90 | Způsob výpočtu | : <input checked="" type="radio"/> Teorie I. řádu (geometrický lineární výpočet) |
| | | Metoda pro řešení systému nelineárních algebraických rovnic | : <input checked="" type="radio"/> Newton-Raphson |
| ZS11 | Vítr podélný 90- | Způsob výpočtu | : <input checked="" type="radio"/> Teorie I. řádu (geometrický lineární výpočet) |
| | | Metoda pro řešení systému nelineárních algebraických rovnic | : <input checked="" type="radio"/> Newton-Raphson |
| ZS12 | Vítr podélný 270 | Způsob výpočtu | : <input checked="" type="radio"/> Teorie I. řádu (geometrický lineární výpočet) |
| | | Metoda pro řešení systému nelineárních algebraických rovnic | : <input checked="" type="radio"/> Newton-Raphson |
| ZS13 | Vítr podélný 270- | Způsob výpočtu | : <input checked="" type="radio"/> Teorie I. řádu (geometrický lineární výpočet) |
| | | Metoda pro řešení systému nelineárních algebraických rovnic | : <input checked="" type="radio"/> Newton-Raphson |
| ZS14 | Údržba kategorie H | Způsob výpočtu | : <input checked="" type="radio"/> Teorie I. řádu (geometrický lineární výpočet) |
| | | Metoda pro řešení systému nelineárních algebraických rovnic | : <input checked="" type="radio"/> Newton-Raphson |



Projekt:

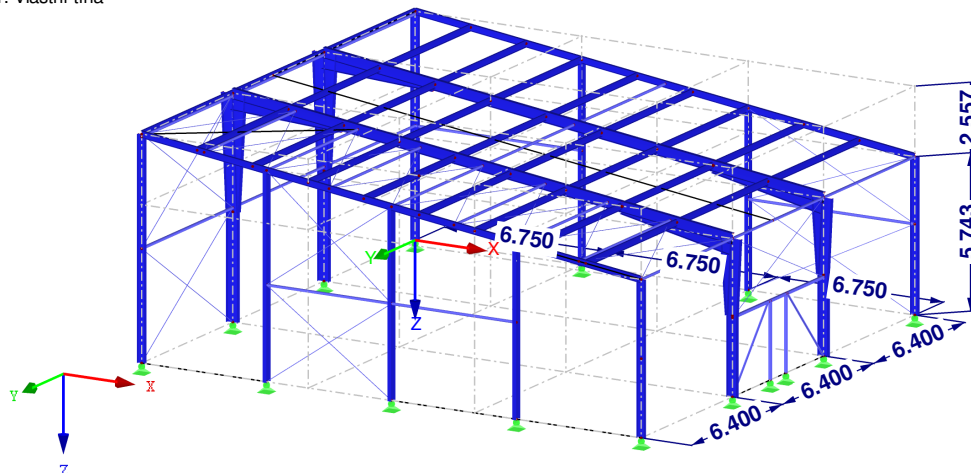
Model: AMZ Group 17-05-51

Datum: 25.05.2018

2.1.1. ZS1: VLASTNÍ TÍHA

ZS1: Vlastní tíha

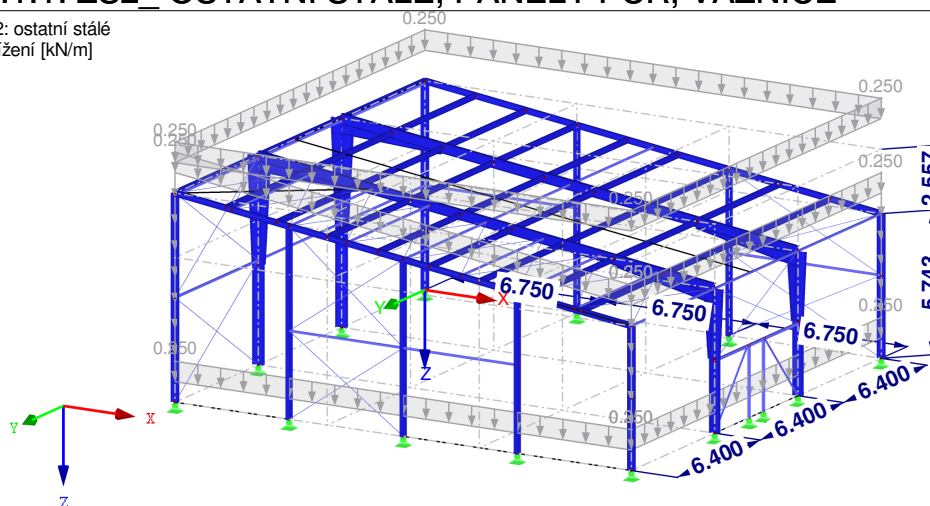
Izometrie



2.1.1. ZS2_ OSTATNÍ STÁLE, PANELY PUR, VAZNICE

ZS2: ostatní stálé
Zatížení [kN/m]

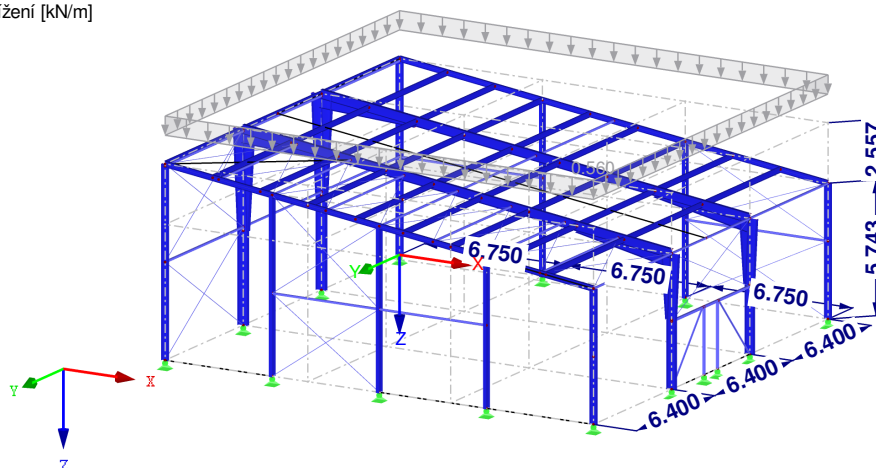
Izometrie

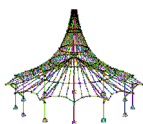


2.1.1. ZS3: SNÍH I SK=0,7

ZS3: Sníh I
Zatížení [kN/m]

Izometrie

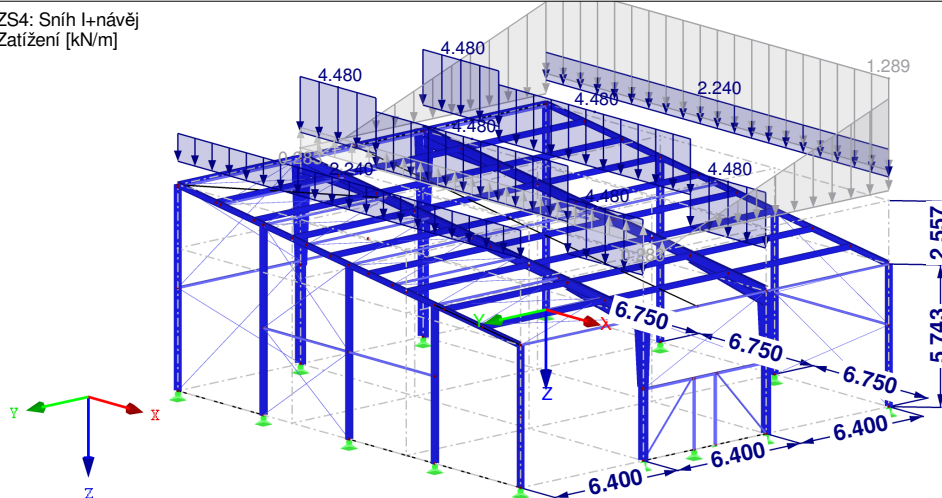




2.1.1. ZS4: SNÍH II SK = 0,7+NÁVĚJ

ZS4: Sníh I+návěj
Zatížení [kN/m]

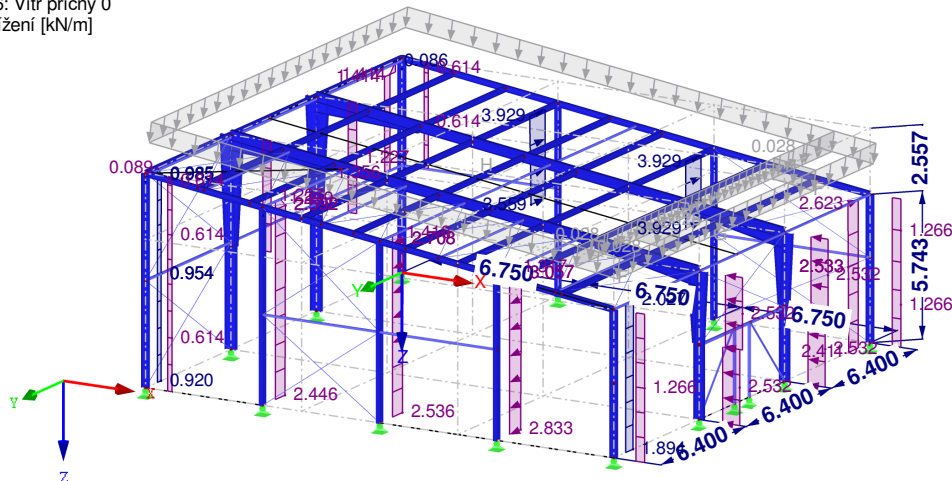
Izometrie



2.1.1. ZS6: VÍTR PŘÍČNÝ 0+

ZS6: Vitr příčný 0
Zatížení [kN/m]

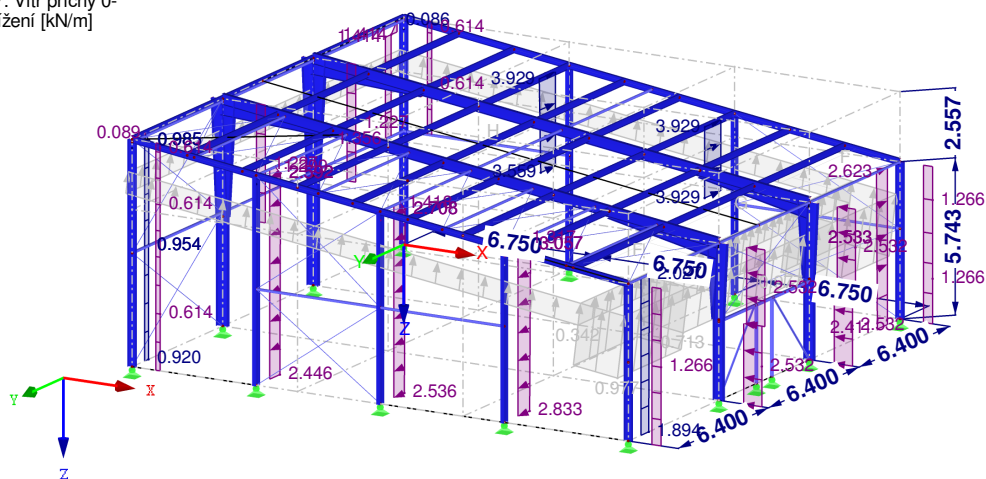
Izometrie

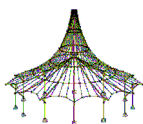


2.1.1. ZS7: VÍTR PŘÍČNÝ 0-

ZS7: Vitr příčný 0-
Zatížení [kN/m]

Izometrie





Projekt:

Model: AMZ Group 17-05-51

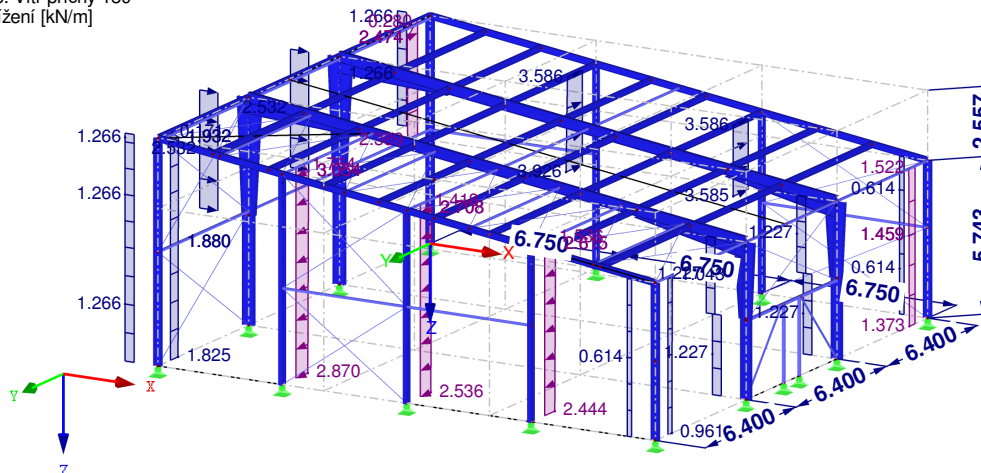
Datum:

25.05.2018

2.1.1. ZS8: VÍTR PŘÍČNÝ 180

ZS8: Vítr příčný 180
Zatížení [kN/m]

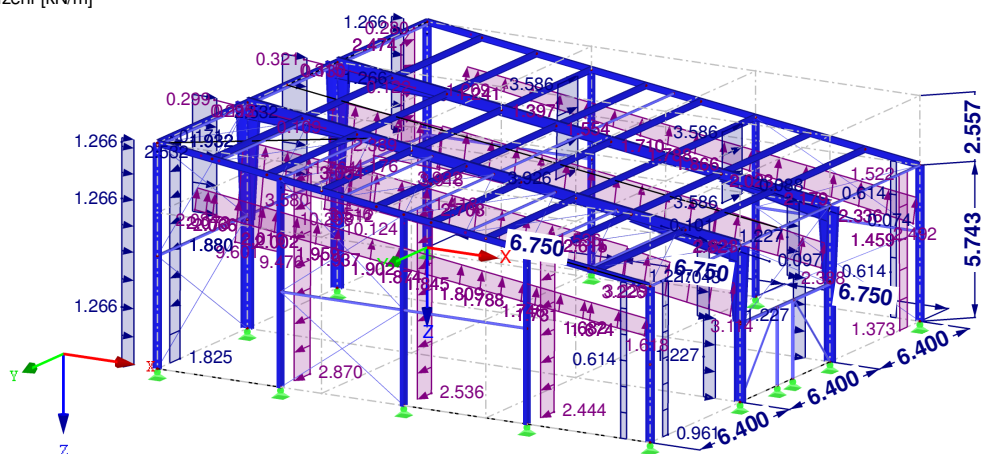
Izometrie



2.1.1. ZS9: VÍTR PŘÍČNÝ 180-

ZS9: Vítr příčný 180-
Zatížení [kN/m]

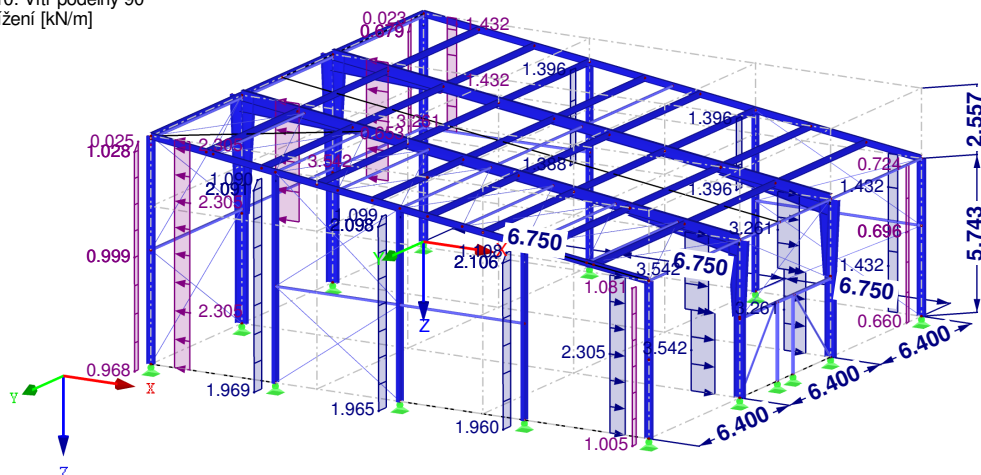
Izometrie

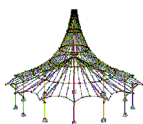


2.1.1. ZS10: VÍTR PODÉLNÝ 90

ZS10: Vítr podélný 90
Zatížení [kN/m]

Izometrie





Projekt:

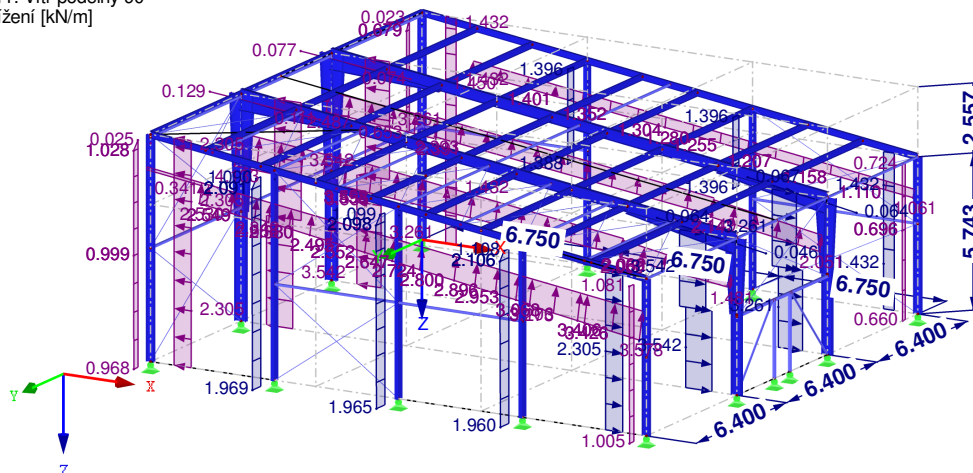
Model: AMZ Group 17-05-51

Datum: 25.05.2018

2.1.1. ZS11: VÍTR PODÉLNÝ 90-

ZS11: Vitr podélný 90-
Zatížení [kN/m]

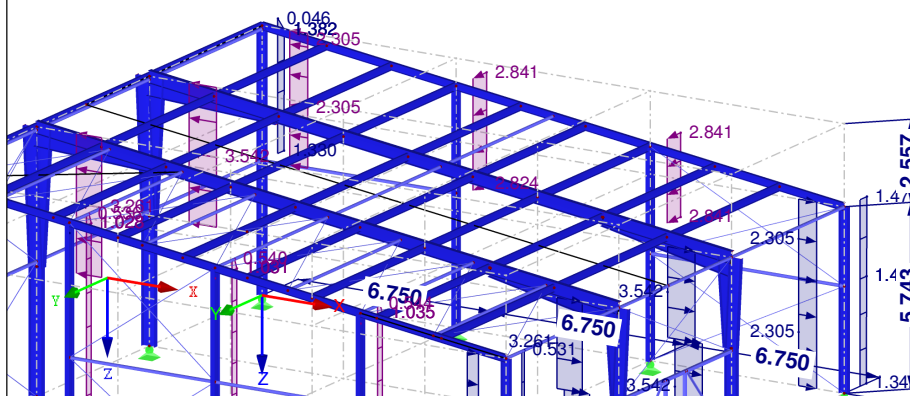
Izometrie



2.1.1. ZS12: VÍTR PODÉLNÝ 270

ZS12: Vitr podélný 270
Zatížení [kN/m]

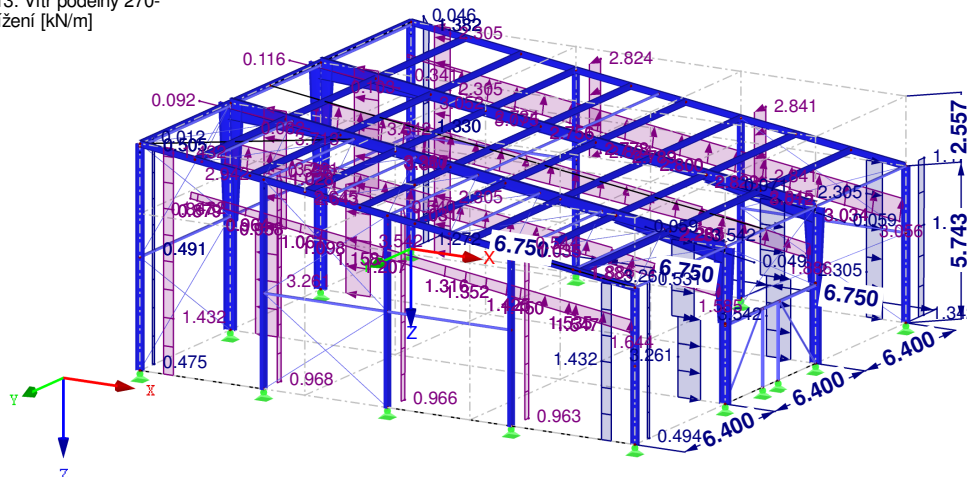
Izometrie

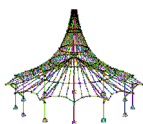


2.1.1. ZS13: VÍTR PODÉLNÝ 270-

ZS13: Vitr podélný 270-
Zatížení [kN/m]

Izometrie





Projekt:

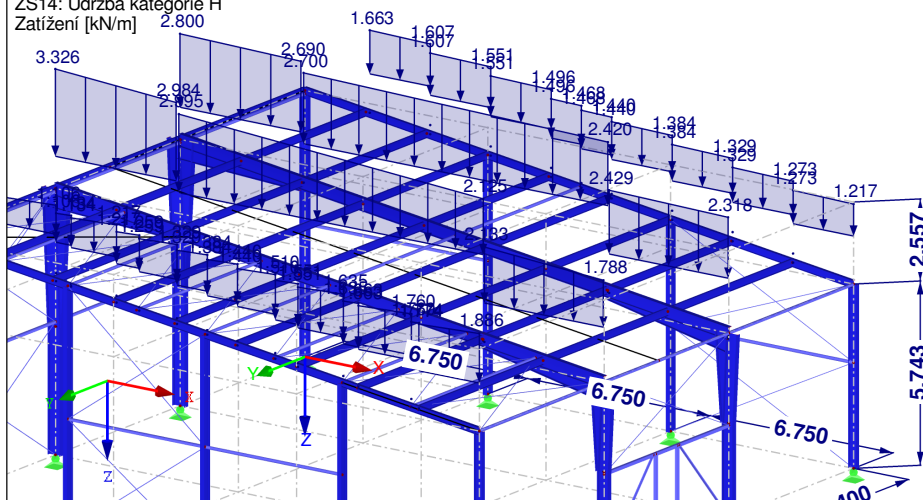
Model: AMZ Group 17-05-51

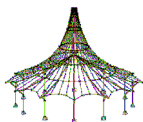
Datum: 25.05.2018

2.1.1. ZS14: ÚDRŽBA KAT. H

ZS14: Údržba kategorie H
Zatížení [kN/m] 2.800

Izometrie





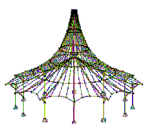
Projekt:

Model: AMZ Group 17-05-51

Datum: 25.05.2018

2.3 KOMBINAČNÍ PRAVIDLA

| Kombin. pravidlo | Označení | EN 1990 ČSN Návrhová situace | Nastavení |
|------------------|----------|---|--|
| KP1 | | MSÚ (STR/GEO) - stálá / přechodná - rovn. 6.10 | <div>Zohlednit : <input checked="" type="checkbox"/> Příznivá stálá zatížení</div> <div>Číslování generovaných kombinací : První číslo generované: 1 - Kombinace zatížení 1 - Výsledné kombinace</div> <div>Výsledné kombinace : <input checked="" type="checkbox"/> Dodatečně vytvořit kombinace výsledků Bud/Nebo (obálky výsledků) <input checked="" type="checkbox"/> Dodatečně vytvořit kombinaci výsledků Bud/Nebo pro každé kombinační pravidlo</div> <div>Generované kombinace zatížení : Teorie I. řádu (geometricky lineární výpočet) Způsob výpočtu</div> |



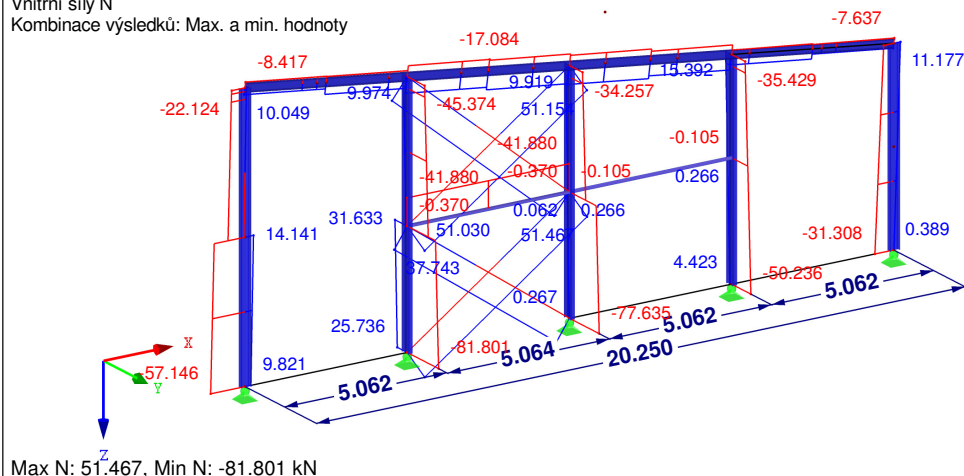
2.6.1.1. OBÁLKA VNITŘNÍ SÍLY NED OD KOMBINACÍ RÁM A

KV1: MSÚ (STR/GEO) - stálá / přechodná - rovn. 6.10

Vnitřní síly N

Kombinace výsledků: Max. a min. hodnoty

Izometrie



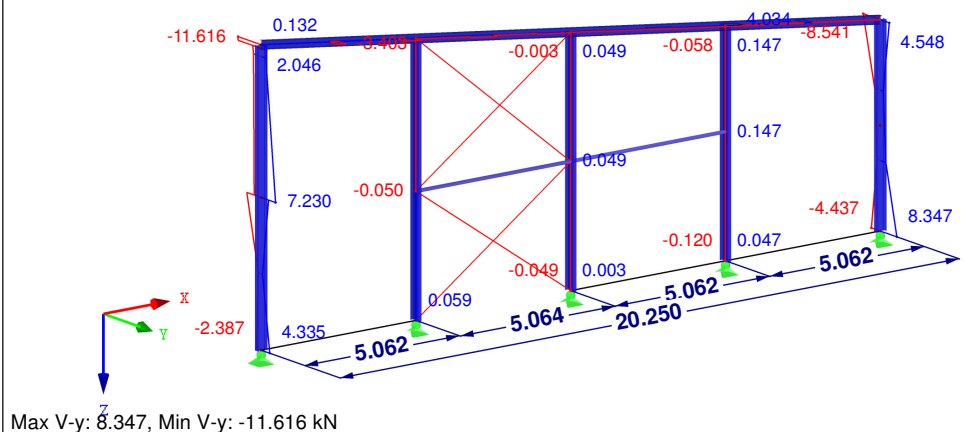
2.6.1.2. OBÁLKA VNITŘNÍ SÍLY VY OD KOMBINACÍ RÁM A

KV1: MSÚ (STR/GEO) - stálá / přechodná - rovn. 6.10

Vnitřní síly V-y

Kombinace výsledků: Max. a min. hodnoty

Izometrie



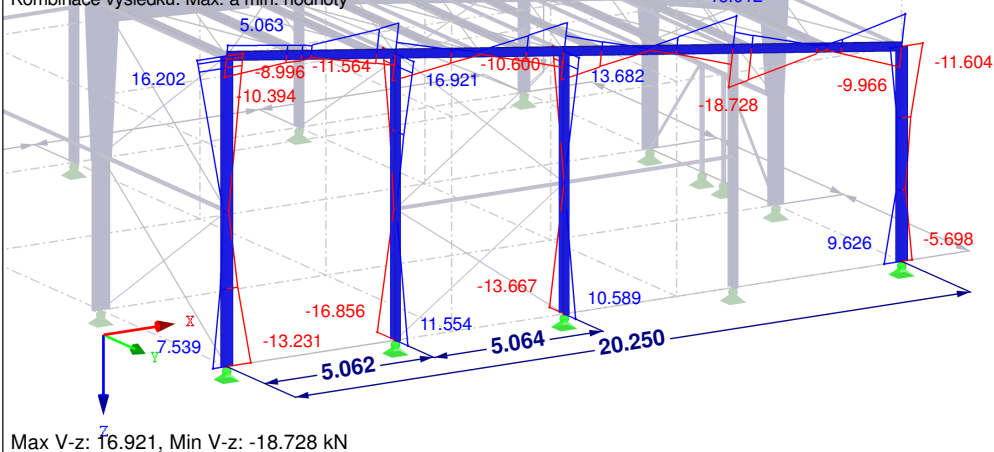
2.6.1.3. OBÁLKA VNITŘNÍ SÍLY VZ OD KOMBINACÍ RÁM A

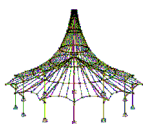
KV1: MSÚ (STR/GEO) - stálá / přechodná - rovn. 6.10

Vnitřní síly V-z

Kombinace výsledků: Max. a min. hodnoty

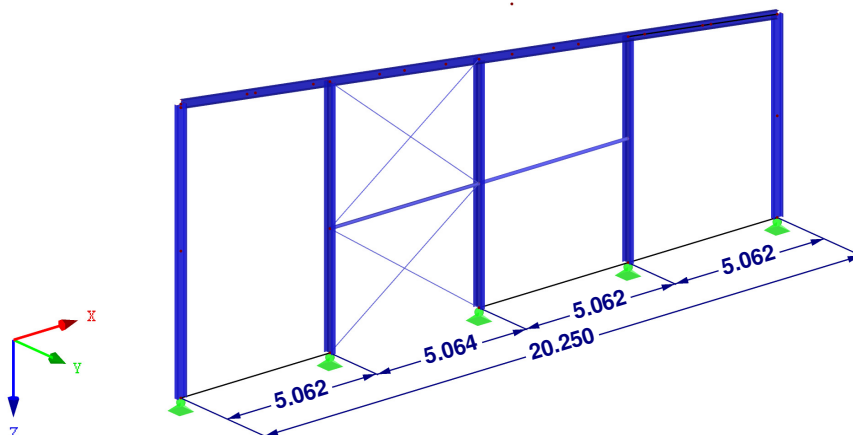
Izometrie





2.6.1.4. OBÁLKA VNITŘNÍ SÍLY MY OD KOMBINACÍ RÁM A

Izometrie



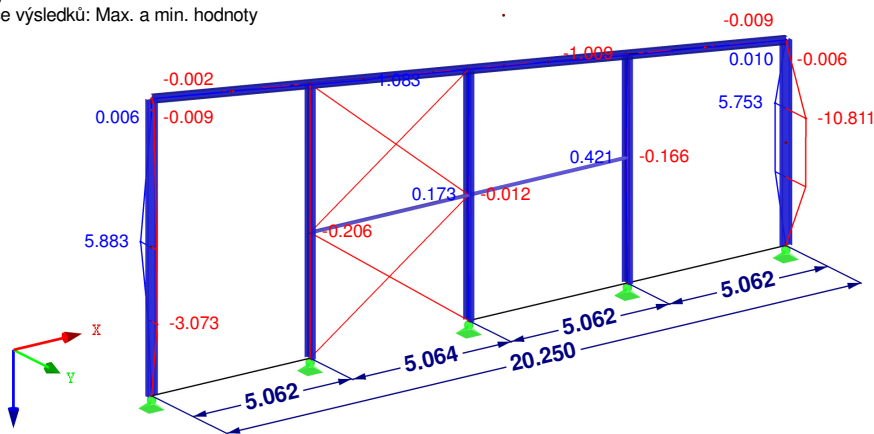
2.6.1.5. OBÁLKA VNITŘNÍ SÍLY MZ OD KOMBINACÍ RÁM A

KV1: MSÚ (STR/GEO) - stálá / přechodná - rovn. 6.10

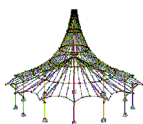
Vnitřní síly M-z

Kombinace výsledků: Max. a min. hodnoty

Izometrie



Max M-z: 6.326, Min M-z: -11.890 kNm



Projekt: Model: AMZ Group 17-05-51

Datum: 25.05.2018

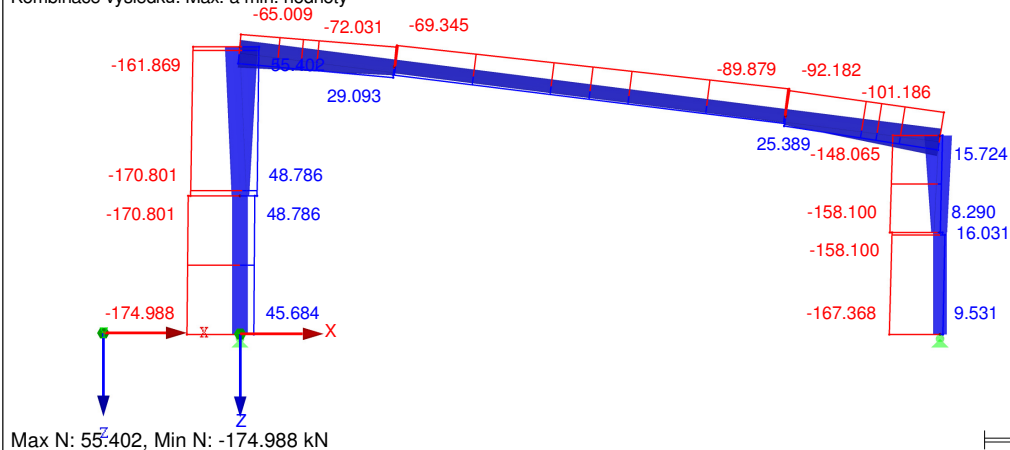
2.6.2.1. OBÁLKA VNITŘNÍ SÍLY NED OD KOMBINACÍ RÁM B-C

KV1: MSÚ (STR/GEO) - stálá / přechodná - rovn. 6.10

Vnitřní síly N

Kombinace výsledků: Max. a min. hodnoty

Proti směru osy Y



Max N: 55.402, Min N: -174.988 kN

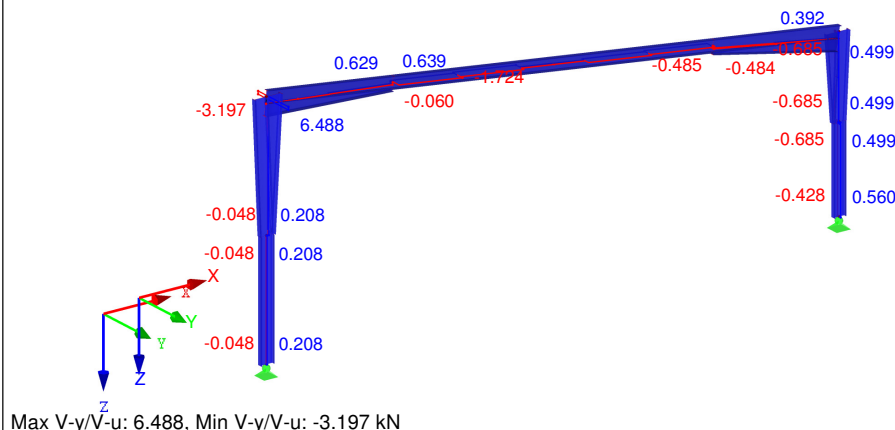
2.6.2.2. OBÁLKA VNITŘNÍ SÍLY VY OD KOMBINACÍ RÁM B-C

KV1: MSÚ (STR/GEO) - stálá / přechodná - rovn. 6.10

Vnitřní síly V-y/V-u

Kombinace výsledků: Max. a min. hodnoty

Izometrie



Max V-y/V-u: 6.488, Min V-y/V-u: -3.197 kN

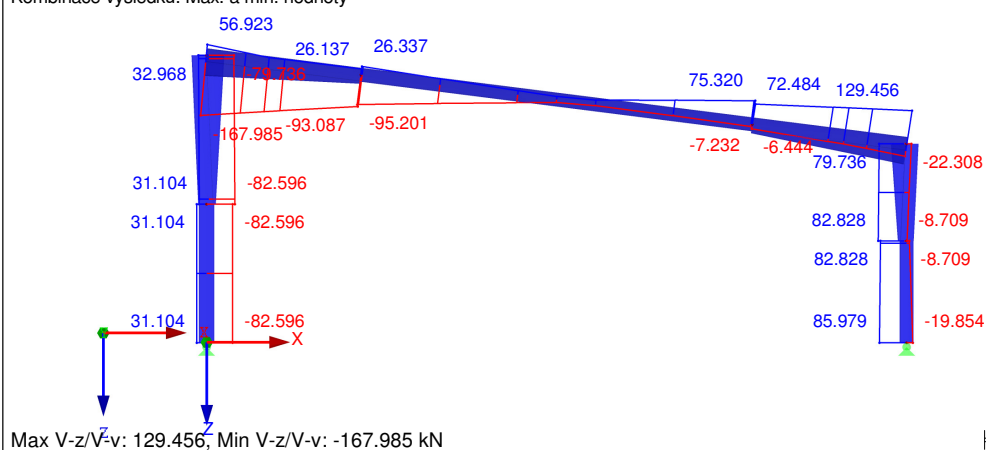
2.6.2.3. OBÁLKA VNITŘNÍ SÍLY VZ OD KOMBINACÍ RÁM B-C

KV1: MSÚ (STR/GEO) - stálá / přechodná - rovn. 6.10

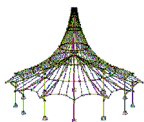
Vnitřní síly V-z/V-v

Kombinace výsledků: Max. a min. hodnoty

Proti směru osy Y



Max V-z/V-v: 129.456, Min V-z/V-v: -167.985 kN



Projekt: Model: AMZ Group 17-05-51

Datum: 25.05.2018

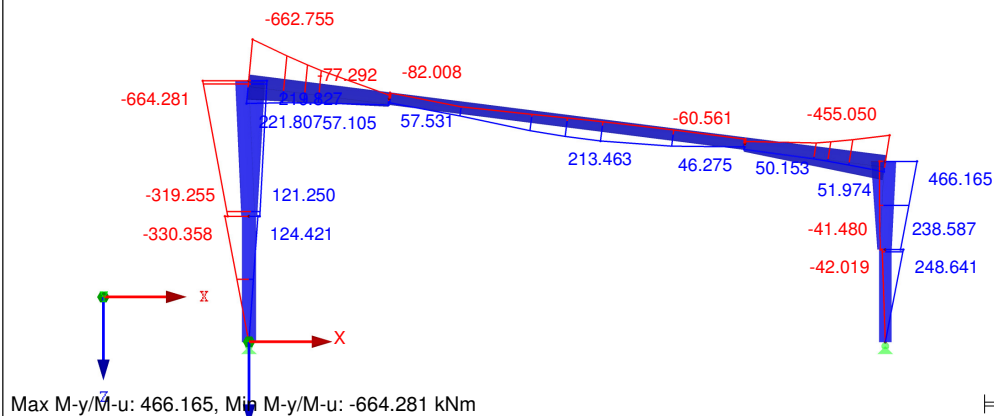
2.6.2.4. OBÁLKA VNITŘNÍ SÍLY MY OD KOMBINACÍ RÁM B-C

KV1: MSÚ (STR/GEO) - stálá / přechodná - rovn. 6.10

Vnitřní síly M-y/M-u

Kombinace výsledků: Max. a min. hodnoty

Proti směru osy Y



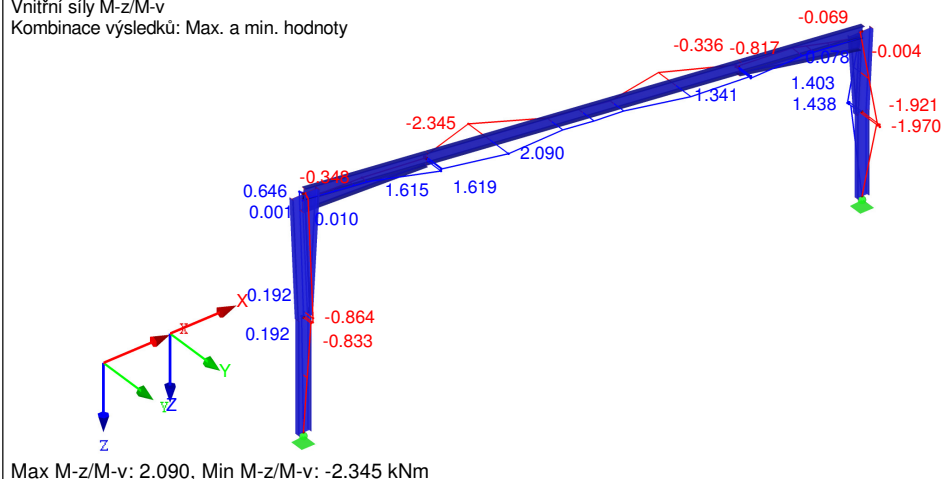
2.6.2.5. OBÁLKA VNITŘNÍ SÍLY MZ OD KOMBINACÍ RÁM B-C

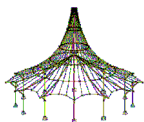
KV1: MSÚ (STR/GEO) - stálá / přechodná - rovn. 6.10

Vnitřní síly M-z/M-v

Kombinace výsledků: Max. a min. hodnoty

Izometrie





Projekt: Model: AMZ Group 17-05-51

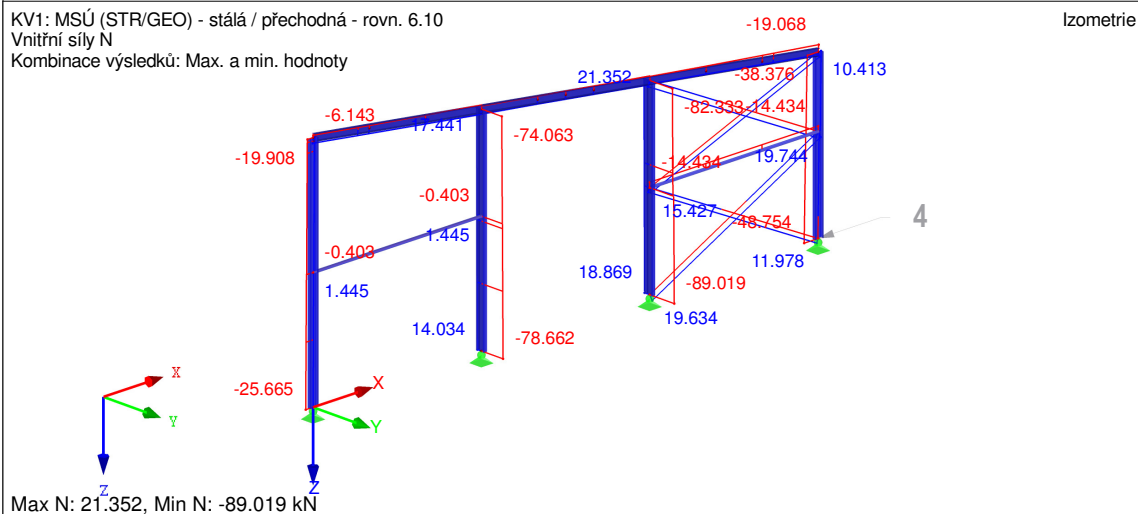
Datum: 25.05.2018

2.6.3.1. OBÁLKA VNITŘNÍ SÍLY NED OD KOMBINACÍ RÁM D

KV1: MSÚ (STR/GEO) - stálá / přechodná - rovn. 6.10

Vnitřní síly N

Kombinace výsledků: Max. a min. hodnoty

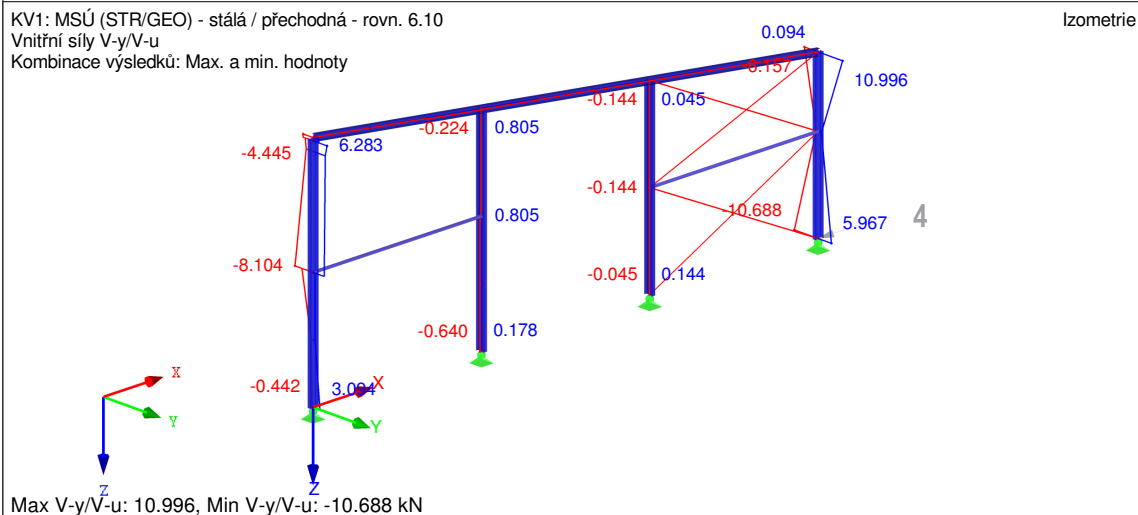


2.6.3.2. OBÁLKA VNITŘNÍ SÍLY VY OD KOMBINACÍ RÁM D

KV1: MSÚ (STR/GEO) - stálá / přechodná - rovn. 6.10

Vnitřní síly V-y/V-u

Kombinace výsledků: Max. a min. hodnoty

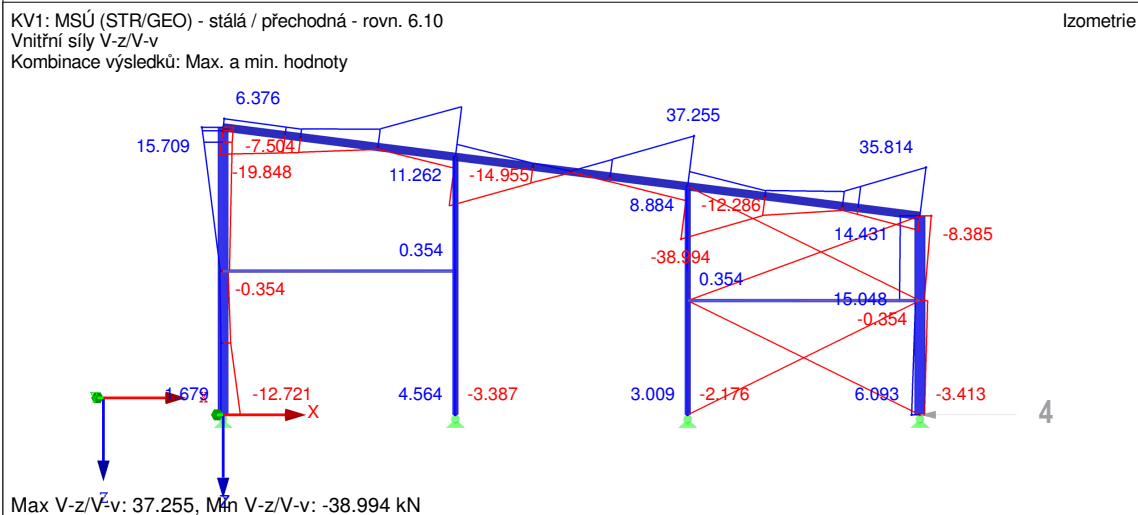


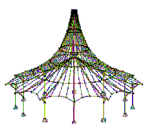
2.6.3.3. OBÁLKA VNITŘNÍ SÍLY VZ OD KOMBINACÍ RÁM D

KV1: MSÚ (STR/GEO) - stálá / přechodná - rovn. 6.10

Vnitřní síly V-z/V-v

Kombinace výsledků: Max. a min. hodnoty





Projekt: Model: AMZ Group 17-05-51

Datum: 25.05.2018

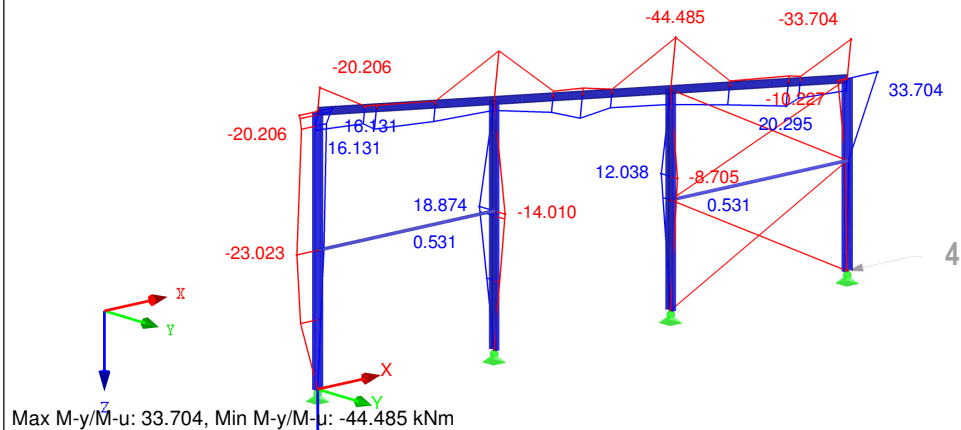
2.6.3.4. OBÁLKA VNITŘNÍ SÍLY MY OD KOMBINACÍ RÁM D

KV1: MSÚ (STR/GEO) - stálá / přechodná - rovn. 6.10

Vnitřní síly M-y/M-u

Kombinace výsledků: Max. a min. hodnoty

Izometrie



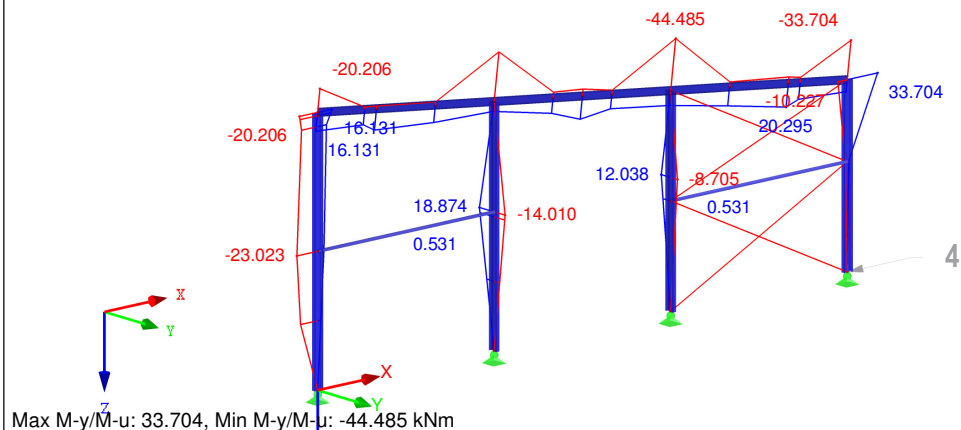
2.6.3.5. OBÁLKA VNITŘNÍ SÍLY MZ OD KOMBINACÍ RÁM D

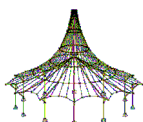
KV1: MSÚ (STR/GEO) - stálá / přechodná - rovn. 6.10

Vnitřní síly M-y/M-u

Kombinace výsledků: Max. a min. hodnoty

Izometrie





RF-STEEL EC3

PR1

Posouzení ocelových prutů
podle Eurokódu 3

Projekt:

Model: AMZ Group 17-05-51

Datum: 25.05.2018

1.1 ZÁKLADNÍ ÚDAJE

Pruty k posouzení:

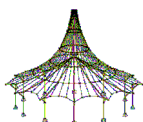
1-23,25,26,28-55,57,76,87-102,104,107-110

Sady prutů k posouzení:

Posouzení mezního stavu únosnosti

Kombinace zatížení k posouzení:

| | |
|------|--|
| KZ1 | 1.35*ZS1 + 1.35*ZS2 |
| KZ2 | 1.35*ZS1 + 1.35*ZS2 + 1.5*ZS3 |
| KZ3 | 1.35*ZS1 + 1.35*ZS2 + 1.5*ZS4 |
| KZ4 | 1.35*ZS1 + 1.35*ZS2 + 1.5*ZS3 + 0.9*ZS6 |
| KZ5 | 1.35*ZS1 + 1.35*ZS2 + 1.5*ZS3 + 0.9*ZS7 |
| KZ6 | 1.35*ZS1 + 1.35*ZS2 + 1.5*ZS3 + 0.9*ZS8 |
| KZ7 | 1.35*ZS1 + 1.35*ZS2 + 1.5*ZS3 + 0.9*ZS9 |
| KZ8 | 1.35*ZS1 + 1.35*ZS2 + 1.5*ZS3 + 0.9*ZS10 |
| KZ9 | 1.35*ZS1 + 1.35*ZS2 + 1.5*ZS3 + 0.9*ZS11 |
| KZ10 | 1.35*ZS1 + 1.35*ZS2 + 1.5*ZS3 + 0.9*ZS12 |
| KZ11 | 1.35*ZS1 + 1.35*ZS2 + 1.5*ZS3 + 0.9*ZS13 |
| KZ12 | 1.35*ZS1 + 1.35*ZS2 + 1.5*ZS4 + 0.9*ZS6 |
| KZ13 | 1.35*ZS1 + 1.35*ZS2 + 1.5*ZS4 + 0.9*ZS7 |
| KZ14 | 1.35*ZS1 + 1.35*ZS2 + 1.5*ZS4 + 0.9*ZS8 |
| KZ15 | 1.35*ZS1 + 1.35*ZS2 + 1.5*ZS4 + 0.9*ZS9 |
| KZ16 | 1.35*ZS1 + 1.35*ZS2 + 1.5*ZS4 + 0.9*ZS10 |
| KZ17 | 1.35*ZS1 + 1.35*ZS2 + 1.5*ZS4 + 0.9*ZS11 |
| KZ18 | 1.35*ZS1 + 1.35*ZS2 + 1.5*ZS4 + 0.9*ZS12 |
| KZ19 | 1.35*ZS1 + 1.35*ZS2 + 1.5*ZS4 + 0.9*ZS13 |
| KZ20 | 1.35*ZS1 + 1.35*ZS2 + 1.5*ZS6 |
| KZ21 | 1.35*ZS1 + 1.35*ZS2 + 1.5*ZS7 |
| KZ22 | 1.35*ZS1 + 1.35*ZS2 + 1.5*ZS8 |
| KZ23 | 1.35*ZS1 + 1.35*ZS2 + 1.5*ZS9 |
| KZ24 | 1.35*ZS1 + 1.35*ZS2 + 1.5*ZS10 |
| KZ25 | 1.35*ZS1 + 1.35*ZS2 + 1.5*ZS11 |
| KZ26 | 1.35*ZS1 + 1.35*ZS2 + 1.5*ZS12 |
| KZ27 | 1.35*ZS1 + 1.35*ZS2 + 1.5*ZS13 |
| KZ28 | 1.35*ZS1 + 1.35*ZS2 + 0.75*ZS3 + 1.5*ZS6 |
| KZ29 | 1.35*ZS1 + 1.35*ZS2 + 0.75*ZS3 + 1.5*ZS7 |
| KZ30 | 1.35*ZS1 + 1.35*ZS2 + 0.75*ZS3 + 1.5*ZS8 |
| KZ31 | 1.35*ZS1 + 1.35*ZS2 + 0.75*ZS3 + 1.5*ZS9 |
| KZ32 | 1.35*ZS1 + 1.35*ZS2 + 0.75*ZS3 + 1.5*ZS10 |
| KZ33 | 1.35*ZS1 + 1.35*ZS2 + 0.75*ZS3 + 1.5*ZS11 |
| KZ34 | 1.35*ZS1 + 1.35*ZS2 + 0.75*ZS3 + 1.5*ZS12 |
| KZ35 | 1.35*ZS1 + 1.35*ZS2 + 0.75*ZS3 + 1.5*ZS13 |
| KZ36 | 1.35*ZS1 + 1.35*ZS2 + 0.75*ZS4 + 1.5*ZS6 |
| KZ37 | 1.35*ZS1 + 1.35*ZS2 + 0.75*ZS4 + 1.5*ZS7 |
| KZ38 | 1.35*ZS1 + 1.35*ZS2 + 0.75*ZS4 + 1.5*ZS8 |
| KZ39 | 1.35*ZS1 + 1.35*ZS2 + 0.75*ZS4 + 1.5*ZS9 |
| KZ40 | 1.35*ZS1 + 1.35*ZS2 + 0.75*ZS4 + 1.5*ZS10 |
| KZ41 | 1.35*ZS1 + 1.35*ZS2 + 0.75*ZS4 + 1.5*ZS11 |
| KZ42 | 1.35*ZS1 + 1.35*ZS2 + 0.75*ZS4 + 1.5*ZS12 |
| KZ43 | 1.35*ZS1 + 1.35*ZS2 + 0.75*ZS4 + 1.5*ZS13 |
| KZ44 | 1.35*ZS1 + 1.35*ZS2 + 1.5*ZS14 |
| KZ45 | 1.35*ZS1 + 1.35*ZS2 + 0.75*ZS3 + 1.5*ZS14 |
| KZ46 | 1.35*ZS1 + 1.35*ZS2 + 0.75*ZS4 + 1.5*ZS14 |
| KZ47 | 1.35*ZS1 + 1.35*ZS2 + 0.75*ZS3 + 0.9*ZS6 + 1.5*ZS14 |
| KZ48 | 1.35*ZS1 + 1.35*ZS2 + 0.75*ZS3 + 0.9*ZS7 + 1.5*ZS14 |
| KZ49 | 1.35*ZS1 + 1.35*ZS2 + 0.75*ZS3 + 0.9*ZS8 + 1.5*ZS14 |
| KZ50 | 1.35*ZS1 + 1.35*ZS2 + 0.75*ZS3 + 0.9*ZS9 + 1.5*ZS14 |
| KZ51 | 1.35*ZS1 + 1.35*ZS2 + 0.75*ZS3 + 0.9*ZS10 + 1.5*ZS14 |
| KZ52 | 1.35*ZS1 + 1.35*ZS2 + 0.75*ZS3 + 0.9*ZS11 + 1.5*ZS14 |
| KZ53 | 1.35*ZS1 + 1.35*ZS2 + 0.75*ZS3 + 0.9*ZS12 + 1.5*ZS14 |
| KZ54 | 1.35*ZS1 + 1.35*ZS2 + 0.75*ZS3 + 0.9*ZS13 + 1.5*ZS14 |
| KZ55 | 1.35*ZS1 + 1.35*ZS2 + 0.75*ZS4 + 0.9*ZS6 + 1.5*ZS14 |
| KZ56 | 1.35*ZS1 + 1.35*ZS2 + 0.75*ZS4 + 0.9*ZS7 + 1.5*ZS14 |
| KZ57 | 1.35*ZS1 + 1.35*ZS2 + 0.75*ZS4 + 0.9*ZS8 + 1.5*ZS14 |
| KZ58 | 1.35*ZS1 + 1.35*ZS2 + 0.75*ZS4 + 0.9*ZS9 + 1.5*ZS14 |
| KZ59 | 1.35*ZS1 + 1.35*ZS2 + 0.75*ZS4 + 0.9*ZS10 + 1.5*ZS14 |
| KZ60 | 1.35*ZS1 + 1.35*ZS2 + 0.75*ZS4 + 0.9*ZS11 + 1.5*ZS14 |
| KZ61 | 1.35*ZS1 + 1.35*ZS2 + 0.75*ZS4 + 0.9*ZS12 + 1.5*ZS14 |
| KZ62 | 1.35*ZS1 + 1.35*ZS2 + 0.75*ZS4 + 0.9*ZS13 + 1.5*ZS14 |
| KZ63 | 1.35*ZS1 + 1.35*ZS2 + 0.9*ZS6 + 1.5*ZS14 |
| KZ64 | 1.35*ZS1 + 1.35*ZS2 + 0.9*ZS7 + 1.5*ZS14 |
| KZ65 | 1.35*ZS1 + 1.35*ZS2 + 0.9*ZS8 + 1.5*ZS14 |
| KZ66 | 1.35*ZS1 + 1.35*ZS2 + 0.9*ZS9 + 1.5*ZS14 |
| KZ67 | 1.35*ZS1 + 1.35*ZS2 + 0.9*ZS10 + 1.5*ZS14 |
| KZ68 | 1.35*ZS1 + 1.35*ZS2 + 0.9*ZS11 + 1.5*ZS14 |
| KZ69 | 1.35*ZS1 + 1.35*ZS2 + 0.9*ZS12 + 1.5*ZS14 |
| KZ70 | 1.35*ZS1 + 1.35*ZS2 + 0.9*ZS13 + 1.5*ZS14 |
| KZ71 | ZS1 + ZS2 |
| KZ72 | ZS1 + ZS2 + 1.5*ZS3 |
| KZ73 | ZS1 + ZS2 + 1.5*ZS4 |
| KZ74 | ZS1 + ZS2 + 1.5*ZS3 + 0.9*ZS6 |
| KZ75 | ZS1 + ZS2 + 1.5*ZS3 + 0.9*ZS7 |
| KZ76 | ZS1 + ZS2 + 1.5*ZS3 + 0.9*ZS8 |
| KZ77 | ZS1 + ZS2 + 1.5*ZS3 + 0.9*ZS9 |
| KZ78 | ZS1 + ZS2 + 1.5*ZS3 + 0.9*ZS10 |
| KZ79 | ZS1 + ZS2 + 1.5*ZS3 + 0.9*ZS11 |
| KZ80 | ZS1 + ZS2 + 1.5*ZS3 + 0.9*ZS12 |
| KZ81 | ZS1 + ZS2 + 1.5*ZS3 + 0.9*ZS13 |
| KZ82 | ZS1 + ZS2 + 1.5*ZS4 + 0.9*ZS6 |
| KZ83 | ZS1 + ZS2 + 1.5*ZS4 + 0.9*ZS7 |
| KZ84 | ZS1 + ZS2 + 1.5*ZS4 + 0.9*ZS8 |
| KZ85 | ZS1 + ZS2 + 1.5*ZS4 + 0.9*ZS9 |
| KZ86 | ZS1 + ZS2 + 1.5*ZS4 + 0.9*ZS10 |
| KZ87 | ZS1 + ZS2 + 1.5*ZS4 + 0.9*ZS11 |
| KZ88 | ZS1 + ZS2 + 1.5*ZS4 + 0.9*ZS12 |
| KZ89 | ZS1 + ZS2 + 1.5*ZS4 + 0.9*ZS13 |
| KZ90 | ZS1 + ZS2 + 1.5*ZS6 |



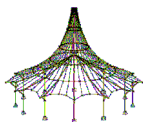
Projekt:

Model: AMZ Group 17-05-51

Datum: 25.05.2018

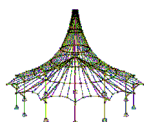
1.1 ZÁKLADNÍ ÚDAJE

| | |
|-------|--|
| KZ91 | ZS1 + ZS2 + 1.5*ZS7 |
| KZ92 | ZS1 + ZS2 + 1.5*ZS8 |
| KZ93 | ZS1 + ZS2 + 1.5*ZS9 |
| KZ94 | ZS1 + ZS2 + 1.5*ZS10 |
| KZ95 | ZS1 + ZS2 + 1.5*ZS11 |
| KZ96 | ZS1 + ZS2 + 1.5*ZS12 |
| KZ97 | ZS1 + ZS2 + 1.5*ZS13 |
| KZ98 | ZS1 + ZS2 + 0.75*ZS3 + 1.5*ZS6 |
| KZ99 | ZS1 + ZS2 + 0.75*ZS3 + 1.5*ZS7 |
| KZ100 | ZS1 + ZS2 + 0.75*ZS3 + 1.5*ZS8 |
| KZ101 | ZS1 + ZS2 + 0.75*ZS3 + 1.5*ZS9 |
| KZ102 | ZS1 + ZS2 + 0.75*ZS3 + 1.5*ZS10 |
| KZ103 | ZS1 + ZS2 + 0.75*ZS3 + 1.5*ZS11 |
| KZ104 | ZS1 + ZS2 + 0.75*ZS3 + 1.5*ZS12 |
| KZ105 | ZS1 + ZS2 + 0.75*ZS3 + 1.5*ZS13 |
| KZ106 | ZS1 + ZS2 + 0.75*ZS4 + 1.5*ZS6 |
| KZ107 | ZS1 + ZS2 + 0.75*ZS4 + 1.5*ZS7 |
| KZ108 | ZS1 + ZS2 + 0.75*ZS4 + 1.5*ZS8 |
| KZ109 | ZS1 + ZS2 + 0.75*ZS4 + 1.5*ZS9 |
| KZ110 | ZS1 + ZS2 + 0.75*ZS4 + 1.5*ZS10 |
| KZ111 | ZS1 + ZS2 + 0.75*ZS4 + 1.5*ZS11 |
| KZ112 | ZS1 + ZS2 + 0.75*ZS4 + 1.5*ZS12 |
| KZ113 | ZS1 + ZS2 + 0.75*ZS4 + 1.5*ZS13 |
| KZ114 | ZS1 + ZS2 + 1.5*ZS14 |
| KZ115 | ZS1 + ZS2 + 0.75*ZS3 + 1.5*ZS14 |
| KZ116 | ZS1 + ZS2 + 0.75*ZS4 + 1.5*ZS14 |
| KZ117 | ZS1 + ZS2 + 0.75*ZS3 + 0.9*ZS6 + 1.5*ZS14 |
| KZ118 | ZS1 + ZS2 + 0.75*ZS3 + 0.9*ZS7 + 1.5*ZS14 |
| KZ119 | ZS1 + ZS2 + 0.75*ZS3 + 0.9*ZS8 + 1.5*ZS14 |
| KZ120 | ZS1 + ZS2 + 0.75*ZS3 + 0.9*ZS9 + 1.5*ZS14 |
| KZ121 | ZS1 + ZS2 + 0.75*ZS3 + 0.9*ZS10 + 1.5*ZS14 |
| KZ122 | ZS1 + ZS2 + 0.75*ZS3 + 0.9*ZS11 + 1.5*ZS14 |
| KZ123 | ZS1 + ZS2 + 0.75*ZS3 + 0.9*ZS12 + 1.5*ZS14 |
| KZ124 | ZS1 + ZS2 + 0.75*ZS3 + 0.9*ZS13 + 1.5*ZS14 |
| KZ125 | ZS1 + ZS2 + 0.75*ZS4 + 0.9*ZS6 + 1.5*ZS14 |
| KZ126 | ZS1 + ZS2 + 0.75*ZS4 + 0.9*ZS7 + 1.5*ZS14 |
| KZ127 | ZS1 + ZS2 + 0.75*ZS4 + 0.9*ZS8 + 1.5*ZS14 |
| KZ128 | ZS1 + ZS2 + 0.75*ZS4 + 0.9*ZS9 + 1.5*ZS14 |
| KZ129 | ZS1 + ZS2 + 0.75*ZS4 + 0.9*ZS10 + 1.5*ZS14 |
| KZ130 | ZS1 + ZS2 + 0.75*ZS4 + 0.9*ZS11 + 1.5*ZS14 |
| KZ131 | ZS1 + ZS2 + 0.75*ZS4 + 0.9*ZS12 + 1.5*ZS14 |
| KZ132 | ZS1 + ZS2 + 0.75*ZS4 + 0.9*ZS13 + 1.5*ZS14 |
| KZ133 | ZS1 + ZS2 + 0.9*ZS6 + 1.5*ZS14 |
| KZ134 | ZS1 + ZS2 + 0.9*ZS7 + 1.5*ZS14 |
| KZ135 | ZS1 + ZS2 + 0.9*ZS8 + 1.5*ZS14 |
| KZ136 | ZS1 + ZS2 + 0.9*ZS9 + 1.5*ZS14 |
| KZ137 | ZS1 + ZS2 + 0.9*ZS10 + 1.5*ZS14 |
| KZ138 | ZS1 + ZS2 + 0.9*ZS11 + 1.5*ZS14 |
| KZ139 | ZS1 + ZS2 + 0.9*ZS12 + 1.5*ZS14 |
| KZ140 | ZS1 + ZS2 + 0.9*ZS13 + 1.5*ZS14 |



1.1.2 NÁRODNÍ PŘÍLOHA

| | |
|--|---|
| Dílčí součinitele podle 6.1, poznámky 2B | |
| Pro únosnost průřezů γ_{M0} : | 1.00 |
| Pro vzpěrnou únosnost prutů (posouzení podle kap. 6.3) γ_{M1} : | 1.00 |
| Pro únosnost průřezů při porušení průřezu v tahu γ_{M2} : | 1.25 |
| Dílčí součinitel pro situaci požáru | |
| $\gamma_{M,fi}$ | 1.00 |
| Smyk podle 6.2.6(3) a smykové boulení podle EN 1993-1-5 | |
| Součinitel η : | 1.20 |
| Parametry pro klopení | |
| Součinitele imperfekce pro křivky klopení podle tabulky 6.3 | |
| Křivka vzpěrné pevnosti a: | 0.21 |
| Křivka vzpěrné pevnosti b: | 0.34 |
| Křivka vzpěrné pevnosti c: | 0.49 |
| Křivka vzpěrné pevnosti d: | 0.76 |
| Použití součinitel f pro výpočet upraveného χ_{LT} podle 6.3.2.3(2) | <input checked="" type="checkbox"/> |
| Parametry pro Φ_{LT} podle 6.3.2.3(1): | |
| Válcované průřezy I | |
| $\lambda_{LT,0}$: | 0.40 |
| β : | 0.75 |
| Svařované I průřezy | |
| $\lambda_{LT,0}$: | 0.40 |
| β : | 0.75 |
| Stanovení křivek klopení: | V případě možnosti podle 6.3.2.3, rov. (6.57), jinak podle 6.3.2.2, rov. (6.56) |
| Stanovení interakčních součinitelů pro vztah v 6.3.3(4) metodou: | 2 podle přílohy B |
| Mezní stavy použitelnosti (průhyby) podle 7.2 | |
| Kombinace zatížení (tabulka A1.4 v EN 1990): | |
| PC : Charakteristická | L / 300 |
| PC : Častá | L / 200 |
| PK : Kvazistálá | L / 200 |
| Konzoly | $L_c / 150$ |
| | $L_c / 100$ |
| Obecná metoda podle 6.3.4 | |
| Obecnou metodu použít také pro průřezy, které nejsou tvaru I | <input checked="" type="checkbox"/> |
| Vždy použít obecnou metodu posouzení stability podle 6.3.4 | <input type="checkbox"/> |
| Použití evropskou křivku klopení podle [5] | <input type="checkbox"/> |
| Použití metody Johannes-Caspar-Naumese pro stanovení nestability z roviny | <input type="checkbox"/> |
| Použití interpolaci podle rov. (6.66) | <input type="checkbox"/> |
| Nekorodující ocel (EN 1993-1-4) Parametry | |
| Dílčí součinitele spolehlivosti podle 5.1 | |
| Pro únosnost průřezů | |
| γ_{M0} | 1.10 |
| Pro únosnost průřezů při posuzování stability prutů podle 6.3 | |
| γ_{M1} | 1.10 |
| Pro únosnost průřezů při porušení oslabeného průřezu v tahu | |
| γ_{M2} | 1.25 |
| Smyk podle 5.6(2) a smykové boulení | |
| η | 1.20 |
| Parametry pro posouzení stability | |
| Součinitel imperfekce | α |
| Klopení | |
| Otevřené průřezy tvážené za studena | 0.49 |
| Duté průřezy (svařované nebo bezešvé) | 0.49 |
| Svař. otevřené průřezy (okolo osy s největší tuhostí) | 0.49 |
| Svař. otevřené průřezy (okolo osy s nejmenší tuhostí) | 0.76 |
| Vzpěr zkroucením a prostorový vzpěr | |
| Všechny prvky | 0.34 |
| Parametry pro Φ | λ_0 |
| Klopení | |
| Otevřené průřezy tvážené za studena | 0.40 |
| Duté průřezy (svařované nebo bezešvé) | 0.40 |
| Svař. otevřené průřezy (okolo osy s největší tuhostí) | 0.20 |
| Svař. otevřené průřezy (okolo osy s nejmenší tuhostí) | 0.20 |
| Vzpěr zkroucením a prostorový vzpěr | |
| Všechny prvky | 0.20 |
| Součinitel imperfekce | α_{LT} |
| Průřezy tvarované za studena a duté průřezy (svařované a bezešvé) | 0.34 |
| Svařované otevřené průřezy a ostatní průřezy | 0.76 |



Projekt:

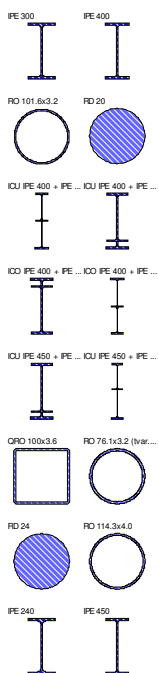
Model: AMZ Group 17-05-51

Datum: 25.05.2018

1.2 MATERIÁLY

| Materiál - č. | Označení materiálu | Modul pruž. E [MPa] | Smykový modul G [MPa] | Poissonův součinitel ν [-] | Mez kluzu f_{yk} [MPa] | Max. tloušťka dílce t [mm] |
|---------------|----------------------------------|---------------------|-----------------------|--------------------------------|--------------------------|----------------------------|
| 2 | Ocel S 355 EN 1993-1-1:2005-05 | 210000.000 | 80769.200 | 0.300 | 355.000 | 40.0 |
| 3 | Ocel S 235 EN 1993-1-1:2005-05 | 210000.000 | 80769.200 | 0.300 | 335.000 235.000 | 80.0 40.0 |
| | | | | | 215.000 | 80.0 |

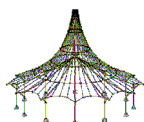
1.3 PRŮŘEZY



| Průř. č. | Materiál - č. | Označení průřezu | Typ průřezu pro klasifikaci | Max. návrhové využití | Komentář |
|----------|---------------|---|-----------------------------|-----------------------|----------|
| 1 | 2 | IPE 300 Feron - DIN 1025-5:1994 | I-profil válcov. | 0.69 | |
| 2 | 2 | IPE 400 Feron - DIN 1025-5:1994 | I-profil válcov. | 0.73 | |
| 3 | 3 | RO 101.6x3.2 EN 10210-2:2006 | Trubka | 0.58 | |
| 4 | 3 | RD 20 Feron - EN 10060 | Obecné | 0.43 | |
| 7 | 2 | Typ Obecný - možná pouze třída 3 ICU IPE 400 + IPE 450-400 Feron - DIN 1025-5:1994 + Feron - DIN 1025-5:1994 | Obecné | 0.80 | |
| 8 | 2 | Typ Obecný - možná pouze třída 3 ICU IPE 400 + IPE 450-60 Feron - DIN 1025-5:1994 + Feron - DIN 1025-5:1994 | Obecné | 0.80 | |
| 9 | 2 | Typ Obecný - možná pouze třída 3 ICO IPE 400 + IPE 450-60 Feron - DIN 1025-5:1994 + Feron - DIN 1025-5:1994 | Obecné | 0.79 | |
| 10 | 2 | Typ Obecný - možná pouze třída 3 ICO IPE 400 + IPE 450-400 Feron - DIN 1025-5:1994 + Feron - DIN 1025-5:1994 | Obecné | 0.79 | |
| 11 | 2 | Typ Obecný - možná pouze třída 3 ICU IPE 450 + IPE 550-60 Feron - DIN 1025-5:1994 + Feron - DIN 1025-5:1994 | Obecné | 0.91 | |
| 12 | 2 | Typ Obecný - možná pouze třída 3 ICU IPE 450 + IPE 550-500 Feron - DIN 1025-5:1994 + Feron - DIN 1025-5:1994 | Obecné | 0.91 | |
| 13 | 3 | QRO 100x3.6 DIN 59410:1974 | Dutý profil válcov. | 0.46 | |
| 14 | 3 | RO 76.1x3.2 (tvar. za tepla) | Trubka | 0.45 | |
| 15 | 2 | IPE 400 Feron - DIN 1025-5:1994 | I-profil válcov. | 0.62 | |
| 16 | 3 | RD 24 Feron - EN 10060 | Obecné | 0.48 | |
| 17 | 3 | Typ Obecný - možná pouze třída 3 RO 114.3x4.0 EN 10210-2:2006 | Trubka | 0.43 | |
| 18 | 2 | IPE 240 Feron - DIN 1025-5:1994 | I-profil válcov. | 0.46 | |
| 19 | 2 | IPE 450 Feron - DIN 1025-5:1994 | I-profil válcov. | 0.82 | |

1.5 VZPĚRNÉ DÉLKY - PRUTY

| Prut č. | Vzpěr možný | Vzpěr okolo osy y | | | Vzpěr okolo osy z | | | Klopení | | | | |
|------------|--|-------------------------------------|------------|----------------|-------------------------------------|------------|----------------|-------------------------------------|-------|-------|-----------|-----------|
| | | možný | $k_{cr,y}$ | $L_{cr,y}$ [m] | možný | $k_{cr,z}$ | $L_{cr,z}$ [m] | možné | k_z | k_w | L_w [m] | L_T [m] |
| 3 | <input checked="" type="checkbox"/> | <input checked="" type="checkbox"/> | 0.29 | 6.000 | <input checked="" type="checkbox"/> | 0.12 | 2.400 | <input checked="" type="checkbox"/> | 1.0 | 1.0 | 2.400 | 20.411 |
| 4 | <input checked="" type="checkbox"/> | <input checked="" type="checkbox"/> | 1.00 | 7.661 | <input checked="" type="checkbox"/> | 0.70 | 5.363 | <input checked="" type="checkbox"/> | 1.0 | 1.0 | 5.400 | 7.661 |
| 11 | <input checked="" type="checkbox"/> | <input checked="" type="checkbox"/> | 4.87 | 14.332 | <input checked="" type="checkbox"/> | 1.20 | 3.532 | <input checked="" type="checkbox"/> | 1.0 | 1.0 | 3.550 | 2.943 |
| 12 | <input checked="" type="checkbox"/> | <input checked="" type="checkbox"/> | 1.00 | 4.502 | <input checked="" type="checkbox"/> | 0.53 | 2.400 | <input checked="" type="checkbox"/> | 1.0 | 1.0 | 2.400 | 4.502 |
| 23 | <input checked="" type="checkbox"/> | <input checked="" type="checkbox"/> | 1.00 | 6.400 | <input checked="" type="checkbox"/> | 1.00 | 6.400 | <input type="checkbox"/> | 1.0 | 1.0 | 6.400 | 6.400 |
| 28 | <input checked="" type="checkbox"/> | <input checked="" type="checkbox"/> | 1.00 | 6.400 | <input checked="" type="checkbox"/> | 1.00 | 6.400 | <input type="checkbox"/> | 1.0 | 1.0 | 6.400 | 6.400 |
| 31 | <input checked="" type="checkbox"/> | <input checked="" type="checkbox"/> | 1.00 | 6.400 | <input checked="" type="checkbox"/> | 1.00 | 6.400 | <input type="checkbox"/> | 1.0 | 1.0 | 6.400 | 6.400 |
| 44 | <input type="checkbox"/> | <input type="checkbox"/> | 1.00 | 6.889 | <input type="checkbox"/> | 1.00 | 6.889 | <input type="checkbox"/> | 1.0 | 1.0 | 6.889 | 6.889 |
| | Prut tohoto typu není dovolen pro výpočet stability. | | | | | | | | | | | |
| 49 | <input type="checkbox"/> | <input type="checkbox"/> | 1.00 | 6.890 | <input type="checkbox"/> | 1.00 | 6.890 | <input type="checkbox"/> | 1.0 | 1.0 | 6.890 | 6.890 |
| | Prut tohoto typu není dovolen pro výpočet stability. | | | | | | | | | | | |
| 54 | <input type="checkbox"/> | <input type="checkbox"/> | 1.00 | 6.890 | <input type="checkbox"/> | 1.00 | 6.890 | <input type="checkbox"/> | 1.0 | 1.0 | 6.890 | 6.890 |
| | Prut tohoto typu není dovolen pro výpočet stability. | | | | | | | | | | | |
| 57 | <input checked="" type="checkbox"/> | <input checked="" type="checkbox"/> | 1.00 | 6.400 | <input checked="" type="checkbox"/> | 1.00 | 6.400 | <input type="checkbox"/> | 1.0 | 1.0 | 6.400 | 6.400 |



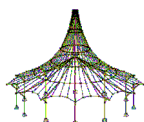
Projekt:

Model: AMZ Group 17-05-51

Datum: 25.05.2018

2.4 POSOUZENÍ PO PRUTECH

| Prut č. | Místo x [m] | ZS/KZ/ KV | Návrh | | Podle vzorce | | |
|------------|--|---|-------|------|-----------------|--|--------------------------------------|
| 1 | Průřez č. 1 - IPE 300 Feron - DIN 1025-5:1994 | | | | | | |
| | 4.150 | KZ95 | 0.01 | ≤ 1 | 101) | Posouzení průřezu - tah podle 6.2.3 | |
| | 2.075 | KZ42 | 0.03 | ≤ 1 | 102) | Posouzení průřezu - tlak podle 6.2.4 | |
| | 0.000 | KZ42 | 0.03 | ≤ 1 | 103) | Posouzení průřezu - tlak podle 6.2.4 - třída 4 | |
| | 8.300 | KZ95 | 0.07 | ≤ 1 | 111) | Posouzení průřezu - ohyb okolo y podle 6.2.5 - třída 1 nebo 2 | |
| | 7.980 | KZ93 | 0.02 | ≤ 1 | 116) | Posouzení průřezu - ohyb okolo z podle 6.2.5 - třída 1 nebo 2 | |
| | 8.300 | KZ95 | 0.03 | ≤ 1 | 121) | Posouzení průřezu - smyk ve směru z podle 6.2.6 | |
| | 0.000 | KZ40 | 0.03 | ≤ 1 | 122) | Posouzení průřezu - smyk ve směru z podle 6.2.6(4) - třída 3 nebo 4 | |
| | 8.200 | KZ42 | 0.02 | ≤ 1 | 123) | Posouzení průřezu - smyk ve směru y podle 6.2.6 | |
| | 8.300 | KZ42 | 0.03 | ≤ 1 | 124) | Posouzení průřezu - posouvající síla ve směru y podle 6.2.6(4) - třída 3 nebo 4 | |
| | 0.000 | KZ4 | 0.00 | ≤ 1 | 126) | Posouzení průřezu - smykové boulení podle 6.2.6(6) | |
| | 8.300 | KZ95 | 0.07 | ≤ 1 | 141) | Posouzení průřezu - ohyb a smyk podle 6.2.5 a 6.2.8 | |
| | 7.980 | KZ93 | 0.02 | ≤ 1 | 151) | Posouzení průřezu - ohyb okolo z a smyk podle 6.2.5 a 6.2.8 | |
| | 4.150 | KZ93 | 0.14 | ≤ 1 | 161) | Posouzení průřezu - dvouosý ohyb a smyk podle 6.2.6, 6.2.7 a 6.2.9 | |
| | 8.300 | KZ110 | 0.04 | ≤ 1 | 181) | Posouzení průřezu - ohyb, smyk a osová síla podle 6.2.9.1 | |
| | 8.300 | KZ113 | 0.04 | ≤ 1 | 182) | Posouzení průřezu - ohyb, smyk a osová síla podle 6.2.9.2 - třída 3 | |
| | 7.980 | KZ53 | 0.04 | ≤ 1 | 202) | Posouzení průřezu - ohyb okolo z, smyk a osová síla podle 6.2.9.2 - třída 3 | |
| | 8.200 | KZ131 | 0.04 | ≤ 1 | 211) | Posouzení průřezu - ohyb okolo z, smyk a osová síla podle 6.2.9.3 - třída 4 | |
| | 4.150 | KZ93 | 0.14 | ≤ 1 | 221) | Posouzení průřezu - dvouosý ohyb, smyk a osová síla podle 6.2.10 a 6.2.9 | |
| | 2.075 | KZ42 | 0.12 | ≤ 1 | 222) | Posouzení průřezu - dvouosý ohyb, smyk a osová síla podle 6.2.10 a 6.2.9 - třída 3 | |
| | 0.000 | KZ42 | 0.18 | ≤ 1 | 304) | Posouzení stability - vzpěr okolo y podle 6.3.1.1 a 6.3.1.2 - třída 4 | |
| | 0.000 | KZ42 | 0.18 | ≤ 1 | 314) | Posouzení stability - vzpěr okolo z podle 6.3.1.1 a 6.3.1.2 - třída 4 | |
| | 0.000 | KZ61 | 0.05 | ≤ 1 | 323) | Posouzení stability - vzpěr zkroucením podle 6.3.1.4 a 6.3.1.2(4) - třída 4 | |
| | 0.000 | KZ42 | 0.07 | ≤ 1 | 324) | Posouzení stability - vzpěr zkroucením podle 6.3.1.4 a 6.3.1.2 - třída 4 | |
| | 8.300 | KZ40 | 0.27 | ≤ 1 | 331) | Posouzení stability - klopení podle 6.3.2.1 a 6.3.2.3 - I průřez | |
| | 4.150 | KZ40 | 0.34 | ≤ 1 | 363) | Posouzení stability - dvouosý ohyb podle 6.3.3, metoda 2 | |
| | 0.000 | KZ42 | 0.44 | ≤ 1 | 364) | Posouzení stability - ohyb a tlak podle 6.3.3, metoda 2 | |
| | 2 | Průřez č. 1 - IPE 300 Feron - DIN 1025-5:1994 | | | | | |
| | | 5.743 | KZ95 | 0.01 | ≤ 1 | 101) | Posouzení průřezu - tah podle 6.2.3 |
| | | 1.914 | KZ47 | 0.01 | ≤ 1 | 102) | Posouzení průřezu - tlak podle 6.2.4 |
| 0.000 | | KZ47 | 0.02 | ≤ 1 | 103) | Posouzení průřezu - tlak podle 6.2.4 - třída 4 | |
| 5.743 | | KZ101 | 0.02 | ≤ 1 | 111) | Posouzení průřezu - ohyb okolo y podle 6.2.5 - třída 1 nebo 2 | |
| 5.743 | | KZ79 | 0.00 | ≤ 1 | 112) | Posouzení průřezu - ohyb okolo z podle 6.2.5 - třída 3 | |
| 5.743 | | KZ95 | 0.02 | ≤ 1 | 121) | Posouzení průřezu - smyk ve směru z podle 6.2.6 | |
| 5.743 | | KZ32 | 0.03 | ≤ 1 | 122) | Posouzení průřezu - smyk ve směru z podle 6.2.6(4) - třída 3 nebo 4 | |
| 5.743 | | KZ91 | 0.01 | ≤ 1 | 123) | Posouzení průřezu - smyk ve směru y podle 6.2.6 | |
| 5.743 | | KZ90 | 0.02 | ≤ 1 | 124) | Posouzení průřezu - posouvající síla ve směru y podle 6.2.6(4) - třída 3 nebo 4 | |
| 0.000 | | KZ2 | 0.00 | ≤ 1 | 126) | Posouzení průřezu - smykové boulení podle 6.2.6(6) | |
| 5.743 | | KZ101 | 0.02 | ≤ 1 | 141) | Posouzení průřezu - ohyb a smyk podle 6.2.5 a 6.2.8 | |
| 5.743 | | KZ79 | 0.00 | ≤ 1 | 142) | Posouzení průřezu - ohyb a smyk podle 6.2.9.2 a 6.2.10 - třída 3 | |
| 3.829 | | KZ91 | 0.24 | ≤ 1 | 161) | Posouzení průřezu - dvouosý ohyb a smyk podle 6.2.6, 6.2.7 a 6.2.9 | |
| 5.743 | | KZ95 | 0.04 | ≤ 1 | 181) | Posouzení průřezu - ohyb, smyk a osová síla podle 6.2.9.1 | |
| 3.829 | | KZ45 | 0.04 | ≤ 1 | 182) | Posouzení průřezu - ohyb, smyk a osová síla podle 6.2.9.2 - třída 3 | |
| 3.829 | | KZ55 | 0.24 | ≤ 1 | 202) | Posouzení průřezu - ohyb okolo z, smyk a osová síla podle 6.2.9.2 - třída 3 | |
| 3.829 | | KZ125 | 0.24 | ≤ 1 | 211) | Posouzení průřezu - ohyb okolo z, smyk a osová síla podle 6.2.9.3 - třída 4 | |
| 3.829 | | KZ37 | 0.24 | ≤ 1 | 221) | Posouzení průřezu - dvouosý ohyb, smyk a osová síla podle 6.2.10 a 6.2.9 | |
| 1.914 | | KZ12 | 0.25 | ≤ 1 | 222) | Posouzení průřezu - dvouosý ohyb, smyk a osová síla podle 6.2.10 a 6.2.9 - třída 3 | |
| 0.000 | | KZ2 | 0.05 | ≤ 1 | 303) | Posouzení stability - vzpěr okolo y podle 6.3.1.1 a 6.3.1.2(4) - třída 4 | |
| 0.000 | | KZ47 | 0.05 | ≤ 1 | 304) | Posouzení stability - vzpěr okolo y podle 6.3.1.1 a 6.3.1.2 - třída 4 | |
| 0.000 | | KZ47 | 0.08 | ≤ 1 | 314) | Posouzení stability - vzpěr okolo z podle 6.3.1.1 a 6.3.1.2 - třída 4 | |
| 0.000 | | KZ47 | 0.03 | ≤ 1 | 323) | Posouzení stability - vzpěr zkroucením podle 6.3.1.4 a 6.3.1.2(4) - třída 4 | |
| 5.743 | | KZ32 | 0.12 | ≤ 1 | 331) | Posouzení stability - klopení podle 6.3.2.1 a 6.3.2.3 - I průřez | |
| 1.914 | | KZ91 | 0.32 | ≤ 1 | 363) | Posouzení stability - dvouosý ohyb podle 6.3.3, metoda 2 | |
| 0.000 | | KZ28 | 0.50 | ≤ 1 | 364) | Posouzení stability - ohyb a tlak podle 6.3.3, metoda 2 | |
| 3 | Průřez č. 18 - IPE 240 Feron - DIN 1025-5:1994 | | | | | | |
| | 9.071 | KZ21 | 0.00 | ≤ 1 | 100) | Zanedbatelné vnitřní síly | |
| | 10.204 | KZ97 | 0.02 | ≤ 1 | 101) | Posouzení průřezu - tah podle 6.2.3 | |
| | 12.754 | KZ36 | 0.01 | ≤ 1 | 102) | Posouzení průřezu - tlak podle 6.2.4 | |
| | 1.814 | KZ53 | 0.08 | ≤ 1 | 111) | Posouzení průřezu - ohyb okolo y podle 6.2.5 - třída 1 nebo 2 | |
| | 4.536 | KZ33 | 0.02 | ≤ 1 | 116) | Posouzení průřezu - ohyb okolo z podle 6.2.5 - třída 1 nebo 2 | |
| | 5.102 | KZ51 | 0.05 | ≤ 1 | 121) | Posouzení průřezu - smyk ve směru z podle 6.2.6 | |
| | 2.268 | KZ40 | 0.01 | ≤ 1 | 123) | Posouzení průřezu - smyk ve směru y podle 6.2.6 | |
| | 0.000 | KZ1 | 0.00 | ≤ 1 | 126) | Posouzení průřezu - smykové boulení podle 6.2.6(6) | |
| | 1.814 | KZ53 | 0.08 | ≤ 1 | 141) | Posouzení průřezu - ohyb a smyk podle 6.2.5 a 6.2.8 | |
| | 4.536 | KZ33 | 0.02 | ≤ 1 | 151) | Posouzení průřezu - ohyb okolo z a smyk podle 6.2.5 a 6.2.8 | |



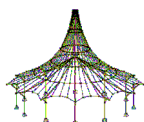
Projekt:

Model: AMZ Group 17-05-51

Datum: 25.05.2018

2.4 POSOUZENÍ PO PRUTECH

| Prut č. | Místo x [m] | ZS/KZ/ KV | Návrh | | Podle vzorce | |
|------------|---|--------------|-------|-----|-----------------|--|
| | 15.309 | KZ40 | 0.04 | ≤ 1 | 161) | Posouzení průřezu - dvouosý ohyb a smyk podle 6.2.6, 6.2.7 a 6.2.9 |
| | 20.411 | KZ95 | 0.12 | ≤ 1 | 181) | Posouzení průřezu - ohyb, smyk a osová síla podle 6.2.9.1 |
| | 13.607 | KZ26 | 0.04 | ≤ 1 | 201) | Posouzení průřezu - ohyb okolo z, smyk a osová síla podle 6.2.9.1 |
| | 5.102 | KZ40 | 0.05 | ≤ 1 | 221) | Posouzení průřezu - dvouosý ohyb, smyk a osová síla podle 6.2.10 a 6.2.9 |
| | 1.814 | KZ55 | 0.18 | ≤ 1 | 331) | Posouzení stability - klopení podle 6.3.2.1 a 6.3.2.3 - I průřez |
| | 7.652 | KZ59 | 0.20 | ≤ 1 | 363) | Posouzení stability - dvouosý ohyb podle 6.3.3, metoda 2 |
| | 10.204 | KZ59 | 0.23 | ≤ 1 | 364) | Posouzení stability - ohyb a tlak podle 6.3.3, metoda 2 |
| | Průřez č. 1 - IPE 300 Ferona - DIN 1025-5:1994 | | | | | |
| | 3.511 | KZ93 | 0.02 | ≤ 1 | 101) | Posouzení průřezu - tah podle 6.2.3 |
| | 3.511 | KZ12 | 0.04 | ≤ 1 | 102) | Posouzení průřezu - tlak podle 6.2.4 |
| 4 | 0.000 | KZ12 | 0.04 | ≤ 1 | 103) | Posouzení průřezu - tlak podle 6.2.4 - třída 4 |
| | 3.511 | KZ95 | 0.10 | ≤ 1 | 111) | Posouzení průřezu - ohyb okolo y podle 6.2.5 - třída 1 nebo 2 |
| | 7.661 | KZ93 | 0.03 | ≤ 1 | 121) | Posouzení průřezu - smyk ve směru z podle 6.2.6 |
| | 7.661 | KZ39 | 0.04 | ≤ 1 | 122) | Posouzení průřezu - smyk ve směru z podle 6.2.6(4) - třída 3 nebo 4 |
| | 0.000 | KZ4 | 0.00 | ≤ 1 | 126) | Posouzení průřezu - smykové boulení podle 6.2.6(6) |
| | 3.511 | KZ95 | 0.10 | ≤ 1 | 141) | Posouzení průřezu - ohyb a smyk podle 6.2.5 a 6.2.8 |
| | 3.511 | KZ93 | 0.03 | ≤ 1 | 161) | Posouzení průřezu - dvouosý ohyb a smyk podle 6.2.6, 6.2.7 a 6.2.9 |
| | 3.511 | KZ100 | 0.15 | ≤ 1 | 181) | Posouzení průřezu - ohyb, smyk a osová síla podle 6.2.9.1 |
| | 3.511 | KZ47 | 0.12 | ≤ 1 | 182) | Posouzení průřezu - ohyb, smyk a osová síla podle 6.2.9.2 - třída 3 |
| | 3.511 | KZ93 | 0.03 | ≤ 1 | 221) | Posouzení průřezu - dvouosý ohyb, smyk a osová síla podle 6.2.10 a 6.2.9 |
| | 3.511 | KZ12 | 0.13 | ≤ 1 | 222) | Posouzení průřezu - dvouosý ohyb, smyk a osová síla podle 6.2.10 a 6.2.9 - třída 3 |
| | 0.000 | KZ12 | 0.05 | ≤ 1 | 303) | Posouzení stability - vzpěr okolo y podle 6.3.1.1 a 6.3.1.2(4) - třída 4 |
| | 0.000 | KZ12 | 0.22 | ≤ 1 | 314) | Posouzení stability - vzpěr okolo z podle 6.3.1.1 a 6.3.1.2 - třída 4 |
| | 0.000 | KZ118 | 0.06 | ≤ 1 | 323) | Posouzení stability - vzpěr zkroucením podle 6.3.1.4 a 6.3.1.2(4) - třída 4 |
| | 0.000 | KZ12 | 0.09 | ≤ 1 | 324) | Posouzení stability - vzpěr zkroucením podle 6.3.1.4 a 6.3.1.2 - třída 4 |
| | 3.511 | KZ100 | 0.33 | ≤ 1 | 331) | Posouzení stability - klopení podle 6.3.2.1 a 6.3.2.3 - I průřez |
| | 3.511 | KZ93 | 0.33 | ≤ 1 | 363) | Posouzení stability - dvouosý ohyb podle 6.3.3, metoda 2 |
| | 0.000 | KZ36 | 0.50 | ≤ 1 | 364) | Posouzení stability - ohyb a tlak podle 6.3.3, metoda 2 |
| | Průřez č. 1 - IPE 300 Ferona - DIN 1025-5:1994 | | | | | |
| 5 | 7.021 | KZ95 | 0.01 | ≤ 1 | 101) | Posouzení průřezu - tah podle 6.2.3 |
| | 3.511 | KZ31 | 0.04 | ≤ 1 | 102) | Posouzení průřezu - tlak podle 6.2.4 |
| | 0.000 | KZ31 | 0.04 | ≤ 1 | 103) | Posouzení průřezu - tlak podle 6.2.4 - třída 4 |
| | 3.511 | KZ91 | 0.11 | ≤ 1 | 111) | Posouzení průřezu - ohyb okolo y podle 6.2.5 - třída 1 nebo 2 |
| | 7.021 | KZ91 | 0.03 | ≤ 1 | 121) | Posouzení průřezu - smyk ve směru z podle 6.2.6 |
| | 7.021 | KZ21 | 0.04 | ≤ 1 | 122) | Posouzení průřezu - smyk ve směru z podle 6.2.6(4) - třída 3 nebo 4 |
| | 0.000 | KZ4 | 0.00 | ≤ 1 | 126) | Posouzení průřezu - smykové boulení podle 6.2.6(6) |
| | 3.511 | KZ91 | 0.11 | ≤ 1 | 141) | Posouzení průřezu - ohyb a smyk podle 6.2.5 a 6.2.8 |
| | 3.511 | KZ91 | 0.11 | ≤ 1 | 181) | Posouzení průřezu - ohyb, smyk a osová síla podle 6.2.9.1 |
| | 3.511 | KZ50 | 0.10 | ≤ 1 | 182) | Posouzení průřezu - ohyb, smyk a osová síla podle 6.2.9.2 - třída 3 |
| | 3.511 | KZ93 | 0.02 | ≤ 1 | 221) | Posouzení průřezu - dvouosý ohyb, smyk a osová síla podle 6.2.10 a 6.2.9 |
| | 0.000 | KZ31 | 0.05 | ≤ 1 | 303) | Posouzení stability - vzpěr okolo y podle 6.3.1.1 a 6.3.1.2(4) - třída 4 |
| | 7.021 | KZ63 | 0.05 | ≤ 1 | 313) | Posouzení stability - vzpěr okolo z podle 6.3.1.1 a 6.3.1.2(4) - třída 4 |
| | 0.000 | KZ31 | 0.18 | ≤ 1 | 314) | Posouzení stability - vzpěr okolo z podle 6.3.1.1 a 6.3.1.2 - třída 4 |
| | 0.000 | KZ92 | 0.06 | ≤ 1 | 323) | Posouzení stability - vzpěr zkroucením podle 6.3.1.4 a 6.3.1.2(4) - třída 4 |
| | 0.000 | KZ31 | 0.09 | ≤ 1 | 324) | Posouzení stability - vzpěr zkroucením podle 6.3.1.4 a 6.3.1.2 - třída 4 |
| | 3.511 | KZ91 | 0.23 | ≤ 1 | 331) | Posouzení stability - klopení podle 6.3.2.1 a 6.3.2.3 - I průřez |
| | 0.000 | KZ31 | 0.42 | ≤ 1 | 364) | Posouzení stability - ohyb a tlak podle 6.3.3, metoda 2 |
| | Průřez č. 1 - IPE 300 Ferona - DIN 1025-5:1994 | | | | | |
| 6 | 6.382 | KZ95 | 0.01 | ≤ 1 | 101) | Posouzení průřezu - tah podle 6.2.3 |
| | 3.511 | KZ51 | 0.02 | ≤ 1 | 102) | Posouzení průřezu - tlak podle 6.2.4 |
| | 0.000 | KZ51 | 0.03 | ≤ 1 | 103) | Posouzení průřezu - tlak podle 6.2.4 - třída 4 |
| | 3.511 | KZ91 | 0.10 | ≤ 1 | 111) | Posouzení průřezu - ohyb okolo y podle 6.2.5 - třída 1 nebo 2 |
| | 6.382 | KZ91 | 0.03 | ≤ 1 | 121) | Posouzení průřezu - smyk ve směru z podle 6.2.6 |
| | 0.000 | KZ91 | 0.04 | ≤ 1 | 122) | Posouzení průřezu - smyk ve směru z podle 6.2.6(4) - třída 3 nebo 4 |
| | 0.000 | KZ4 | 0.00 | ≤ 1 | 126) | Posouzení průřezu - smykové boulení podle 6.2.6(6) |
| | 3.511 | KZ91 | 0.10 | ≤ 1 | 141) | Posouzení průřezu - ohyb a smyk podle 6.2.5 a 6.2.8 |
| | 3.511 | KZ93 | 0.02 | ≤ 1 | 161) | Posouzení průřezu - dvouosý ohyb a smyk podle 6.2.6, 6.2.7 a 6.2.9 |
| | 3.511 | KZ21 | 0.10 | ≤ 1 | 181) | Posouzení průřezu - ohyb, smyk a osová síla podle 6.2.9.1 |
| | 3.511 | KZ49 | 0.08 | ≤ 1 | 182) | Posouzení průřezu - ohyb, smyk a osová síla podle 6.2.9.2 - třída 3 |
| | 3.511 | KZ101 | 0.02 | ≤ 1 | 221) | Posouzení průřezu - dvouosý ohyb, smyk a osová síla podle 6.2.10 a 6.2.9 |
| | 3.511 | KZ59 | 0.07 | ≤ 1 | 222) | Posouzení průřezu - dvouosý ohyb, smyk a osová síla podle 6.2.10 a 6.2.9 - třída 3 |
| | 0.000 | KZ51 | 0.03 | ≤ 1 | 303) | Posouzení stability - vzpěr okolo y podle 6.3.1.1 a 6.3.1.2(4) - třída 4 |



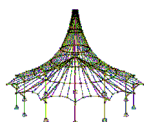
Projekt:

Model: AMZ Group 17-05-51

Datum: 25.05.2018

2.4 POSOUZENÍ PO PRUTECH

| Prut č. | Místo x [m] | ZS/KZ/ KV | Návrh | | Podle vzorce | |
|------------|---|--------------|-------|-----|-----------------|--|
| 10 | 0.000 | KZ134 | 0.05 | ≤ 1 | 313) | Posouzení stability - vzpěr okolo z podle 6.3.1.1 a 6.3.1.2(4) - třída 4 |
| | 0.000 | KZ51 | 0.10 | ≤ 1 | 314) | Posouzení stability - vzpěr okolo z podle 6.3.1.1 a 6.3.1.2 - třída 4 |
| | 0.000 | KZ51 | 0.05 | ≤ 1 | 323) | Posouzení stability - vzpěr zkroucením podle 6.3.1.4 a 6.3.1.2(4) - třída 4 |
| | 3.511 | KZ91 | 0.19 | ≤ 1 | 331) | Posouzení stability - klopení podle 6.3.2.1 a 6.3.2.3 - I průřez |
| | 3.511 | KZ90 | 0.19 | ≤ 1 | 363) | Posouzení stability - dvouosý ohyb podle 6.3.3, metoda 2 |
| | 0.000 | KZ36 | 0.27 | ≤ 1 | 364) | Posouzení stability - ohyb a tlak podle 6.3.3, metoda 2 |
| | Průřez č. 19 - IPE 450 Feron - DIN 1025-5:1994 | | | | | |
| | 2.000 | KZ91 | 0.00 | ≤ 1 | 100) | Zanedbatelné vnitřní síly |
| | 4.000 | KZ93 | 0.01 | ≤ 1 | 101) | Posouzení průřezu - tah podle 6.2.3 |
| | 2.000 | KZ12 | 0.05 | ≤ 1 | 102) | Posouzení průřezu - tlak podle 6.2.4 |
| | 0.000 | KZ12 | 0.05 | ≤ 1 | 103) | Posouzení průřezu - tlak podle 6.2.4 - třída 4 |
| | 2.000 | KZ31 | 0.04 | ≤ 1 | 111) | Posouzení průřezu - ohyb okolo y podle 6.2.5 - třída 1 nebo 2 |
| | 2.000 | KZ12 | 0.08 | ≤ 1 | 121) | Posouzení průřezu - smyk ve směru z podle 6.2.6 |
| | 0.000 | KZ12 | 0.11 | ≤ 1 | 122) | Posouzení průřezu - smyk ve směru z podle 6.2.6(4) - třída 3 nebo 4 |
| | 0.000 | KZ1 | 0.00 | ≤ 1 | 126) | Posouzení průřezu - smykové boulení podle 6.2.6(6) |
| | 2.000 | KZ31 | 0.04 | ≤ 1 | 141) | Posouzení průřezu - ohyb a smyk podle 6.2.5 a 6.2.8 |
| | 4.000 | KZ27 | 0.01 | ≤ 1 | 161) | Posouzení průřezu - dvouosý ohyb a smyk podle 6.2.6, 6.2.7 a 6.2.9 |
| | 4.000 | KZ12 | 0.55 | ≤ 1 | 181) | Posouzení průřezu - ohyb, smyk a osová síla podle 6.2.9.1 |
| | 2.000 | KZ30 | 0.10 | ≤ 1 | 182) | Posouzení průřezu - ohyb, smyk a osová síla podle 6.2.9.2 - třída 3 |
| | 4.000 | KZ18 | 0.28 | ≤ 1 | 221) | Posouzení průřezu - dvouosý ohyb, smyk a osová síla podle 6.2.10 a 6.2.9 |
| | 0.000 | KZ47 | 0.06 | ≤ 1 | 303) | Posouzení stability - vzpěr okolo y podle 6.3.1.1 a 6.3.1.2(4) - třída 4 |
| | 0.000 | KZ13 | 0.07 | ≤ 1 | 304) | Posouzení stability - vzpěr okolo y podle 6.3.1.1 a 6.3.1.2 - třída 4 |
| 11 | 0.000 | KZ64 | 0.05 | ≤ 1 | 313) | Posouzení stability - vzpěr okolo z podle 6.3.1.1 a 6.3.1.2(4) - třída 4 |
| | 0.000 | KZ13 | 0.11 | ≤ 1 | 314) | Posouzení stability - vzpěr okolo z podle 6.3.1.1 a 6.3.1.2 - třída 4 |
| | 0.000 | KZ13 | 0.07 | ≤ 1 | 323) | Posouzení stability - vzpěr zkroucením podle 6.3.1.4 a 6.3.1.2(4) - třída 4 |
| | 4.000 | KZ93 | 0.24 | ≤ 1 | 331) | Posouzení stability - klopení podle 6.3.2.1 a 6.3.2.3 - I průřez |
| | 4.000 | KZ35 | 0.18 | ≤ 1 | 363) | Posouzení stability - dvouosý ohyb podle 6.3.3, metoda 2 |
| | 0.000 | KZ12 | 0.82 | ≤ 1 | 364) | Posouzení stability - ohyb a tlak podle 6.3.3, metoda 2 |
| | Průřez č. 2 - IPE 400 Feron - DIN 1025-5:1994 | | | | | |
| | 2.872 | KZ97 | 0.01 | ≤ 1 | 101) | Posouzení průřezu - tah podle 6.2.3 |
| | 2.872 | KZ16 | 0.05 | ≤ 1 | 102) | Posouzení průřezu - tlak podle 6.2.4 |
| | 0.000 | KZ16 | 0.06 | ≤ 1 | 103) | Posouzení průřezu - tlak podle 6.2.4 - třída 4 |
| | 2.943 | KZ21 | 0.06 | ≤ 1 | 111) | Posouzení průřezu - ohyb okolo y podle 6.2.5 - třída 1 nebo 2 |
| | 2.872 | KZ14 | 0.09 | ≤ 1 | 121) | Posouzení průřezu - smyk ve směru z podle 6.2.6 |
| | 0.000 | KZ14 | 0.14 | ≤ 1 | 122) | Posouzení průřezu - smyk ve směru z podle 6.2.6(4) - třída 3 nebo 4 |
| | 0.000 | KZ1 | 0.00 | ≤ 1 | 126) | Posouzení průřezu - smykové boulení podle 6.2.6(6) |
| | 2.943 | KZ21 | 0.06 | ≤ 1 | 141) | Posouzení průřezu - ohyb a smyk podle 6.2.5 a 6.2.8 |
| | 2.872 | KZ97 | 0.02 | ≤ 1 | 161) | Posouzení průřezu - dvouosý ohyb a smyk podle 6.2.6, 6.2.7 a 6.2.9 |
| | 2.943 | KZ14 | 0.54 | ≤ 1 | 181) | Posouzení průřezu - ohyb, smyk a osová síla podle 6.2.9.1 |
| | 2.943 | KZ29 | 0.04 | ≤ 1 | 182) | Posouzení průřezu - ohyb, smyk a osová síla podle 6.2.9.2 - třída 3 |
| | 2.943 | KZ16 | 0.27 | ≤ 1 | 221) | Posouzení průřezu - dvouosý ohyb, smyk a osová síla podle 6.2.10 a 6.2.9 |
| | 2.943 | KZ20 | 0.04 | ≤ 1 | 222) | Posouzení průřezu - dvouosý ohyb, smyk a osová síla podle 6.2.10 a 6.2.9 - třída 3 |
| | 2.872 | KZ90 | 0.02 | ≤ 1 | 301) | Posouzení stability - vzpěr okolo y podle 6.3.1.1 a 6.3.1.2(4) |
| | 0.000 | KZ54 | 0.05 | ≤ 1 | 303) | Posouzení stability - vzpěr okolo y podle 6.3.1.1 a 6.3.1.2(4) - třída 4 |
| 12 | 0.000 | KZ60 | 0.08 | ≤ 1 | 304) | Posouzení stability - vzpěr okolo y podle 6.3.1.1 a 6.3.1.2 - třída 4 |
| | 2.872 | KZ90 | 0.02 | ≤ 1 | 311) | Posouzení stability - vzpěr okolo z podle 6.3.1.1 a 6.3.1.2(4) |
| | 0.000 | KZ118 | 0.05 | ≤ 1 | 313) | Posouzení stability - vzpěr okolo z podle 6.3.1.1 a 6.3.1.2(4) - třída 4 |
| | 0.000 | KZ60 | 0.09 | ≤ 1 | 314) | Posouzení stability - vzpěr okolo z podle 6.3.1.1 a 6.3.1.2 - třída 4 |
| | 2.872 | KZ90 | 0.01 | ≤ 1 | 321) | Posouzení stability - vzpěr zkroucením podle 6.3.1.4 a 6.3.1.2(4) |
| | 0.000 | KZ60 | 0.06 | ≤ 1 | 323) | Posouzení stability - vzpěr zkroucením podle 6.3.1.4 a 6.3.1.2(4) - třída 4 |
| | 2.943 | KZ91 | 0.10 | ≤ 1 | 331) | Posouzení stability - klopení podle 6.3.2.1 a 6.3.2.3 - I průřez |
| | 2.872 | KZ101 | 0.15 | ≤ 1 | 363) | Posouzení stability - dvouosý ohyb podle 6.3.3, metoda 2 |
| | 0.000 | KZ14 | 0.73 | ≤ 1 | 364) | Posouzení stability - ohyb a tlak podle 6.3.3, metoda 2 |
| | Průřez č. 7 - IPE 400 + IPE 450-400 Feron - DIN 1025-5:1994 + Feron - DIN 1025-5:1994 ... 8 - IPE 400 + IPE 450-60 Feron - DIN 1025-5:1994 + Feron - DIN 1025-5:1994 | | | | | |
| | 4.502 | KZ97 | 0.01 | ≤ 1 | 101) | Posouzení průřezu - tah podle 6.2.3 |
| | 4.502 | KZ12 | 0.02 | ≤ 1 | 102) | Posouzení průřezu - tlak podle 6.2.4 |
| | 4.502 | KZ14 | 0.02 | ≤ 1 | 103) | Posouzení průřezu - tlak podle 6.2.4 - třída 4 |
| | 4.502 | KZ93 | 0.12 | ≤ 1 | 112) | Posouzení průřezu - ohyb okolo y podle 6.2.5 - třída 3 |
| | 2.269 | KZ14 | 0.11 | ≤ 1 | 122) | Posouzení průřezu - smyk ve směru z podle 6.2.6(4) - třída 3 nebo 4 |
| | 4.502 | KZ36 | 0.01 | ≤ 1 | 131) | Posouzení průřezu - kroucení podle 6.2.7 |
| | 2.269 | KZ14 | 0.11 | ≤ 1 | 133) | Posouzení průřezu - kroucení a smyk podle 6.2.7(5) |
| | 4.502 | KZ93 | 0.12 | ≤ 1 | 143) | Posouzení průřezu - ohyb a smyk podle 6.2.9.2 a 6.2.10 - třída 3 - obecný průřez |
| | 0.000 | KZ24 | 0.09 | ≤ 1 | 148) | Posouzení průřezu - ohyb, smyk a kroucení podle 6.2.9.2 a 6 |



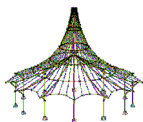
Projekt:

Model: AMZ Group 17-05-51

Datum: 25.05.2018

2.4 POSOUZENÍ PO PRUTECH

| Prut č. | Místo x [m] | ZS/KZ/ KV | Návrh | | Podle vzorce | |
|------------|--|--------------|-------|-----|-----------------|--|
| | 2.269 | KZ33 | 0.06 | ≤ 1 | 163) | 6.2.10 - třída 3 - obecný průřez Posouzení průřezu - dvouosý ohyb a smyk podle 6.2.9.2 a 6.2.10 - třída 3 - obecný průřez |
| | 4.502 | KZ93 | 0.14 | ≤ 1 | 168) | Posouzení průřezu - dvouosý ohyb, smyk a kroucení podle 6.2.9.2 a 6.2.10 - třída 3 - obecný průřez |
| | 0.000 | KZ14 | 0.43 | ≤ 1 | 183) | Posouzení průřezu - ohyb, smyk a osová síla podle 6.2.9.2 - třída 3 - obecný průřez |
| | 0.000 | KZ16 | 0.40 | ≤ 1 | 188) | Posouzení průřezu - ohyb, smyk, kroucení a osová síla podle 6.2.9.2 - třída 3 - obecný průřez |
| | 4.502 | KZ84 | 0.03 | ≤ 1 | 203) | Posouzení průřezu - ohyb okolo z, smyk a osová síla podle 6.2.9.2 - třída 3 - obecný průřez |
| | 4.502 | KZ84 | 0.03 | ≤ 1 | 208) | Posouzení průřezu - ohyb okolo z, smyk, kroucení a osová síla podle 6.2.9.2 - třída 3 - obecný průřez |
| | 4.502 | KZ14 | 0.03 | ≤ 1 | 211) | Posouzení průřezu - ohyb okolo z, smyk a osová síla podle 6.2.9.3 - třída 4 |
| | 4.502 | KZ14 | 0.03 | ≤ 1 | 216) | Posouzení průřezu - ohyb okolo z, smyk, kroucení a osová síla podle 6.2.9.3 - třída 4 |
| | 2.269 | KZ16 | 0.21 | ≤ 1 | 223) | Posouzení průřezu - dvouosý ohyb, smyk a osová síla podle 6.2.10 a 6.2.9 - třída 3 - obecný průřez |
| | 1.815 | KZ16 | 0.25 | ≤ 1 | 228) | Posouzení průřezu - dvouosý ohyb, smyk, kroucení a osová síla podle 6.2.10 a 6.2.9 - třída 3 - obecný průřez |
| | 0.000 | KZ16 | 0.40 | ≤ 1 | 271) | Posouzení průřezu - normálové napětí a kroucení - elastické posouzení |
| | 0.000 | KZ14 | 0.55 | ≤ 1 | 371) | Posouzení stability - ohyb a tlak podle 6.3.4, obecná metoda |
| 13 | Průřez č. 1 - IPE 300 Feron - DIN 1025-5:1994 | | | | | |
| | 8.300 | KZ97 | 0.00 | ≤ 1 | 101) | Posouzení průřezu - tah podle 6.2.3 |
| | 2.075 | KZ12 | 0.01 | ≤ 1 | 102) | Posouzení průřezu - tlak podle 6.2.4 |
| | 0.000 | KZ12 | 0.01 | ≤ 1 | 103) | Posouzení průřezu - tlak podle 6.2.4 - třída 4 |
| | 8.300 | KZ27 | 0.07 | ≤ 1 | 111) | Posouzení průřezu - ohyb okolo y podle 6.2.5 - třída 1 nebo 2 |
| | 8.300 | KZ24 | 0.00 | ≤ 1 | 112) | Posouzení průřezu - ohyb okolo y podle 6.2.5 - třída 3 |
| | 7.874 | KZ96 | 0.02 | ≤ 1 | 116) | Posouzení průřezu - ohyb okolo z podle 6.2.5 - třída 1 nebo 2 |
| | 7.874 | KZ11 | 0.02 | ≤ 1 | 117) | Posouzení průřezu - ohyb okolo z podle 6.2.5 - třída 3 |
| | 8.300 | KZ97 | 0.03 | ≤ 1 | 121) | Posouzení průřezu - smyk ve směru z podle 6.2.6 |
| | 0.000 | KZ43 | 0.03 | ≤ 1 | 122) | Posouzení průřezu - smyk ve směru z podle 6.2.6(4) - třída 3 nebo 4 |
| | 4.150 | KZ30 | 0.01 | ≤ 1 | 123) | Posouzení průřezu - smyk ve směru y podle 6.2.6 |
| | 4.150 | KZ38 | 0.02 | ≤ 1 | 124) | Posouzení průřezu - posouvající síla ve směru y podle 6.2.6(4) - třída 3 nebo 4 |
| | 0.000 | KZ3 | 0.00 | ≤ 1 | 126) | Posouzení průřezu - smykové boulení podle 6.2.6(6) |
| | 8.300 | KZ27 | 0.07 | ≤ 1 | 141) | Posouzení průřezu - ohyb a smyk podle 6.2.5 a 6.2.8 |
| | 8.300 | KZ24 | 0.00 | ≤ 1 | 142) | Posouzení průřezu - ohyb a smyk podle 6.2.9.2 a 6.2.10 - třída 3 |
| | 7.874 | KZ96 | 0.02 | ≤ 1 | 151) | Posouzení průřezu - ohyb okolo z a smyk podle 6.2.5 a 6.2.8 |
| | 7.874 | KZ11 | 0.02 | ≤ 1 | 152) | Posouzení průřezu - ohyb okolo z a smyk podle 6.2.5 a 6.2.10 - třída 3 |
| | 4.150 | KZ35 | 0.09 | ≤ 1 | 161) | Posouzení průřezu - dvouosý ohyb a smyk podle 6.2.6, 6.2.7 a 6.2.9 |
| | 8.300 | KZ14 | 0.09 | ≤ 1 | 181) | Posouzení průřezu - ohyb, smyk a osová síla podle 6.2.9.1 |
| | 2.075 | KZ3 | 0.03 | ≤ 1 | 182) | Posouzení průřezu - ohyb, smyk a osová síla podle 6.2.9.2 - třída 3 |
| | 4.150 | KZ49 | 0.08 | ≤ 1 | 202) | Posouzení průřezu - ohyb okolo z, smyk a osová síla podle 6.2.9.2 - třída 3 |
| | 2.075 | KZ49 | 0.04 | ≤ 1 | 211) | Posouzení průřezu - ohyb okolo z, smyk a osová síla podle 6.2.9.3 - třída 4 |
| | 4.150 | KZ43 | 0.10 | ≤ 1 | 221) | Posouzení průřezu - dvouosý ohyb, smyk a osová síla podle 6.2.10 a 6.2.9 |
| | 4.150 | KZ38 | 0.14 | ≤ 1 | 222) | Posouzení průřezu - dvouosý ohyb, smyk a osová síla podle 6.2.10 a 6.2.9 - třída 3 |
| | 0.000 | KZ12 | 0.09 | ≤ 1 | 304) | Posouzení stability - vzpěr okolo y podle 6.3.1.1 a 6.3.1.2 - třída 4 |
| | 0.000 | KZ12 | 0.08 | ≤ 1 | 314) | Posouzení stability - vzpěr okolo z podle 6.3.1.1 a 6.3.1.2 - třída 4 |
| | 0.000 | KZ12 | 0.03 | ≤ 1 | 323) | Posouzení stability - vzpěr zkroucením podle 6.3.1.4 a 6.3.1.2(4) - třída 4 |
| | 8.300 | KZ43 | 0.26 | ≤ 1 | 331) | Posouzení stability - klopení podle 6.3.2.1 a 6.3.2.3 - I průřez |
| | 2.075 | KZ43 | 0.34 | ≤ 1 | 363) | Posouzení stability - dvouosý ohyb podle 6.3.3, metoda 2 |
| | 0.000 | KZ19 | 0.36 | ≤ 1 | 364) | Posouzení stability - ohyb a tlak podle 6.3.3, metoda 2 |
| 14 | Průřez č. 1 - IPE 300 Feron - DIN 1025-5:1994 | | | | | |
| | 5.743 | KZ97 | 0.01 | ≤ 1 | 101) | Posouzení průřezu - tah podle 6.2.3 |
| | 3.298 | KZ14 | 0.02 | ≤ 1 | 102) | Posouzení průřezu - tlak podle 6.2.4 |
| | 0.000 | KZ14 | 0.03 | ≤ 1 | 103) | Posouzení průřezu - tlak podle 6.2.4 - třída 4 |
| | 5.743 | KZ93 | 0.02 | ≤ 1 | 111) | Posouzení průřezu - ohyb okolo y podle 6.2.5 - třída 1 nebo 2 |
| | 3.298 | KZ99 | 0.34 | ≤ 1 | 116) | Posouzení průřezu - ohyb okolo z podle 6.2.5 - třída 1 nebo 2 |
| | 3.298 | KZ105 | 0.30 | ≤ 1 | 117) | Posouzení průřezu - ohyb okolo z podle 6.2.5 - třída 3 |
| | 5.743 | KZ12 | 0.03 | ≤ 1 | 121) | Posouzení průřezu - smyk ve směru z podle 6.2.6 |
| | 3.298 | KZ18 | 0.04 | ≤ 1 | 122) | Posouzení průřezu - smyk ve směru z podle 6.2.6(4) - třída 3 nebo 4 |
| | 5.743 | KZ91 | 0.02 | ≤ 1 | 123) | Posouzení průřezu - smyk ve směru y podle 6.2.6 |
| | 0.000 | KZ91 | 0.02 | ≤ 1 | 124) | Posouzení průřezu - posouvající síla ve směru y podle 6.2.6(4) - třída 3 nebo 4 |
| | 0.000 | KZ4 | 0.00 | ≤ 1 | 126) | Posouzení průřezu - smykové boulení podle 6.2.6(6) |
| | 5.743 | KZ93 | 0.02 | ≤ 1 | 141) | Posouzení průřezu - ohyb a smyk podle 6.2.5 a 6.2.8 |
| | 3.298 | KZ99 | 0.34 | ≤ 1 | 151) | Posouzení průřezu - ohyb okolo z a smyk podle 6.2.5 a 6.2.8 |
| | 3.298 | KZ105 | 0.30 | ≤ 1 | 152) | Posouzení průřezu - ohyb okolo z a smyk podle 6.2.5 a 6.2.10 - třída 3 |
| | 3.298 | KZ91 | 0.34 | ≤ 1 | 161) | Posouzení průřezu - dvouosý ohyb a smyk podle 6.2.6, 6.2.7 a 6.2.9 |
| | 5.743 | KZ14 | 0.15 | ≤ 1 | 181) | Posouzení průřezu - ohyb, smyk a osová síla podle 6.2.9.1 |
| | 3.298 | KZ3 | 0.03 | ≤ 1 | 182) | Posouzení průřezu - ohyb, smyk a osová síla podle 6.2.9.2 - t |



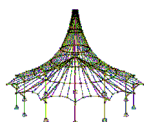
Projekt:

Model: AMZ Group 17-05-51

Datum: 25.05.2018

2.4 POSOUZENÍ PO PRUTECH

| Prut č. | Místo x [m] | ZS/KZ/ KV | Návrh | | Podle vzorce | |
|------------|---|--------------|-------|-----|-----------------|--|
| | 3.298 | KZ97 | 0.19 | ≤ 1 | 201) | třída 3 Posouzení průřezu - ohyb okolo z, smyk a osová síla podle 6.2.9.1 |
| | 3.298 | KZ36 | 0.55 | ≤ 1 | 202) | Posouzení průřezu - ohyb okolo z, smyk a osová síla podle 6.2.9.2 - třída 3 |
| | 3.298 | KZ37 | 0.54 | ≤ 1 | 211) | Posouzení průřezu - ohyb okolo z, smyk a osová síla podle 6.2.9.3 - třída 4 |
| | 3.298 | KZ93 | 0.20 | ≤ 1 | 221) | Posouzení průřezu - dvouosý ohyb, smyk a osová síla podle 6.2.10 a 6.2.9 |
| | 3.298 | KZ12 | 0.35 | ≤ 1 | 222) | Posouzení průřezu - dvouosý ohyb, smyk a osová síla podle 6.2.10 a 6.2.9 - třída 3 |
| | 0.000 | KZ65 | 0.05 | ≤ 1 | 303) | Posouzení stability - vzpěr okolo y podle 6.3.1.1 a 6.3.1.2(4) - třída 4 |
| | 0.000 | KZ14 | 0.08 | ≤ 1 | 304) | Posouzení stability - vzpěr okolo y podle 6.3.1.1 a 6.3.1.2 - třída 4 |
| | 0.000 | KZ14 | 0.12 | ≤ 1 | 314) | Posouzení stability - vzpěr okolo z podle 6.3.1.1 a 6.3.1.2 - třída 4 |
| | 0.000 | KZ14 | 0.05 | ≤ 1 | 323) | Posouzení stability - vzpěr zkroucením podle 6.3.1.4 a 6.3.1.2(4) - třída 4 |
| | 5.743 | KZ34 | 0.13 | ≤ 1 | 331) | Posouzení stability - klopení podle 6.3.2.1 a 6.3.2.3 - I průřez |
| | 3.298 | KZ112 | 0.46 | ≤ 1 | 363) | Posouzení stability - dvouosý ohyb podle 6.3.3, metoda 2 |
| | 0.000 | KZ36 | 0.69 | ≤ 1 | 364) | Posouzení stability - ohyb a tlak podle 6.3.3, metoda 2 |
| 15 | Průřez č. 18 - IPE 240 Feron - DIN 1025-5:1994 | | | | | |
| | 20.411 | KZ97 | 0.01 | ≤ 1 | 101) | Posouzení průřezu - tah podle 6.2.3 |
| | 0.000 | KZ12 | 0.01 | ≤ 1 | 102) | Posouzení průřezu - tlak podle 6.2.4 |
| | 13.607 | KZ3 | 0.32 | ≤ 1 | 111) | Posouzení průřezu - ohyb okolo y podle 6.2.5 - třída 1 nebo 2 |
| | 11.339 | KZ21 | 0.02 | ≤ 1 | 116) | Posouzení průřezu - ohyb okolo z podle 6.2.5 - třída 1 nebo 2 |
| | 6.804 | KZ12 | 0.10 | ≤ 1 | 121) | Posouzení průřezu - smyk ve směru z podle 6.2.6 |
| | 0.000 | KZ1 | 0.00 | ≤ 1 | 126) | Posouzení průřezu - smykové boulení podle 6.2.6(6) |
| | 13.607 | KZ3 | 0.32 | ≤ 1 | 141) | Posouzení průřezu - ohyb a smyk podle 6.2.5 a 6.2.8 |
| | 11.339 | KZ21 | 0.02 | ≤ 1 | 151) | Posouzení průřezu - ohyb okolo z a smyk podle 6.2.5 a 6.2.8 |
| | 6.804 | KZ18 | 0.13 | ≤ 1 | 161) | Posouzení průřezu - dvouosý ohyb a smyk podle 6.2.6, 6.2.7 a 6.2.9 |
| | 6.804 | KZ3 | 0.34 | ≤ 1 | 181) | Posouzení průřezu - ohyb, smyk a osová síla podle 6.2.9.1 |
| | 6.804 | KZ31 | 0.02 | ≤ 1 | 201) | Posouzení průřezu - ohyb okolo z, smyk a osová síla podle 6.2.9.1 |
| | 6.804 | KZ12 | 0.13 | ≤ 1 | 221) | Posouzení průřezu - dvouosý ohyb, smyk a osová síla podle 6.2.10 a 6.2.9 |
| | 6.804 | KZ3 | 0.41 | ≤ 1 | 331) | Posouzení stability - klopení podle 6.3.2.1 a 6.3.2.3 - I průřez |
| | 11.339 | KZ12 | 0.43 | ≤ 1 | 363) | Posouzení stability - dvouosý ohyb podle 6.3.3, metoda 2 |
| | 0.000 | KZ12 | 0.46 | ≤ 1 | 364) | Posouzení stability - ohyb a tlak podle 6.3.3, metoda 2 |
| 16 | Průřez č. 1 - IPE 300 Feron - DIN 1025-5:1994 | | | | | |
| | 7.448 | KZ97 | 0.01 | ≤ 1 | 101) | Posouzení průřezu - tah podle 6.2.3 |
| | 2.075 | KZ18 | 0.04 | ≤ 1 | 102) | Posouzení průřezu - tlak podle 6.2.4 |
| | 0.000 | KZ18 | 0.04 | ≤ 1 | 103) | Posouzení průřezu - tlak podle 6.2.4 - třída 4 |
| | 7.448 | KZ91 | 0.03 | ≤ 1 | 121) | Posouzení průřezu - smyk ve směru z podle 6.2.6 |
| | 7.448 | KZ99 | 0.04 | ≤ 1 | 122) | Posouzení průřezu - smyk ve směru z podle 6.2.6(4) - třída 3 nebo 4 |
| | 0.000 | KZ4 | 0.00 | ≤ 1 | 126) | Posouzení průřezu - smykové boulení podle 6.2.6(6) |
| | 4.150 | KZ35 | 0.06 | ≤ 1 | 161) | Posouzení průřezu - dvouosý ohyb a smyk podle 6.2.6, 6.2.7 a 6.2.9 |
| | 4.150 | KZ108 | 0.08 | ≤ 1 | 181) | Posouzení průřezu - ohyb, smyk a osová síla podle 6.2.9.1 |
| | 4.150 | KZ119 | 0.08 | ≤ 1 | 182) | Posouzení průřezu - ohyb, smyk a osová síla podle 6.2.9.2 - třída 3 |
| | 4.150 | KZ3 | 0.08 | ≤ 1 | 211) | Posouzení průřezu - ohyb okolo z, smyk a osová síla podle 6.2.9.3 - třída 4 |
| | 4.150 | KZ43 | 0.06 | ≤ 1 | 221) | Posouzení průřezu - dvouosý ohyb, smyk a osová síla podle 6.2.10 a 6.2.9 |
| | 4.150 | KZ19 | 0.16 | ≤ 1 | 222) | Posouzení průřezu - dvouosý ohyb, smyk a osová síla podle 6.2.10 a 6.2.9 - třída 3 |
| | 0.000 | KZ18 | 0.05 | ≤ 1 | 303) | Posouzení stability - vzpěr okolo y podle 6.3.1.1 a 6.3.1.2(4) - třída 4 |
| | 0.000 | KZ18 | 0.20 | ≤ 1 | 314) | Posouzení stability - vzpěr okolo z podle 6.3.1.1 a 6.3.1.2 - třída 4 |
| | 7.448 | KZ56 | 0.06 | ≤ 1 | 323) | Posouzení stability - vzpěr zkroucením podle 6.3.1.4 a 6.3.1.2(4) - třída 4 |
| | 0.000 | KZ18 | 0.09 | ≤ 1 | 324) | Posouzení stability - vzpěr zkroucením podle 6.3.1.4 a 6.3.1.2 - třída 4 |
| | 2.075 | KZ93 | 0.18 | ≤ 1 | 363) | Posouzení stability - dvouosý ohyb podle 6.3.3, metoda 2 |
| | 2.075 | KZ12 | 0.35 | ≤ 1 | 364) | Posouzení stability - ohyb a tlak podle 6.3.3, metoda 2 |
| 17 | Průřez č. 1 - IPE 300 Feron - DIN 1025-5:1994 | | | | | |
| | 6.595 | KZ97 | 0.01 | ≤ 1 | 101) | Posouzení průřezu - tah podle 6.2.3 |
| | 3.298 | KZ12 | 0.05 | ≤ 1 | 102) | Posouzení průřezu - tlak podle 6.2.4 |
| | 0.000 | KZ12 | 0.05 | ≤ 1 | 103) | Posouzení průřezu - tlak podle 6.2.4 - třída 4 |
| | 6.595 | KZ91 | 0.02 | ≤ 1 | 121) | Posouzení průřezu - smyk ve směru z podle 6.2.6 |
| | 6.595 | KZ99 | 0.03 | ≤ 1 | 122) | Posouzení průřezu - smyk ve směru z podle 6.2.6(4) - třída 3 nebo 4 |
| | 0.000 | KZ4 | 0.00 | ≤ 1 | 126) | Posouzení průřezu - smykové boulení podle 6.2.6(6) |
| | 3.298 | KZ31 | 0.01 | ≤ 1 | 161) | Posouzení průřezu - dvouosý ohyb a smyk podle 6.2.6, 6.2.7 a 6.2.9 |
| | 4.000 | KZ99 | 0.05 | ≤ 1 | 181) | Posouzení průřezu - ohyb, smyk a osová síla podle 6.2.9.1 |
| | 4.000 | KZ36 | 0.09 | ≤ 1 | 182) | Posouzení průřezu - ohyb, smyk a osová síla podle 6.2.9.2 - třída 3 |
| | 3.298 | KZ3 | 0.06 | ≤ 1 | 211) | Posouzení průřezu - ohyb okolo z, smyk a osová síla podle 6.2.9.3 - třída 4 |
| | 3.298 | KZ104 | 0.01 | ≤ 1 | 221) | Posouzení průřezu - dvouosý ohyb, smyk a osová síla podle 6.2.10 a 6.2.9 |
| | 4.000 | KZ12 | 0.09 | ≤ 1 | 222) | Posouzení průřezu - dvouosý ohyb, smyk a osová síla podle 6.2.10 a 6.2.9 |



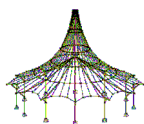
Projekt:

Model: AMZ Group 17-05-51

Datum: 25.05.2018

2.4 POSOUZENÍ PO PRUTECH

| Prut č. | Místo x [m] | ZS/KZ/ KV | Návrh | | Podle vzorce | |
|------------|--|--------------|-------|-----|-----------------|---|
| | 0.000 | KZ12 | 0.06 | ≤ 1 | 303) | 6.2.10 a 6.2.9 - třída 3 Posouzení stability - vzpěr okolo y podle 6.3.1.1 a 6.3.1.2(4) - třída 4 |
| | 6.595 | KZ98 | 0.05 | ≤ 1 | 313) | Posouzení stability - vzpěr okolo z podle 6.3.1.1 a 6.3.1.2(4) - třída 4 |
| | 0.000 | KZ12 | 0.19 | ≤ 1 | 314) | Posouzení stability - vzpěr okolo z podle 6.3.1.1 a 6.3.1.2 - třída 4 |
| | 6.595 | KZ56 | 0.06 | ≤ 1 | 323) | Posouzení stability - vzpěr zkroucením podle 6.3.1.4 a 6.3.1.2(4) - třída 4 |
| | 0.000 | KZ12 | 0.10 | ≤ 1 | 324) | Posouzení stability - vzpěr zkroucením podle 6.3.1.4 a 6.3.1.2 - třída 4 |
| | 4.000 | KZ99 | 0.09 | ≤ 1 | 331) | Posouzení stability - klopení podle 6.3.2.1 a 6.3.2.3 - I průřez |
| | 3.298 | KZ91 | 0.10 | ≤ 1 | 363) | Posouzení stability - dvousý ohyb podle 6.3.3, metoda 2 |
| | 3.298 | KZ12 | 0.25 | ≤ 1 | 364) | Posouzení stability - ohyb a tlak podle 6.3.3, metoda 2 |
| 19 | Průřez č. 3 - RO 101.6x3.2 EN 10210-2:2006 | | | | | |
| | 0.000 | KZ93 | 0.06 | ≤ 1 | 102) | Posouzení průřezu - tlak podle 6.2.4 |
| | 2.250 | KZ1 | 0.07 | ≤ 1 | 111) | Posouzení průřezu - ohyb okolo y podle 6.2.5 - třída 1 nebo 2 |
| | 0.000 | KZ16 | 0.00 | ≤ 1 | 121) | Posouzení průřezu - smyk ve směru z podle 6.2.6 |
| | 2.250 | KZ1 | 0.07 | ≤ 1 | 141) | Posouzení průřezu - ohyb a smyk podle 6.2.5 a 6.2.8 |
| | 2.250 | KZ23 | 0.08 | ≤ 1 | 181) | Posouzení průřezu - ohyb, smyk a osová síla podle 6.2.9.1 |
| | 0.000 | KZ93 | 0.30 | ≤ 1 | 302) | Posouzení stability - vzpěr okolo y podle 6.3.1.1 a 6.3.1.2 |
| | 0.000 | KZ93 | 0.30 | ≤ 1 | 312) | Posouzení stability - vzpěr okolo z podle 6.3.1.1 a 6.3.1.2 |
| | 2.250 | KZ23 | 0.37 | ≤ 1 | 364) | Posouzení stability - ohyb a tlak podle 6.3.3, metoda 2 |
| 20 | Průřez č. 3 - RO 101.6x3.2 EN 10210-2:2006 | | | | | |
| | 0.000 | KZ93 | 0.18 | ≤ 1 | 102) | Posouzení průřezu - tlak podle 6.2.4 |
| | 2.532 | KZ41 | 0.05 | ≤ 1 | 111) | Posouzení průřezu - ohyb okolo y podle 6.2.5 - třída 1 nebo 2 |
| | 0.000 | KZ41 | 0.00 | ≤ 1 | 121) | Posouzení průřezu - smyk ve směru z podle 6.2.6 |
| | 2.532 | KZ41 | 0.05 | ≤ 1 | 141) | Posouzení průřezu - ohyb a smyk podle 6.2.5 a 6.2.8 |
| | 2.532 | KZ23 | 0.10 | ≤ 1 | 181) | Posouzení průřezu - ohyb, smyk a osová síla podle 6.2.9.1 |
| | 0.000 | KZ140 | 0.04 | ≤ 1 | 301) | Posouzení stability - vzpěr okolo y podle 6.3.1.1 a 6.3.1.2(4) |
| | 0.000 | KZ93 | 0.51 | ≤ 1 | 302) | Posouzení stability - vzpěr okolo y podle 6.3.1.1 a 6.3.1.2 |
| | 0.000 | KZ140 | 0.04 | ≤ 1 | 311) | Posouzení stability - vzpěr okolo z podle 6.3.1.1 a 6.3.1.2(4) |
| | 0.000 | KZ93 | 0.51 | ≤ 1 | 312) | Posouzení stability - vzpěr okolo z podle 6.3.1.1 a 6.3.1.2 |
| | 2.532 | KZ23 | 0.56 | ≤ 1 | 364) | Posouzení stability - ohyb a tlak podle 6.3.3, metoda 2 |
| 23 | Průřez č. 17 - RO 114.3x4.0 EN 10210-2:2006 | | | | | |
| | 0.000 | KZ23 | 0.03 | ≤ 1 | 101) | Posouzení průřezu - tah podle 6.2.3 |
| | 0.000 | KZ43 | 0.10 | ≤ 1 | 102) | Posouzení průřezu - tlak podle 6.2.4 |
| | 2.133 | KZ14 | 0.06 | ≤ 1 | 111) | Posouzení průřezu - ohyb okolo y podle 6.2.5 - třída 1 nebo 2 |
| | 0.000 | KZ23 | 0.00 | ≤ 1 | 121) | Posouzení průřezu - smyk ve směru z podle 6.2.6 |
| | 2.133 | KZ14 | 0.06 | ≤ 1 | 141) | Posouzení průřezu - ohyb a smyk podle 6.2.5 a 6.2.8 |
| | 2.133 | KZ43 | 0.08 | ≤ 1 | 181) | Posouzení průřezu - ohyb, smyk a osová síla podle 6.2.9.1 |
| | 0.000 | KZ126 | 0.04 | ≤ 1 | 301) | Posouzení stability - vzpěr okolo y podle 6.3.1.1 a 6.3.1.2(4) |
| | 0.000 | KZ43 | 0.36 | ≤ 1 | 302) | Posouzení stability - vzpěr okolo y podle 6.3.1.1 a 6.3.1.2 |
| | 0.000 | KZ126 | 0.04 | ≤ 1 | 311) | Posouzení stability - vzpěr okolo z podle 6.3.1.1 a 6.3.1.2(4) |
| | 0.000 | KZ43 | 0.36 | ≤ 1 | 312) | Posouzení stability - vzpěr okolo z podle 6.3.1.1 a 6.3.1.2 |
| | 2.133 | KZ43 | 0.43 | ≤ 1 | 364) | Posouzení stability - ohyb a tlak podle 6.3.3, metoda 2 |
| 28 | Průřez č. 3 - RO 101.6x3.2 EN 10210-2:2006 | | | | | |
| | 0.000 | KZ99 | 0.02 | ≤ 1 | 101) | Posouzení průřezu - tah podle 6.2.3 |
| | 0.000 | KZ40 | 0.08 | ≤ 1 | 102) | Posouzení průřezu - tlak podle 6.2.4 |
| | 2.133 | KZ7 | 0.07 | ≤ 1 | 111) | Posouzení průřezu - ohyb okolo y podle 6.2.5 - třída 1 nebo 2 |
| | 0.000 | KZ20 | 0.00 | ≤ 1 | 121) | Posouzení průřezu - smyk ve směru z podle 6.2.6 |
| | 2.133 | KZ7 | 0.07 | ≤ 1 | 141) | Posouzení průřezu - ohyb a smyk podle 6.2.5 a 6.2.8 |
| | 2.133 | KZ40 | 0.08 | ≤ 1 | 181) | Posouzení průřezu - ohyb, smyk a osová síla podle 6.2.9.1 |
| | 0.000 | KZ93 | 0.04 | ≤ 1 | 301) | Posouzení stability - vzpěr okolo y podle 6.3.1.1 a 6.3.1.2(4) |
| | 0.000 | KZ40 | 0.33 | ≤ 1 | 302) | Posouzení stability - vzpěr okolo y podle 6.3.1.1 a 6.3.1.2 |
| | 0.000 | KZ93 | 0.04 | ≤ 1 | 311) | Posouzení stability - vzpěr okolo z podle 6.3.1.1 a 6.3.1.2(4) |
| | 0.000 | KZ40 | 0.33 | ≤ 1 | 312) | Posouzení stability - vzpěr okolo z podle 6.3.1.1 a 6.3.1.2 |
| | 2.133 | KZ40 | 0.41 | ≤ 1 | 364) | Posouzení stability - ohyb a tlak podle 6.3.3, metoda 2 |
| 29 | Průřez č. 3 - RO 101.6x3.2 EN 10210-2:2006 | | | | | |
| | 6.400 | KZ90 | 0.01 | ≤ 1 | 101) | Posouzení průřezu - tah podle 6.2.3 |
| | 0.000 | KZ95 | 0.04 | ≤ 1 | 102) | Posouzení průřezu - tlak podle 6.2.4 |
| | 2.133 | KZ10 | 0.07 | ≤ 1 | 111) | Posouzení průřezu - ohyb okolo y podle 6.2.5 - třída 1 nebo 2 |
| | 0.000 | KZ21 | 0.00 | ≤ 1 | 121) | Posouzení průřezu - smyk ve směru z podle 6.2.6 |
| | 2.133 | KZ10 | 0.07 | ≤ 1 | 141) | Posouzení průřezu - ohyb a smyk podle 6.2.5 a 6.2.8 |
| | 2.133 | KZ25 | 0.07 | ≤ 1 | 181) | Posouzení průřezu - ohyb, smyk a osová síla podle 6.2.9.1 |
| | 0.000 | KZ115 | 0.04 | ≤ 1 | 301) | Posouzení stability - vzpěr okolo y podle 6.3.1.1 a 6.3.1.2(4) |
| | 0.000 | KZ95 | 0.17 | ≤ 1 | 302) | Posouzení stability - vzpěr okolo y podle 6.3.1.1 a 6.3.1.2 |
| | 0.000 | KZ115 | 0.04 | ≤ 1 | 311) | Posouzení stability - vzpěr okolo z podle 6.3.1.1 a 6.3.1.2(4) |
| | 0.000 | KZ95 | 0.17 | ≤ 1 | 312) | Posouzení stability - vzpěr okolo z podle 6.3.1.1 a 6.3.1.2 |
| | 2.133 | KZ25 | 0.24 | ≤ 1 | 364) | Posouzení stability - ohyb a tlak podle 6.3.3, metoda 2 |
| 30 | Průřez č. 3 - RO 101.6x3.2 EN 10210-2:2006 | | | | | |
| | 0.000 | KZ38 | 0.03 | ≤ 1 | 101) | Posouzení průřezu - tah podle 6.2.3 |
| | 0.000 | KZ95 | 0.07 | ≤ 1 | 102) | Posouzení průřezu - tlak podle 6.2.4 |
| | 2.133 | KZ4 | 0.07 | ≤ 1 | 111) | Posouzení průřezu - ohyb okolo y podle 6.2.5 - třída 1 nebo 2 |
| | 0.000 | KZ38 | 0.00 | ≤ 1 | 121) | Posouzení průřezu - smyk ve směru z podle 6.2.6 |
| | 2.133 | KZ4 | 0.07 | ≤ 1 | 141) | Posouzení průřezu - ohyb a smyk podle 6.2.5 a 6.2.8 |
| | 2.133 | KZ25 | 0.08 | ≤ 1 | 181) | Posouzení průřezu - ohyb, smyk a osová síla podle 6.2.9.1 |
| | 0.000 | KZ45 | 0.04 | ≤ 1 | 301) | Posouzení stability - vzpěr okolo y podle 6.3.1.1 a 6.3.1.2(4) |
| | 0.000 | KZ95 | 0.31 | ≤ 1 | 302) | Posouzení stability - vzpěr okolo y podle 6.3.1.1 a 6.3.1.2 |
| | 0.000 | KZ45 | 0.04 | ≤ 1 | 311) | Posouzení stability - vzpěr okolo z podle 6.3.1.1 a 6.3.1.2(4) |
| | 0.000 | KZ95 | 0.31 | ≤ 1 | 312) | Posouzení stability - vzpěr okolo z podle 6.3.1.1 a 6.3.1.2 |
| | 2.133 | KZ25 | 0.38 | ≤ 1 | 364) | Posouzení stability - ohyb a tlak podle 6.3.3, metoda 2 |
| 31 | Průřez č. 3 - RO 101.6x3.2 EN 10210-2:2006 | | | | | |
| | 6.400 | KZ40 | 0.08 | ≤ 1 | 102) | Posouzení průřezu - tlak podle 6.2.4 |



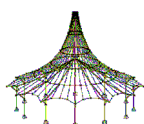
Projekt:

Model: AMZ Group 17-05-51

Datum: 25.05.2018

2.4 POSOUZENÍ PO PRUTECH

| Prut č. | Místo x [m] | ZS/KZ/ KV | Návrh | | Podle vzorce | |
|------------|---|--------------|-------|-----|-----------------|--|
| | 0.000 | KZ1 | 0.00 | ≤ 1 | 121) | Posouzení průřezu - smyk ve směru z podle 6.2.6 |
| | 2.133 | KZ40 | 0.08 | ≤ 1 | 181) | Posouzení průřezu - ohyb, smyk a osová síla podle 6.2.9.1 |
| | 6.400 | KZ57 | 0.04 | ≤ 1 | 301) | Posouzení stability - vzpěr okolo y podle 6.3.1.1 a 6.3.1.2(4) |
| | 6.400 | KZ40 | 0.34 | ≤ 1 | 302) | Posouzení stability - vzpěr okolo y podle 6.3.1.1 a 6.3.1.2 |
| | 6.400 | KZ57 | 0.04 | ≤ 1 | 311) | Posouzení stability - vzpěr okolo z podle 6.3.1.1 a 6.3.1.2(4) |
| | 6.400 | KZ40 | 0.34 | ≤ 1 | 312) | Posouzení stability - vzpěr okolo z podle 6.3.1.1 a 6.3.1.2 |
| | 2.133 | KZ40 | 0.42 | ≤ 1 | 364) | Posouzení stability - ohyb a tlak podle 6.3.3, metoda 2 |
| 33 | Průřez č. 3 - RO 101.6x3.2 EN 10210-2:2006 | | | | | |
| | 0.000 | KZ93 | 0.03 | ≤ 1 | 102) | Posouzení průřezu - tlak podle 6.2.4 |
| | 0.000 | KZ14 | 0.00 | ≤ 1 | 121) | Posouzení průřezu - smyk ve směru z podle 6.2.6 |
| | 2.133 | KZ23 | 0.07 | ≤ 1 | 181) | Posouzení průřezu - ohyb, smyk a osová síla podle 6.2.9.1 |
| | 0.000 | KZ117 | 0.04 | ≤ 1 | 301) | Posouzení stability - vzpěr okolo y podle 6.3.1.1 a 6.3.1.2(4) |
| | 0.000 | KZ93 | 0.15 | ≤ 1 | 302) | Posouzení stability - vzpěr okolo y podle 6.3.1.1 a 6.3.1.2 |
| | 0.000 | KZ117 | 0.04 | ≤ 1 | 311) | Posouzení stability - vzpěr okolo z podle 6.3.1.1 a 6.3.1.2(4) |
| 34 | 0.000 | KZ93 | 0.15 | ≤ 1 | 312) | Posouzení stability - vzpěr okolo z podle 6.3.1.1 a 6.3.1.2 |
| | 2.133 | KZ23 | 0.21 | ≤ 1 | 364) | Posouzení stability - ohyb a tlak podle 6.3.3, metoda 2 |
| | Průřez č. 3 - RO 101.6x3.2 EN 10210-2:2006 | | | | | |
| | 0.000 | KZ42 | 0.04 | ≤ 1 | 102) | Posouzení průřezu - tlak podle 6.2.4 |
| | 2.133 | KZ8 | 0.07 | ≤ 1 | 111) | Posouzení průřezu - ohyb okolo y podle 6.2.5 - třída 1 nebo 2 |
| | 0.000 | KZ8 | 0.00 | ≤ 1 | 121) | Posouzení průřezu - smyk ve směru z podle 6.2.6 |
| | 2.133 | KZ8 | 0.07 | ≤ 1 | 141) | Posouzení průřezu - ohyb a smyk podle 6.2.5 a 6.2.8 |
| 36 | 2.133 | KZ42 | 0.07 | ≤ 1 | 181) | Posouzení průřezu - ohyb, smyk a osová síla podle 6.2.9.1 |
| | 0.000 | KZ101 | 0.04 | ≤ 1 | 301) | Posouzení stability - vzpěr okolo y podle 6.3.1.1 a 6.3.1.2(4) |
| | 0.000 | KZ42 | 0.17 | ≤ 1 | 302) | Posouzení stability - vzpěr okolo y podle 6.3.1.1 a 6.3.1.2 |
| | 0.000 | KZ101 | 0.04 | ≤ 1 | 311) | Posouzení stability - vzpěr okolo z podle 6.3.1.1 a 6.3.1.2(4) |
| | 0.000 | KZ42 | 0.17 | ≤ 1 | 312) | Posouzení stability - vzpěr okolo z podle 6.3.1.1 a 6.3.1.2 |
| | 2.133 | KZ42 | 0.24 | ≤ 1 | 364) | Posouzení stability - ohyb a tlak podle 6.3.3, metoda 2 |
| | Průřez č. 16 - RD 24 Feron - EN 10060 | | | | | |
| 37 | 0.000 | KZ1 | 0.00 | ≤ 1 | 100) | Zanedbatelné vnitřní síly |
| | 7.628 | KZ95 | 0.40 | ≤ 1 | 101) | Posouzení průřezu - tah podle 6.2.3 |
| 38 | Průřez č. 16 - RD 24 Feron - EN 10060 | | | | | |
| | 0.000 | KZ16 | 0.00 | ≤ 1 | 100) | Zanedbatelné vnitřní síly |
| 39 | 7.628 | KZ43 | 0.42 | ≤ 1 | 101) | Posouzení průřezu - tah podle 6.2.3 |
| | Průřez č. 16 - RD 24 Feron - EN 10060 | | | | | |
| 40 | 0.000 | KZ39 | 0.00 | ≤ 1 | 100) | Zanedbatelné vnitřní síly |
| | 7.628 | KZ95 | 0.29 | ≤ 1 | 101) | Posouzení průřezu - tah podle 6.2.3 |
| 41 | Průřez č. 16 - RD 24 Feron - EN 10060 | | | | | |
| | 0.000 | KZ23 | 0.00 | ≤ 1 | 100) | Zanedbatelné vnitřní síly |
| 42 | 7.628 | KZ42 | 0.29 | ≤ 1 | 101) | Posouzení průřezu - tah podle 6.2.3 |
| | Průřez č. 4 - RD 20 Feron - EN 10060 | | | | | |
| 43 | 6.890 | KZ42 | 0.00 | ≤ 1 | 100) | Zanedbatelné vnitřní síly |
| | 0.000 | KZ95 | 0.32 | ≤ 1 | 101) | Posouzení průřezu - tah podle 6.2.3 |
| 44 | Průřez č. 4 - RD 20 Feron - EN 10060 | | | | | |
| | 6.889 | KZ25 | 0.00 | ≤ 1 | 100) | Zanedbatelné vnitřní síly |
| 45 | 0.000 | KZ42 | 0.30 | ≤ 1 | 101) | Posouzení průřezu - tah podle 6.2.3 |
| | Průřez č. 4 - RD 20 Feron - EN 10060 | | | | | |
| 46 | 0.000 | KZ127 | 0.00 | ≤ 1 | 100) | Zanedbatelné vnitřní síly |
| | 0.000 | KZ93 | 0.14 | ≤ 1 | 101) | Posouzení průřezu - tah podle 6.2.3 |
| 47 | Průřez č. 4 - RD 20 Feron - EN 10060 | | | | | |
| | 6.890 | KZ25 | 0.00 | ≤ 1 | 100) | Zanedbatelné vnitřní síly |
| 48 | 0.000 | KZ42 | 0.31 | ≤ 1 | 101) | Posouzení průřezu - tah podle 6.2.3 |
| | Průřez č. 4 - RD 20 Feron - EN 10060 | | | | | |
| 49 | 0.000 | KZ31 | 0.00 | ≤ 1 | 100) | Zanedbatelné vnitřní síly |
| | 0.000 | KZ95 | 0.31 | ≤ 1 | 101) | Posouzení průřezu - tah podle 6.2.3 |
| 50 | Průřez č. 4 - RD 20 Feron - EN 10060 | | | | | |
| | 6.891 | KZ49 | 0.00 | ≤ 1 | 100) | Zanedbatelné vnitřní síly |
| 51 | 0.000 | KZ42 | 0.17 | ≤ 1 | 101) | Posouzení průřezu - tah podle 6.2.3 |
| | Průřez č. 4 - RD 20 Feron - EN 10060 | | | | | |
| 52 | 6.889 | KZ137 | 0.00 | ≤ 1 | 100) | Zanedbatelné vnitřní síly |
| | 0.000 | KZ95 | 0.06 | ≤ 1 | 101) | Posouzení průřezu - tah podle 6.2.3 |
| 53 | Průřez č. 4 - RD 20 Feron - EN 10060 | | | | | |
| | 6.890 | KZ136 | 0.00 | ≤ 1 | 100) | Zanedbatelné vnitřní síly |
| 54 | 0.000 | KZ36 | 0.19 | ≤ 1 | 101) | Posouzení průřezu - tah podle 6.2.3 |
| | Průřez č. 4 - RD 20 Feron - EN 10060 | | | | | |
| 55 | 0.000 | KZ75 | 0.00 | ≤ 1 | 100) | Zanedbatelné vnitřní síly |
| | 0.000 | KZ93 | 0.20 | ≤ 1 | 101) | Posouzení průřezu - tah podle 6.2.3 |
| 56 | Průřez č. 4 - RD 20 Feron - EN 10060 | | | | | |
| | 6.890 | KZ69 | 0.00 | ≤ 1 | 100) | Zanedbatelné vnitřní síly |
| 57 | 6.890 | KZ40 | 0.12 | ≤ 1 | 101) | Posouzení průřezu - tah podle 6.2.3 |
| | Průřez č. 4 - RD 20 Feron - EN 10060 | | | | | |
| 58 | 0.000 | KZ6 | 0.00 | ≤ 1 | 100) | Zanedbatelné vnitřní síly |
| | 0.000 | KZ97 | 0.15 | ≤ 1 | 101) | Posouzení průřezu - tah podle 6.2.3 |
| 59 | Průřez č. 4 - RD 20 Feron - EN 10060 | | | | | |
| | | | | | | |



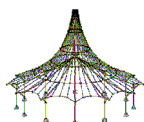
Projekt:

Model: AMZ Group 17-05-51

Datum: 25.05.2018

2.4 POSOUZENÍ PO PRUTECH

| Prut č. | Místo x [m] | ZS/KZ/ KV | Návrh | | Podle vzorce | |
|---|----------------|--------------|-------|----------|-----------------|--|
| | 0.000 | KZ76 | 0.00 | ≤ 1 | 100) | Zanedbatelné vnitřní síly |
| | 0.000 | KZ40 | 0.18 | ≤ 1 | 101) | Posouzení průřezu - tah podle 6.2.3 |
| Průřez č. 4 - RD 20 Feron - EN 10060 | | | | | | |
| 52 | 0.000 | KZ56 | 0.00 | ≤ 1 | 100) | Zanedbatelné vnitřní síly |
| | 0.000 | KZ97 | 0.26 | ≤ 1 | 101) | Posouzení průřezu - tah podle 6.2.3 |
| Průřez č. 4 - RD 20 Feron - EN 10060 | | | | | | |
| 53 | 6.889 | KZ48 | 0.00 | ≤ 1 | 100) | Zanedbatelné vnitřní síly |
| | 6.889 | KZ40 | 0.34 | ≤ 1 | 101) | Posouzení průřezu - tah podle 6.2.3 |
| Průřez č. 4 - RD 20 Feron - EN 10060 | | | | | | |
| 54 | 0.000 | KZ82 | 0.00 | ≤ 1 | 100) | Zanedbatelné vnitřní síly |
| | 0.000 | KZ97 | 0.26 | ≤ 1 | 101) | Posouzení průřezu - tah podle 6.2.3 |
| Průřez č. 4 - RD 20 Feron - EN 10060 | | | | | | |
| 55 | 0.000 | KZ75 | 0.00 | ≤ 1 | 100) | Zanedbatelné vnitřní síly |
| | 0.000 | KZ40 | 0.33 | ≤ 1 | 101) | Posouzení průřezu - tah podle 6.2.3 |
| Průřez č. 3 - RO 101.6x3.2 EN 10210-2:2006 | | | | | | |
| 57 | 0.000 | KZ91 | 0.05 | ≤ 1 | 101) | Posouzení průřezu - tah podle 6.2.3 |
| | 0.000 | KZ40 | 0.11 | ≤ 1 | 102) | Posouzení průřezu - tlak podle 6.2.4 |
| | 0.000 | KZ21 | 0.00 | ≤ 1 | 121) | Posouzení průřezu - smyk ve směru z podle 6.2.6 |
| | 2.133 | KZ40 | 0.09 | ≤ 1 | 181) | Posouzení průřezu - ohyb, smyk a osová síla podle 6.2.9.1 |
| | 0.000 | KZ72 | 0.04 | ≤ 1 | 301) | Posouzení stability - vzpěr okolo y podle 6.3.1.1 a 6.3.1.2(4) |
| | 0.000 | KZ40 | 0.49 | ≤ 1 | 302) | Posouzení stability - vzpěr okolo y podle 6.3.1.1 a 6.3.1.2 |
| | 0.000 | KZ72 | 0.04 | ≤ 1 | 311) | Posouzení stability - vzpěr okolo z podle 6.3.1.1 a 6.3.1.2(4) |
| | 0.000 | KZ40 | 0.49 | ≤ 1 | 312) | Posouzení stability - vzpěr okolo z podle 6.3.1.1 a 6.3.1.2 |
| | 2.133 | KZ40 | 0.58 | ≤ 1 | 364) | Posouzení stability - ohyb a tlak podle 6.3.3, metoda 2 |
| | | | | | | |
| Průřez č. 3 - RO 101.6x3.2 EN 10210-2:2006 | | | | | | |
| 76 | 0.000 | KZ91 | 0.04 | ≤ 1 | 101) | Posouzení průřezu - tah podle 6.2.3 |
| | 0.000 | KZ40 | 0.12 | ≤ 1 | 102) | Posouzení průřezu - tlak podle 6.2.4 |
| | 0.000 | KZ20 | 0.00 | ≤ 1 | 121) | Posouzení průřezu - smyk ve směru z podle 6.2.6 |
| | 2.133 | KZ40 | 0.09 | ≤ 1 | 181) | Posouzení průřezu - ohyb, smyk a osová síla podle 6.2.9.1 |
| | 0.000 | KZ72 | 0.04 | ≤ 1 | 301) | Posouzení stability - vzpěr okolo y podle 6.3.1.1 a 6.3.1.2(4) |
| | 0.000 | KZ40 | 0.50 | ≤ 1 | 302) | Posouzení stability - vzpěr okolo y podle 6.3.1.1 a 6.3.1.2 |
| | 0.000 | KZ72 | 0.04 | ≤ 1 | 311) | Posouzení stability - vzpěr okolo z podle 6.3.1.1 a 6.3.1.2(4) |
| | 0.000 | KZ40 | 0.50 | ≤ 1 | 312) | Posouzení stability - vzpěr okolo z podle 6.3.1.1 a 6.3.1.2 |
| | 2.133 | KZ40 | 0.58 | ≤ 1 | 364) | Posouzení stability - ohyb a tlak podle 6.3.3, metoda 2 |
| | | | | | | |
| Průřez č. 16 - RD 24 Feron - EN 10060 | | | | | | |
| 87 | 6.162 | KZ35 | 0.00 | ≤ 1 | 100) | Zanedbatelné vnitřní síly |
| | 0.000 | KZ93 | 0.48 | ≤ 1 | 101) | Posouzení průřezu - tah podle 6.2.3 |
| Průřez č. 16 - RD 24 Feron - EN 10060 | | | | | | |
| 88 | 0.000 | KZ41 | 0.00 | ≤ 1 | 100) | Zanedbatelné vnitřní síly |
| | 6.162 | KZ36 | 0.36 | ≤ 1 | 101) | Posouzení průřezu - tah podle 6.2.3 |
| Průřez č. 16 - RD 24 Feron - EN 10060 | | | | | | |
| 89 | 0.000 | KZ35 | 0.00 | ≤ 1 | 100) | Zanedbatelné vnitřní síly |
| | 6.162 | KZ93 | 0.48 | ≤ 1 | 101) | Posouzení průřezu - tah podle 6.2.3 |
| Průřez č. 4 - RD 20 Feron - EN 10060 | | | | | | |
| 90 | 7.512 | KZ35 | 0.00 | ≤ 1 | 100) | Zanedbatelné vnitřní síly |
| | 0.000 | KZ18 | 0.22 | ≤ 1 | 101) | Posouzení průřezu - tah podle 6.2.3 |
| Průřez č. 4 - RD 20 Feron - EN 10060 | | | | | | |
| 91 | 7.512 | KZ13 | 0.00 | ≤ 1 | 100) | Zanedbatelné vnitřní síly |
| | 0.000 | KZ39 | 0.27 | ≤ 1 | 101) | Posouzení průřezu - tah podle 6.2.3 |
| Průřez č. 4 - RD 20 Feron - EN 10060 | | | | | | |
| 92 | 0.000 | KZ1 | 0.00 | ≤ 1 | 100) | Zanedbatelné vnitřní síly |
| | 7.512 | KZ90 | 0.16 | ≤ 1 | 101) | Posouzení průřezu - tah podle 6.2.3 |
| Průřez č. 4 - RD 20 Feron - EN 10060 | | | | | | |
| 93 | 7.179 | KZ76 | 0.00 | ≤ 1 | 100) | Zanedbatelné vnitřní síly |
| | 7.179 | KZ93 | 0.21 | ≤ 1 | 101) | Posouzení průřezu - tah podle 6.2.3 |
| Průřez č. 16 - RD 24 Feron - EN 10060 | | | | | | |
| 94 | 0.000 | KZ41 | 0.00 | ≤ 1 | 100) | Zanedbatelné vnitřní síly |
| | 6.547 | KZ36 | 0.38 | ≤ 1 | 101) | Posouzení průřezu - tah podle 6.2.3 |
| Průřez č. 11 - ICU IPE 450 + IPE 550-60 Feron - DIN 1025-5:1994 + Feron - DIN 1025-5:1994 ... 12 - ICU IPE 450 + IPE 550-500 Feron - DIN 1025-5:1994 + Feron - DIN 1025-5:1994 | | | | | | |
| 96 | 0.150 | KZ93 | 0.01 | ≤ 1 | 101) | Posouzení průřezu - tah podle 6.2.3 |
| | 0.000 | KZ12 | 0.03 | ≤ 1 | 102) | Posouzení průřezu - tlak podle 6.2.4 |
| | 0.150 | KZ31 | 0.08 | ≤ 1 | 112) | Posouzení průřezu - ohyb okolo y podle 6.2.5 - třída 3 |
| | 0.000 | KZ12 | 0.10 | ≤ 1 | 122) | Posouzení průřezu - smyk ve směru z podle 6.2.6(4) - třída 3 nebo 4 |
| | 4.200 | KZ38 | 0.01 | ≤ 1 | 124) | Posouzení průřezu - posouvající síla ve směru y podle 6.2.6(4) - třída 3 nebo 4 |
| | 4.200 | KZ38 | 0.03 | ≤ 1 | 131) | Posouzení průřezu - kroucení podle 6.2.7 |
| | 4.200 | KZ14 | 0.06 | ≤ 1 | 133) | Posouzení průřezu - kroucení a smyk podle 6.2.7(5) |
| | 4.200 | KZ38 | 0.03 | ≤ 1 | 138) | Posouzení průřezu - kroucení a smyk podle 6.2.7(5) |
| | 0.150 | KZ31 | 0.08 | ≤ 1 | 143) | Posouzení průřezu - ohyb a smyk podle 6.2.9.2 a 6.2.10 - třída 3 - obecný průřez |
| | 4.300 | KZ95 | 0.03 | ≤ 1 | 148) | Posouzení průřezu - ohyb, smyk a kroucení podle 6.2.9.2 a 6.2.10 - třída 3 - obecný průřez |
| | 0.000 | KZ27 | 0.04 | ≤ 1 | 163) | Posouzení průřezu - dvousosý ohyb a smyk podle 6.2.9.2 a 6.2.10 - třída 3 - obecný průřez |



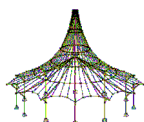
Projekt:

Model: AMZ Group 17-05-51

Datum: 25.05.2018

2.4 POSOUZENÍ PO PRUTECH

| Prut č. | Místo x [m] | ZS/KZ/ KV | Návrh | | Podle vzorce | |
|------------|--|--------------|-------|-----|-----------------|--|
| | 4.200 | KZ21 | 0.02 | ≤ 1 | 168) | Posouzení průřezu - dvouosý ohyb, smyk a kroucení podle 6.2.9.2 a 6.2.10 - třída 3 - obecný průřez |
| | 0.150 | KZ12 | 0.46 | ≤ 1 | 183) | Posouzení průřezu - ohyb, smyk a osová síla podle 6.2.9.2 - třída 3 - obecný průřez |
| | 4.200 | KZ12 | 0.42 | ≤ 1 | 188) | Posouzení průřezu - ohyb, smyk, kroucení a osová síla podle 6.2.9.2 - třída 3 - obecný průřez |
| | 0.150 | KZ97 | 0.01 | ≤ 1 | 203) | Posouzení průřezu - ohyb okolo z, smyk a osová síla podle 6.2.9.2 - třída 3 - obecný průřez |
| | 0.150 | KZ19 | 0.39 | ≤ 1 | 223) | Posouzení průřezu - dvouosý ohyb, smyk a osová síla podle 6.2.10 a 6.2.9 - třída 3 - obecný průřez |
| | 4.200 | KZ14 | 0.38 | ≤ 1 | 228) | Posouzení průřezu - dvouosý ohyb, smyk, kroucení a osová síla podle 6.2.10 a 6.2.9 - třída 3 - obecný průřez |
| | 4.200 | KZ12 | 0.42 | ≤ 1 | 271) | Posouzení průřezu - normálové napětí a kroucení - elastické posouzení |
| | 0.150 | KZ12 | 0.91 | ≤ 1 | 371) | Posouzení stability - ohyb a tlak podle 6.3.4, obecná metoda |
| 98 | Průřez č. 9 - ICO IPE 400 + IPE 450-60 Feron - DIN 1025-5:1994 + Feron - DIN 1025-5:1994 ... 10 - ICO IPE 400 + IPE 450-400 Feron - DIN 1025-5:1994 + Feron - DIN 1025-5:1994 | | | | | |
| | 2.800 | KZ91 | 0.00 | ≤ 1 | 101) | Posouzení průřezu - tah podle 6.2.3 |
| | 0.000 | KZ16 | 0.04 | ≤ 1 | 102) | Posouzení průřezu - tlak podle 6.2.4 |
| | 0.000 | KZ91 | 0.08 | ≤ 1 | 112) | Posouzení průřezu - ohyb okolo y podle 6.2.5 - třída 3 |
| | 0.000 | KZ14 | 0.12 | ≤ 1 | 122) | Posouzení průřezu - smyk ve směru z podle 6.2.6(4) - třída 3 nebo 4 |
| | 0.000 | KZ93 | 0.01 | ≤ 1 | 131) | Posouzení průřezu - kroucení podle 6.2.7 |
| | 0.000 | KZ15 | 0.11 | ≤ 1 | 133) | Posouzení průřezu - kroucení a smyk podle 6.2.7(5) |
| | 0.000 | KZ91 | 0.08 | ≤ 1 | 143) | Posouzení průřezu - ohyb a smyk podle 6.2.9.2 a 6.2.10 - třída 3 - obecný průřez |
| | 2.800 | KZ23 | 0.06 | ≤ 1 | 148) | Posouzení průřezu - ohyb, smyk a kroucení podle 6.2.9.2 a 6.2.10 - třída 3 - obecný průřez |
| | 1.400 | KZ23 | 0.07 | ≤ 1 | 168) | Posouzení průřezu - dvouosý ohyb, smyk a kroucení podle 6.2.9.2 a 6.2.10 - třída 3 - obecný průřez |
| | 1.400 | KZ14 | 0.45 | ≤ 1 | 183) | Posouzení průřezu - ohyb, smyk a osová síla podle 6.2.9.2 - třída 3 - obecný průřez |
| | 1.400 | KZ15 | 0.39 | ≤ 1 | 188) | Posouzení průřezu - ohyb, smyk, kroucení a osová síla podle 6.2.9.2 - třída 3 - obecný průřez |
| | 0.000 | KZ16 | 0.43 | ≤ 1 | 223) | Posouzení průřezu - dvouosý ohyb, smyk a osová síla podle 6.2.10 a 6.2.9 - třída 3 - obecný průřez |
| | 0.000 | KZ59 | 0.38 | ≤ 1 | 228) | Posouzení průřezu - dvouosý ohyb, smyk, kroucení a osová síla podle 6.2.10 a 6.2.9 - třída 3 - obecný průřez |
| | 1.400 | KZ15 | 0.39 | ≤ 1 | 271) | Posouzení průřezu - normálové napětí a kroucení - elastické posouzení |
| | 1.400 | KZ14 | 0.79 | ≤ 1 | 371) | Posouzení stability - ohyb a tlak podle 6.3.4, obecná metoda |
| 100 | Průřez č. 15 - IPE 400 Feron - DIN 1025-5:1994 | | | | | |
| | 11.411 | KZ97 | 0.01 | ≤ 1 | 101) | Posouzení průřezu - tah podle 6.2.3 |
| | 0.000 | KZ14 | 0.03 | ≤ 1 | 102) | Posouzení průřezu - tlak podle 6.2.4 |
| | 0.036 | KZ14 | 0.03 | ≤ 1 | 103) | Posouzení průřezu - tlak podle 6.2.4 - třída 4 |
| | 6.839 | KZ111 | 0.14 | ≤ 1 | 111) | Posouzení průřezu - ohyb okolo y podle 6.2.5 - třída 1 nebo 2 |
| | 6.839 | KZ21 | 0.01 | ≤ 1 | 116) | Posouzení průřezu - ohyb okolo z podle 6.2.5 - třída 1 nebo 2 |
| | 11.411 | KZ12 | 0.11 | ≤ 1 | 121) | Posouzení průřezu - smyk ve směru z podle 6.2.6 |
| | 0.000 | KZ14 | 0.12 | ≤ 1 | 122) | Posouzení průřezu - smyk ve směru z podle 6.2.6(4) - třída 3 nebo 4 |
| | 0.000 | KZ1 | 0.00 | ≤ 1 | 126) | Posouzení průřezu - smykové boulení podle 6.2.6(6) |
| | 6.839 | KZ111 | 0.14 | ≤ 1 | 141) | Posouzení průřezu - ohyb a smyk podle 6.2.5 a 6.2.8 |
| | 6.839 | KZ21 | 0.01 | ≤ 1 | 151) | Posouzení průřezu - ohyb okolo z a smyk podle 6.2.5 a 6.2.8 |
| | 2.304 | KZ93 | 0.04 | ≤ 1 | 161) | Posouzení průřezu - dvouosý ohyb a smyk podle 6.2.6, 6.2.7 a 6.2.9 |
| | 5.704 | KZ18 | 0.45 | ≤ 1 | 181) | Posouzení průřezu - ohyb, smyk a osová síla podle 6.2.9.1 |
| | 0.036 | KZ3 | 0.07 | ≤ 1 | 182) | Posouzení průřezu - ohyb, smyk a osová síla podle 6.2.9.2 - třída 3 |
| | 9.107 | KZ95 | 0.01 | ≤ 1 | 201) | Posouzení průřezu - ohyb okolo z, smyk a osová síla podle 6.2.9.1 |
| | 11.411 | KZ30 | 0.04 | ≤ 1 | 211) | Posouzení průřezu - ohyb okolo z, smyk a osová síla podle 6.2.9.3 - třída 4 |
| | 4.571 | KZ12 | 0.22 | ≤ 1 | 221) | Posouzení průřezu - dvouosý ohyb, smyk a osová síla podle 6.2.10 a 6.2.9 |
| | 0.036 | KZ12 | 0.14 | ≤ 1 | 222) | Posouzení průřezu - dvouosý ohyb, smyk a osová síla podle 6.2.10 a 6.2.9 - třída 3 |
| | 0.036 | KZ14 | 0.05 | ≤ 1 | 231) | Posouzení průřezu - dvouosý ohyb, smyk a osová síla podle 6.2.10 a 6.2.9.3 - třída 4 |
| | 5.704 | KZ112 | 0.29 | ≤ 1 | 331) | Posouzení stability - klopení podle 6.3.2.1 a 6.3.2.3 - I průřez |
| | 11.411 | KZ132 | 0.33 | ≤ 1 | 363) | Posouzení stability - dvouosý ohyb podle 6.3.3, metoda 2 |
| | 0.000 | KZ12 | 0.62 | ≤ 1 | 364) | Posouzení stability - ohyb a tlak podle 6.3.3, metoda 2 |
| 102 | Průřez č. 8 - ICU IPE 400 + IPE 450-60 Feron - DIN 1025-5:1994 + Feron - DIN 1025-5:1994 ... 7 - ICU IPE 400 + IPE 450-400 Feron - DIN 1025-5:1994 + Feron - DIN 1025-5:1994 | | | | | |
| | 0.000 | KZ97 | 0.01 | ≤ 1 | 101) | Posouzení průřezu - tah podle 6.2.3 |
| | 0.000 | KZ14 | 0.02 | ≤ 1 | 102) | Posouzení průřezu - tlak podle 6.2.4 |
| | 0.000 | KZ120 | 0.01 | ≤ 1 | 103) | Posouzení průřezu - tlak podle 6.2.4 - třída 4 |
| | 4.502 | KZ34 | 0.26 | ≤ 1 | 112) | Posouzení průřezu - ohyb okolo y podle 6.2.5 - třída 3 |
| | 4.502 | KZ12 | 0.14 | ≤ 1 | 122) | Posouzení průřezu - smyk ve směru z podle 6.2.6(4) - třída 3 nebo 4 |
| | 0.000 | KZ93 | 0.01 | ≤ 1 | 131) | Posouzení průřezu - kroucení podle 6.2.7 |
| | 2.233 | KZ12 | 0.14 | ≤ 1 | 133) | Posouzení průřezu - kroucení a smyk podle 6.2.7(5) |
| | 4.502 | KZ34 | 0.26 | ≤ 1 | 143) | Posouzení průřezu - ohyb a smyk podle 6.2.9.2 a 6.2.10 - třída 3 - obecný průřez |
| | 4.502 | KZ34 | 0.26 | ≤ 1 | 148) | Posouzení průřezu - ohyb, smyk a kroucení podle 6.2.9.2 a 6.2.10 - třída 3 - obecný průřez |
| | 2.233 | KZ104 | 0.16 | ≤ 1 | 163) | Posouzení průřezu - dvouosý ohyb a smyk podle 6.2.9.2 a 6.2.10 - třída 3 - obecný průřez |
| | 2.233 | KZ104 | 0.16 | ≤ 1 | 168) | Posouzení průřezu - dvouosý ohyb, smyk a kroucení podle 6 |



Projekt:

Model: AMZ Group 17-05-51

Datum: 25.05.2018

2.4 POSOUZENÍ PO PRUTECH

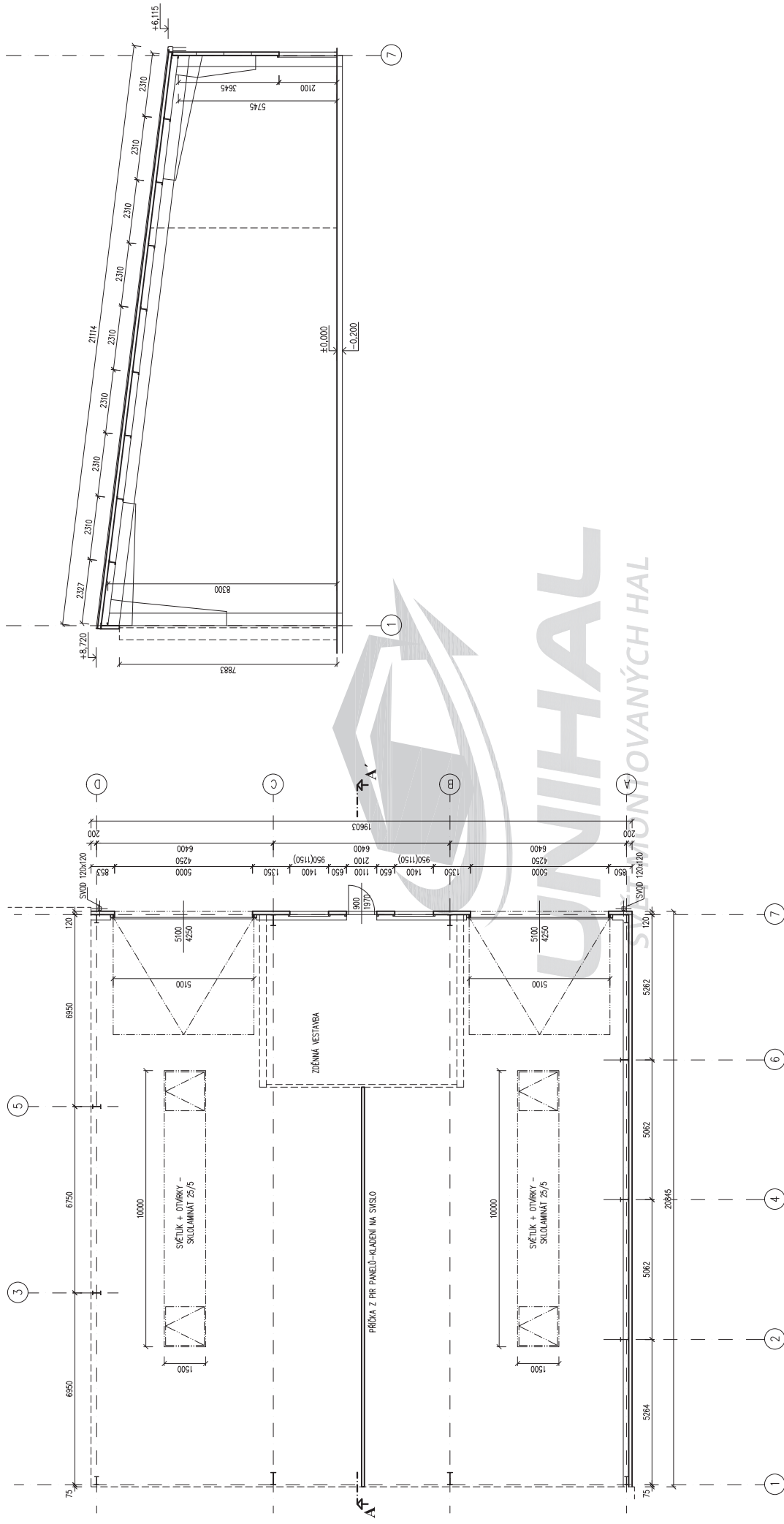
| Prut č. | Místo x [m] | ZS/KZ/ KV | Návrh | | Podle vzorce | |
|------------|--|--------------|-------|----------|-----------------|--|
| | 4.502 | KZ12 | 0.63 | ≤ 1 | 183) | 6.2.9.2 a 6.2.10 - třída 3 - obecný průřez Posouzení průřezu - ohyb, smyk a osová síla podle 6.2.9.2 - třída 3 - obecný průřez |
| | 4.502 | KZ18 | 0.59 | ≤ 1 | 188) | Posouzení průřezu - ohyb, smyk, kroucení a osová síla podle 6.2.9.2 - třída 3 - obecný průřez |
| | 0.000 | KZ120 | 0.02 | ≤ 1 | 211) | Posouzení průřezu - ohyb okolo z, smyk a osová síla podle 6.2.9.3 - třída 4 |
| | 0.000 | KZ120 | 0.02 | ≤ 1 | 216) | Posouzení průřezu - ohyb okolo z, smyk, kroucení a osová síla podle 6.2.9.3 - třída 4 |
| | 2.233 | KZ18 | 0.40 | ≤ 1 | 223) | Posouzení průřezu - dvousý ohyb, smyk a osová síla podle 6.2.10 a 6.2.9 - třída 3 - obecný průřez |
| | 2.233 | KZ18 | 0.40 | ≤ 1 | 228) | Posouzení průřezu - dvousý ohyb, smyk, kroucení a osová síla podle 6.2.10 a 6.2.9 - třída 3 - obecný průřez |
| | 4.502 | KZ18 | 0.59 | ≤ 1 | 271) | Posouzení průřezu - normálové napětí a kroucení - elastické posouzení |
| | 4.502 | KZ12 | 0.80 | ≤ 1 | 371) | Posouzení stability - ohyb a tlak podle 6.3.4, obecná metoda |
| 104 | Průřez č. 13 - QRO 100x3.6 DIN 59410:1974 | | | | | |
| | 3.837 | KZ40 | 0.00 | ≤ 1 | 101) | Posouzení průřezu - tah podle 6.2.3 |
| | 0.000 | KZ40 | 0.09 | ≤ 1 | 102) | Posouzení průřezu - tlak podle 6.2.4 |
| | 2.517 | KZ39 | 0.02 | ≤ 1 | 111) | Posouzení průřezu - ohyb okolo y podle 6.2.5 - třída 1 nebo 2 |
| | 3.750 | KZ71 | 0.00 | ≤ 1 | 116) | Posouzení průřezu - ohyb okolo z podle 6.2.5 - třída 1 nebo 2 |
| | 3.837 | KZ40 | 0.19 | ≤ 1 | 121) | Posouzení průřezu - smyk ve směru z podle 6.2.6 |
| | 0.000 | KZ1 | 0.00 | ≤ 1 | 126) | Posouzení průřezu - smykové boulení podle 6.2.6(6) |
| | 2.517 | KZ39 | 0.02 | ≤ 1 | 141) | Posouzení průřezu - ohyb a smyk podle 6.2.5 a 6.2.8 |
| | 3.750 | KZ71 | 0.00 | ≤ 1 | 151) | Posouzení průřezu - ohyb okolo z a smyk podle 6.2.5 a 6.2.8 |
| | 2.517 | KZ61 | 0.00 | ≤ 1 | 161) | Posouzení průřezu - dvousý ohyb a smyk podle 6.2.6, 6.2.7 a 6.2.9 |
| | 2.650 | KZ95 | 0.14 | ≤ 1 | 181) | Posouzení průřezu - ohyb, smyk a osová síla podle 6.2.9.1 |
| | 2.517 | KZ3 | 0.02 | ≤ 1 | 201) | Posouzení průřezu - ohyb okolo z, smyk a osová síla podle 6.2.9.1 |
| | 2.650 | KZ40 | 0.05 | ≤ 1 | 221) | Posouzení průřezu - dvousý ohyb, smyk a osová síla podle 6.2.10 a 6.2.9 |
| | 0.000 | KZ40 | 0.46 | ≤ 1 | 364) | Posouzení stability - ohyb a tlak podle 6.3.3, metoda 2 |
| 107 | Průřez č. 4 - RD 20 Feron - EN 10060 | | | | | |
| | 7.015 | KZ74 | 0.00 | ≤ 1 | 100) | Zanedbatelné vnitřní síly |
| | 7.015 | KZ97 | 0.37 | ≤ 1 | 101) | Posouzení průřezu - tah podle 6.2.3 |
| 108 | Průřez č. 4 - RD 20 Feron - EN 10060 | | | | | |
| | 7.015 | KZ29 | 0.00 | ≤ 1 | 100) | Zanedbatelné vnitřní síly |
| | 7.015 | KZ40 | 0.43 | ≤ 1 | 101) | Posouzení průřezu - tah podle 6.2.3 |
| 109 | Průřez č. 14 - RO 76.1x3.2 (tvar. za tepla) | | | | | |
| | 0.000 | KZ90 | 0.00 | ≤ 1 | 100) | Zanedbatelné vnitřní síly |
| | 0.000 | KZ40 | 0.13 | ≤ 1 | 101) | Posouzení průřezu - tah podle 6.2.3 |
| | 3.819 | KZ97 | 0.11 | ≤ 1 | 102) | Posouzení průřezu - tlak podle 6.2.4 |
| | 1.909 | KZ5 | 0.02 | ≤ 1 | 111) | Posouzení průřezu - ohyb okolo y podle 6.2.5 - třída 1 nebo 2 |
| | 1.909 | KZ5 | 0.02 | ≤ 1 | 141) | Posouzení průřezu - ohyb a smyk podle 6.2.5 a 6.2.8 |
| | 1.909 | KZ40 | 0.06 | ≤ 1 | 181) | Posouzení průřezu - ohyb, smyk a osová síla podle 6.2.9.1 |
| | 3.819 | KZ21 | 0.05 | ≤ 1 | 301) | Posouzení stability - vzpěr okolo y podle 6.3.1.1 a 6.3.1.2(4) |
| | 3.819 | KZ97 | 0.32 | ≤ 1 | 302) | Posouzení stability - vzpěr okolo y podle 6.3.1.1 a 6.3.1.2 |
| | 3.819 | KZ21 | 0.05 | ≤ 1 | 311) | Posouzení stability - vzpěr okolo z podle 6.3.1.1 a 6.3.1.2(4) |
| 110 | Průřez č. 14 - RO 76.1x3.2 (tvar. za tepla) | | | | | |
| | 3.849 | KZ20 | 0.00 | ≤ 1 | 100) | Zanedbatelné vnitřní síly |
| | 0.000 | KZ97 | 0.13 | ≤ 1 | 101) | Posouzení průřezu - tah podle 6.2.3 |
| | 3.849 | KZ40 | 0.14 | ≤ 1 | 102) | Posouzení průřezu - tlak podle 6.2.4 |
| | 1.924 | KZ20 | 0.02 | ≤ 1 | 111) | Posouzení průřezu - ohyb okolo y podle 6.2.5 - třída 1 nebo 2 |
| | 1.924 | KZ20 | 0.02 | ≤ 1 | 141) | Posouzení průřezu - ohyb a smyk podle 6.2.5 a 6.2.8 |
| | 1.924 | KZ40 | 0.06 | ≤ 1 | 181) | Posouzení průřezu - ohyb, smyk a osová síla podle 6.2.9.1 |
| | 0.000 | KZ45 | 0.05 | ≤ 1 | 301) | Posouzení stability - vzpěr okolo y podle 6.3.1.1 a 6.3.1.2(4) |
| | 3.849 | KZ40 | 0.43 | ≤ 1 | 302) | Posouzení stability - vzpěr okolo y podle 6.3.1.1 a 6.3.1.2 |
| | 0.000 | KZ45 | 0.05 | ≤ 1 | 311) | Posouzení stability - vzpěr okolo z podle 6.3.1.1 a 6.3.1.2(4) |
| | 3.849 | KZ40 | 0.43 | ≤ 1 | 312) | Posouzení stability - vzpěr okolo z podle 6.3.1.1 a 6.3.1.2 |
| | 1.924 | KZ40 | 0.45 | ≤ 1 | 364) | Posouzení stability - ohyb a tlak podle 6.3.3, metoda 2 |


PŮDORYS

M 1:100

ŘEZ A-A'

M 1:100



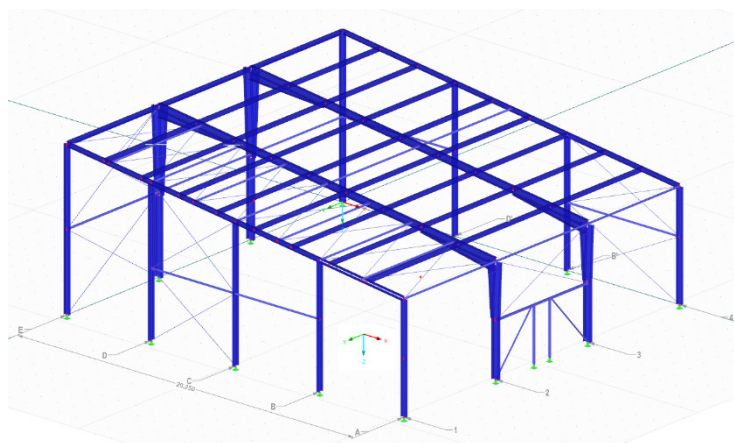
| | | | |
|---|--|--|--|
|  | | Kontroloval: Petr Ranocha mobil: +420 702 107 814 email: petr.ranocha@unihal.cz Zakázka č.: 17-05-51 | |
| Vypracoval: Jiří Veselý mobil: +420 702 107 804 (kl.6) email: jiri.vesely@unihal.cz Investor: AMZ Financial Group Přívozní 1054/2 Praha-Holešovice, 170 00 mobil: +420 602 231 269 email: jar.ales@seznam.cz | | Datum: 05/2018 Formát: 3x44 | |
| Místo stavby: Brandýs nad Labem | | Název výkresu: PŮDORYS, ŘEZ A-A | |
| Měřítko: 1:100 | | Výkres č.: D.1.1-01 | |



UNIHAL s. r. o
Třída T. Bati 1766
765 02 Otrokovice

AMZ Financial Group _ Brandýs nad Labem (17-05-51)

hala: 20,845 x 19,6 x 8,7



VYPRACOVAL: ING. JAKUB TRÁVNÍČEK

ZKONTROLOVAL: ING. PETR DVOŘÁK

V BRNĚ 25. 05. 2018